

VYSOKÁ ŠKOLA STROJNÍ A TEXTILNÍ V LIBERCI

Fakulta strojní

Katedra textilních a
oděvních strojů

Školní rok: 1992/93

ZADÁNÍ DIPLOMOVÉ PRÁCE

pro Ludovíta Lebo

obor Konstrukce strojů a zařízení

Vedoucí katedry Vám ve smyslu zákona č. 172/1990 Sb. o vysokých školách určuje tuto diplomovou práci:

Název tématu: Dynamika přítlačného mechanismu
šicího stroje

Zásady pro vypracování:

- 1) Uveďte používané typy přítlačných a podávacích mechanismů u průmyslových šicích strojů. Formulujte podmínky, které musí oba mechanismy splňovat pro zabezpečení správné funkce šicího stroje.
- 2) Určete dynamické poměry na přítlačném mechanismu plochého průmyslového šicího stroje jednojehlového - typ MINERVA 72112-101.
- 3) Na základě provedeného rozboru navrhněte opatření příp. konstrukční úpravy stávajícího provedení pro výkon stroje $5500 \text{ stehů} \cdot \text{min}^{-1}$.
- 4) Nakreslete sestavní výkres přítlačného mechanismu s navrhovanými úpravami sledovaného typu šicího stroje.

VYSOKÁ ŠKOLA STROJNÍ A TEXTILNÍ
Ústřední knihovna
LIBEREC 1, STUDENTSKÁ 8
PSČ 461 17

V 114 / 93

KTS/TS

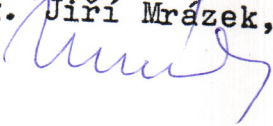
Rozsah grafických prací: - sestavní výkres přítlač. mechanismu
Rozsah průvodní zprávy: - 2 detailní výkresy
Seznam odborné literatury: - grafické průběhy kinemat. a dynam.
45 stran veličin

- 1/ MRÁZEK, J.: Dynamika rámů textilních strojů. In:
Sborník vědeckých prací MTI Moskva. Moskva 1988.
- 2/ KAREL, P.: Zoubkový podavač šicího stroje. /Diplomová práce/.
Liberec, VŠST 1992.
- 3/ Výkresová dokumentace stroje MINERVA 72112-101

Vedoucí diplomové práce: Doc.Ing. Jiří Mrázek, CSc.
Konzultant: Doc.Ing. František Egrt, CSc.

Zadání diplomové práce: 31. 10. 1992
Termín odevzdání diplomové práce: 28. 05. 1993



Vedoucí katedry
Doc.Ing. Jiří Mrázek, CSc.  Děkan
Prof.Ing. Jaroslav Exner, CSc. 

V Liberci dne 29. 10. 1992

VYSOKÁ ŠKOLA STROJNÁ A TEXTILNÁ V LIBERCI

FAKULTA STROJNÁ

OBOR 23-~~17~~-8

stroje a zariadenia pre chemický, potravinársky
a spotrebny priemysel

ZAMERANIE - textilné a odevné stroje

KATEDRA TEXTILNÝCH A ODEVNÝCH STROJOV

Názov diplomovej práce: "Dynamika prítlačného mechanizmu
šijacieho stroja"

Meno a priezvisko autora: **Ludovít LEBÓ**

Vedeúci diplomovej práce: Doc. Ing. Jiří MRÁZEK CSc.

Konzultant : Doc. Ing. František EGRT CSc.

UNIVERZITNÍ KNIHOVNA
TECHNICKÉ UNIVERZITY V LIBERCI

Rozsah práce:

Počet stran:..... 50

Počet tabuľiek:..... 8

Počet príloh:..... 4

Počet výkresov:..... 2

Počet obrázkov:..... 10

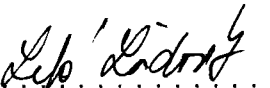


3146075618

MIESTOPRÍSAŽNÉ PREHLÁSENIE

Miestoprisažne prehlasujem, že diplomovú prácu na téma "Dynamika pritlačného mechanizmu šijacieho stroja" som vypracoval samostatne s použitím uvedenej literatúry.

V Liberci dňa 28.5.1993

podpis: 

POĎAKOVANIE

Ďakujem touto cestou vedúčemu diplomovej práce Doc. Ing. Jiřímu MRÁZKOVI CSc a Doc. Ing. Františkovi EGERTOVI za podnetné rady, prípomienky a pomoc pri vypracovaní diplomovej práce. Ďalej ďakujem Ing. Zdeňkovi Vitamvásovi za podnetné rady a za pomoc pri meraní. Ďakujem zamestnancom a.s. MINERVA Boskovice Pánu Uzlovi a Pánu Ing. Klaclovi za podnetné rady a za ochotu.

OBSAH

1.	Úvod	1
2.	Členenie šijacích strojov	2
2.1.	Model šijacieho stroja	3
3.	Mechanizmus na podávanie materiálu	7
3.1.	Funkcia mechanizmu na podávanie materiálu	7
3.2.	Členenie podávacích mechanizmov	8
3.3.	Charakteristika najpoužívanejších druhov podávacích mechanizmov	9
3.4.	Mechanizmus regulácie dĺžky stehu a spätného šitia	12
4.	Pritlačné mechanizmy	13
4.1.	Funkcia pritlačného mechanizmu	13
4.2.	Členenie pritlačných mechanizmov	14
5.	Vzájomné pôsobenie pritlačného a podávacieho mechanizmu	15
5.1.	Vzájomné pôsobenie pritlačného a podávacieho mechanizmu u šijacieho stroja MINERVA 72112-101	16
6.	Priemyselný šijaci stroj MINERVA typ 72112-101	18
6.1.	Technické údaje	18
6.3.	Technický popis	19
7.	Kinematická analýza pohybu podávacieho mechanizmu šijacieho stroja MINERVA 72112 - 101	19
7.1	Popis programu AROM	20
7.2	Kinematický rozbor pohybu podávača	24
8.	Meranie na šijacom stroji MINERVA 72112 -101	35
8.1.	Popis merania zrychlenia podávacieho mechanizmu šijacieho stroja MINERVA 72112-101	35
8.2.	Vyhodnotenie Merania zrychlenia podávacieho mechanizmu a porovnanie s vypočítanými hodnotami ...	37

8.3. Meranie zdvihu pätky na šijacom stroji MINERVA 72112-101.....	39
8.4. Vyhodnotenie merania zdvihu pätky na šijacom stroji MINERVA 72112-101	40
9. Dynamická analýza pritlačného mechanizmu šijacieho stroja MINERVA 72112-101	42
9.1. Porovnanie pritlačnej sily pružiny s dynamickou silou systému	46
10. Záver	47
Zoznam použitej literatúry	49
Zoznam príloh	50

1. ÚVOD

V rámci spolupráce Katedry textilných a oděvných strojov na VŠST v Liberci a a.s. MINERVA Boskovice bolo navrhnuté zadanie diplomovej práce. Problematika sa týka dynamickej a kinematickej analýze prítlačného a podávacieho mechanizmu šijacieho stroja MINERVA 72112-101. Vypočítané hodnoty mám porovnať s nameranými hodnotami, ktoré získam meraním priamo na šijacom stroji MINERVA 72112-101.

Šijacie stroje sa skladajú z týchto hlavných funkčných mechanizmov:

1. mechanizmus pohybu ihly
2. mechanizmus podávania šijacieho materiálu
3. mechanizmus zachytenia smyčky
4. mechanizmus prítlaku
5. mechanizmus pre posuv šitého materiálu
6. mechanizmy včetne prevodov
7. kostra stroja
8. regulačné zariadenie.

Mechanizmy ad.1., až ad.7., sú už tak dokonalé, že firmy vyrábajúce šijacie stroje sa vývojom týchto mechanizmov sa zaoberejú len okrajovo, ale čas od času sa na svetových výstavách objavujú firmy, ktoré navrhnujú nejaké nové riešenie, ale ten základný princíp zostáva rovnaký.

Moja diplomová práca je zameraná na prítlačný mechanizmus a podávací mechanizmus priemyselného šijacieho stroja MINERVA 72112-101.

2. Členenie šijacích strojov

Konštrukcia šijacieho stroja je podmienená účelom jeho použitia. V priebehu 20. storočia vzniklo veľké množstvo šijacích strojov s rozmanitými konštrukčnými odchýlkami. Pre prehľadnosť a zlepšenie orientácie sa zaviedlo členenie strojov podľa základných hľadišť :

- všeobecného,
- technického,
- využitia.

Všeobecné členenie podľa:

- účelu použitia : pre domácnosť, remeselnú a priemyselnú výrobu,
- povahy práce : ľahké, stredné, tiažké,
- druhu vykonávanej operácie : napr. zošívacie, obnítkovacie, dierkovacie, gombíkovacie a pod.,
- odvetvia výroby : bielizňové, na vrchné odevy, na obuv, na pleteniny, atď.

Technické členenie podľa :

- druhu tvoreného stehu sa stroje zaraďujú do 7 tried. Každá trieda prestavuje samostatnú skupinu stehov s možnosťou zaradiť 99 stehov. Toto členenie používajú všetci výrobcovia strojov:

- vonkajších rozlišovacích znakov :

tvar hlavy :

- plochý - 100, 300, 400 / trieda stehov /,
- s vyvýšenou základovou doskou - 300, 400,
- ramanové - 300,
- skriňové - 500, 800,
- špeciálneho tvaru - 100, 400, 600, 700.

uloženie hlavy na podstavci

- bočné,
- čelné,

- ostatných funkčných a konštrukčných hľadísk :

počet ihiel : jednoihlové, dvojihlové a viacihlové,

uloženie ihiel : vertikálne, horizontálne, šikmé,

tvar ihly : rovný, háčikový, rádiusový,

počet niti: jedna, dve a viac,

spôsob podávania materiálu : spodné, vrchné, ihlové, diferenciálne a pod.

Členenie podľa využitia :

- podľa výkonu :

pomalobežné do 2500,

rýchlobežné do 5000,

vysokootáčkové nad 5000.

2.1. Model šijacieho stroja

V konfekčných dielňach nachádzame veľké množstvo rôznych typov šijacích strojov. Pre lepšiu orientáciu boli spoločné prvky a funkčné zariadenie šijacích strojov zobecnené a vznikol tzv. *model šijacieho stroja*.

Hlavné časti šijacieho stroja

Každý šijaci stroj sa skladá z funkčných zariadení, ktoré zabezpečujú jeho funkciu. Vzájomná časová väzba jednotlivých zariadení umožňuje vlastný šijaci proces.

Hlavnými časťami modelu šijacieho stroja sú :

- mechanizmus pohybu ihly,
- mechanizmus podávania šijacieho materiálu,
- mechanizmus záchytenia slučky,
- mechanizmus posuvu šitého materiálu,
- mechanizmus pritlaku,
- mechanizmus prevodu,
- telo šijacieho stroja,
- mazanie šijacieho stroja,
- podstavec šijacieho stroja,
- elektrické prístrojovstvo,
- prídavné zariadenia.

Mechanizmus pohybu ihly v spolupráci s prítlačným a podávacím mechanizmom zaistí prácu s nitou, zaručí vytváranie slučiek a ich pretahovanie materiálom žiadaným spôsobom. Mechanizmy zabezpečujúce pohyb ihly sa líšia a môžu ihlou pohybovať po priamke, po dráhe oblúkovej alebo priestorovej. Pohyb ihly je synchronizovaný s pohybom stehotvorného mechanizmu chapača alebo slučkovača. Synchronizácia pohybu týchto mechanizmov je zistená spolu s pohybom prítlačných a podávacích mechanizmov, prevodmi a rôznymi poháracími mechanizmami.

Mechanizmus podávania šijacieho materiálu. Úlohou týchto mechanizmov je priviesť šijaciu nit k miestu jej spracovania a zaistiť správne a bezchybné vytváranie stehov.

Patria sem :

- nitové mechanizmy - tvorené ihlovou tyčou v spojení s nastaviteľnými vodičmi nite alebo nitovými pákami v spojení s nastaviteľnými vodičmi, neokrúhlymi kotúčami v spojení s staviteľnými vodičmi alebo sústavou pák.
- vodiče nite - napr. plechové (ploché, kolíkové), drátené atď.
- brzdy - napínače rôzného typu.

Mechanizmus zachytenia slúčky - základná funkcia je tvorenie stehov a ich kladenie do riadku k vykonaniu technologickej operácie - k vytvoreniu švu. Sú rôznej konštrukcie, lišia sa podľa druhu vytváraného stehu a podľa povahy práce, na ktorú má byť stehotvorný mechanizmus použitý.

Mechanizmus posuvu šitého materiálu - po vytvorení každého stehu je nutné posunúť šité dielo v smere šitia o určitú dĺžku - dĺžku stehu, aby sa mohol opakovať cyklus vytvorenia ďalšieho stehu. Toto posunutie šitého diela zabezpečujú podávacie mechanizmy.

Mechanizmy prítlaku slúžia k pridržaniu šitého materiálu na ~~pracovnú~~ dosku šijacieho stroja a pomáhajú podávacím mechanizmom zabezpečiť posun šitého materiálu pri vytváraní stehov.

Mechanizmus prevodu a pohonu - šijaci stroj je zostavený z mnohých mechanizmov, ktoré musia byť vzájomne funkčne viazané, aby ako celok mohol správne pracovať. K tomuto funkčnému spojeniu slúžia poháňacie mechanizmy a prevody. Okrem toho slúžia aj k prenosu pohybu a točivého momentu z pohonnej jednotky na hlavný hriadeľ šijacieho stroja.

Zlatav šicílo mi je → nutno užitočne urobiť
Teleso šijacieho stroja je tá časť stroja, v ktorej sú umiestené jeho jednotlivé mechanizmy. Základné časti telesa šijacieho stroja sú:

- rameno,
- základová doska./

Tvar a konštrukčné prevedenia sú rôzne podľa typu šijacieho stroja. Konštrukčné materiály pre výrobu telesa šijacieho stroja sú väčšinou liatiny, ľahké zliatiny a plastické

hmoty, popri pade kombinacia tychto materiálov.

Mazanie šijacieho stroja. Systém mazania slúži k zaisteniu trvalej a bezporuchovej prevádzky šijacieho stroja. Je nutné zabezpečiť mazanie hlavne tretej plochy kíbov, čapov, hriadeľov a ložisiek. Rozlišujeme tieto druhy mazania:

- miestne mazanie,
- skupinové mazanie,
- rozprášovacie mazanie.

(Uhlásené mazanie je formou, u ktorej sa využívajú obnubľiaci smerky)

Podstavec šijacieho stroja. Šijaci stroj včetne príavných a pomocných zariadení a mechanizmov sa montuje na podstavec, ktorý umožňuje jeho pracovné využitie. Podstavec zaistuje stabilitu šijacieho stroja a zabráňuje nežiadajúcemu kmitaniu.

Podstavec sa skladá zo :

- stojanu,
- pracovnej dosky,
- pohonu včetne inštalácie,
- základného príslušenstva.

Elektrické príslušenstvo. Sem patrí elektromotor, osvetlenie šijacieho stroja a elektroinštalácia.

Príavné zariadenia uľahčujú šicke prácu a zvyšujú akosť šitia. Príavné zariadenia rozdeľujeme do dvoch základných skupín:

- základné príavné zariadenia : bezprostredne súvisia s niektorým pracovným zariadením šijacieho stroja. Podľa účelu môžu byť:
 - ovládacie,
 - funkčné,
 - spojovacie,

- kontrolné.
- pomocné príavné zariadenia : sú to tzv. príavné aparáty. Ich funkcia nie je závislá na pohybe alebo funkcii zariadenia šijacieho stroja. K pomocným príavným zariadeniam patria:
 - vodiče šitého materiálu,
 - prítlačné špeciálne pätky pre vytváranie skladov materiálu,
 - zariadenia k vytváraniu skladov šitého materiálu a našívanie prvkov,
 - zariadenia na spojovanie niekoľkých úkonov a operácií,
 - ostatné príavné zariadenia.

3. Mechanizmus na podávanie materiálu

3.1. Funkcia mechanizmu na podávanie materiálu

Tento mechanizmus slúži na posun materiálu počas šitia. Spravidla posúva materiál o rovnakú vzdialenosť, ktorá zodpovedá dĺžke stehu. Dĺžka stehu sa číselne vyjadruje v mm, alebo je to veľkosť podania určená údajom o počte stehov na 1 cm, prípadne anglický palec (inch). Pri jednoduchších podávacích mechanizmoch môže byť dráha materiálu ovplyvnená aj pôsobením pracovníka a počas šitia sa môže zmeniť. Možnosť zmeny dĺžky dráhy je daná určitým rozsahom. Štieť dopredu a dozadu je dané zmenou zmyslu podávania. Tieto zmeny funkčne zabezpečuje mechanizmus regulácie dĺžky stehu a spätného šitia, ktorý je súčasťou mechanizmu podávania. Nachádza sa vnútri fremy hlavy, ovládacie prvky sú na povrchu.

stroje s uzavretým pracovným cyklom majú programovo riadené podávanie, bez možnosti zásahu do programu podávania počas šitia. Každý podávací mechanizmus sa skladá z dvoch funkčných častí obr č.: 3.1. :

- vlastný podavač,
- rozvod pohybu na podavač.

3.2. Členenie podávacích mechanizmov

Základné skupiny sa členia podľa pôsobenia podávacích častí mechanizmu na šitý materiál. V skupinách existuje veľa druhov a ich alternatív. Najčastejšie druhy podávania:

- spodné

- ponorné zúbkové,
- diferenciálne ponorné zúbkové,

-kruhové,

- vrchné

-prerušované - s prítlačnou nôžkou,

-prerušované - zúbkami,

-valcové,

- spodné a ihlové

-je to spodné podávanie rozšírené o ihlové podávanie,

- spodné a vrchné

-spodné ponorné a vrchné s prítlačnou nôžkou,

-spodné ponorné, vrchné s prítlačnou nôžkou a ihlové,

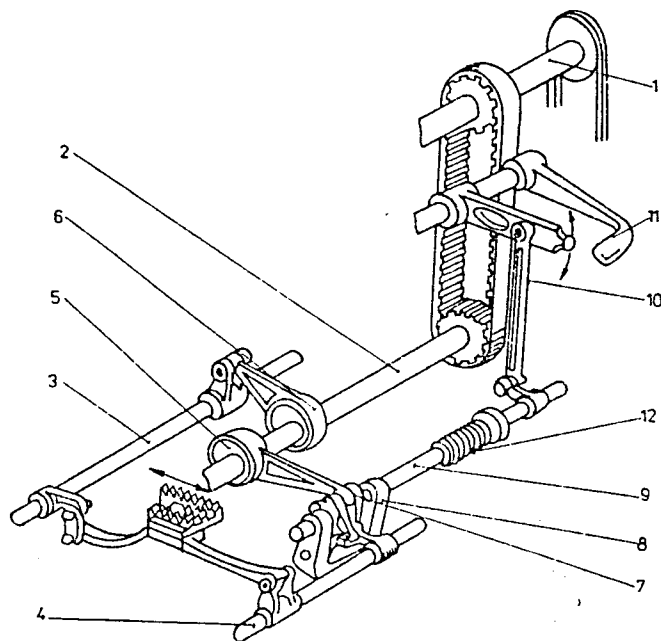
-spodné diferenciálne a vrchné s prítlačnou nôžkou,

-spodné diferenciálne, vrchné s prítlačnou nôžkou a ihlové,

- pomocné

-odťahovacie ozubené valce,

-gumové odťahovacie valce,



Obr. č.: 3.1

Podávací mechanizmus

1. hlavný hriadeľ
2. dolný hriadeľ
3. Pákový hriadeľ
4. podávací hriadeľ
6. výstredník na pozdĺženie dráhy podávača
7. regulačný systém
8. vidlica
9. regulačný hriadeľ
10. pákový prevod
11. ovládacia páka
12. pružina

- automatické programované riadené
 - vačkami,
 - šablónami,
 - programom - na magnetofónovej páske, na diernej páske, na diernom štítku, na čipe,
- špeciálne
 - tanierové,
 - s ihlovým kotúčom,
 - ručné.

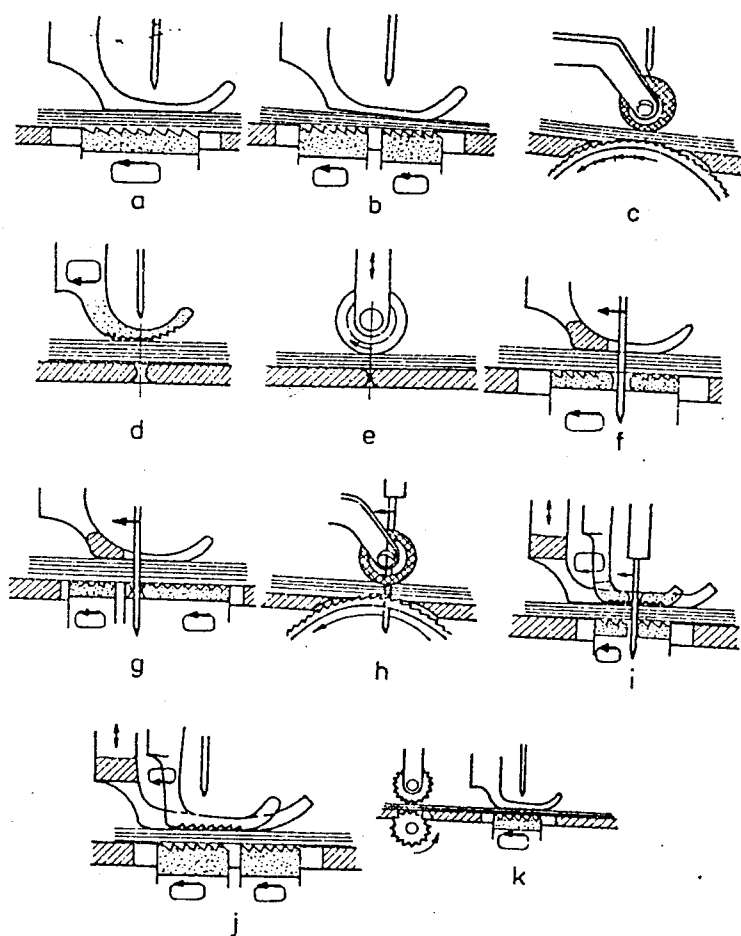
3.3. Charakteristika najpoužívanejších druhov podávacích mechanizmov

Spodné ponorné zúbkové podávanie je najpoužívanejším systémom. Materiál podávajú zúbky podávača, vystupujú nad stehovú dosku vtedy, keď ihla opustila šitý materiál. Podavač vykonáva vrchnú pozdĺžnu dráhu, ktorá sa musí ukončiť pred ďalším vpichom ihly. Ostatné dráhy vykonáva podavač pod stehovou doskou (obr.č.:3.2.a.).

Pozdĺžne dráhy 1 a 3 sú určované podávacím hriadeľom a podávacou pákou, dráhy 2 a 4 sú určované pákovým hriadeľom a zdvíhacou pákou.

Pozdĺžne dráhy s je 0.8 až 1.5 mm. Podávač môže mať rôzne jemné alebo hrubé zúbky rozličného tvaru a usporiadania. Rozvod pohybu na pákový a podávací hriadeľ je pre výkonnejšie stroje riešený z dolného hriadeľa, pre menej výkonné z horného hriadeľa.

Spodné diferenciálne ponorné zúbkové podávanie sa používa v strojoch na stehy triedy 400, 500, 600 a 800. Pracujú tu za sebou umiestené ponorné zúbkové podávače. Rozvod pohybu



Obr. č.: 3.2

Schémy najčastejších druhov podávaní

- a, ponorné zúbkové spodné
- b, diferenciálne ponorné zúbkové
- c, kruhové spodné
- d, prerušované vrchné s pritlačnou nožkou
- e, valcové vrchné
- f, ponorné zúbkové spodné ihlové
- g, diferenciálne ponorné zúbkové spodné a ihlové
- h, kruhové spodné a ihlové
- i, spodné ponorné vrchné s pritlačnou nožkou a ihlové
- j, spodné diferenciálne a vrchné s pritlačnou nožkou
- k, pomocné odtahovacie ozubené valce

na každý podavač je samostatne nastaviteľný. Pohyby obidvoch sú časovo zhodné, ale dĺžkovo posunuté. Nastavením dĺžok pohybu podavačov sa dá dosiahnuť vyžadované riešenie, natahovanie, alebo ~~skvalitnené~~^{účinné} podávanie materiálu. Riešenie tohto spôsobu podávania ukazuje (obr.č.:3.2.b.) .

Spodné valcové podávanie umožňuje viest šitý materiál v oblúkoch. Podavač valcového tvaru je po obvode ryhovaný. Vystupuje nad úroveň stehovej dosky o 0.7 až 0.8 mm. Prerušovaný pohyb je zosúladený s pohybom ihly, môže byť aj plynulý. Šitý materiál sa na kotúčový podavač pritláča odklopným pritláčacím kolieskom (obr.č.:3.2.c.) ~~jež je v užívani~~.

Vrchné podávanie s prerušovaným pohybom pritlačnej nožky sa používa najmä pri šití kože a pogumovaného textilu. Prítlačná nožka má na dosadacej ploche zúbky, vykonáva obdĺžníkovú dráhu, v momente keď dosadne na materiál, urobí výkyvný pohyb, čím nastáva posun materiálu v smere šitia. Počas ostatných dráh sa materiálu nedotýka (obr.č.:3.2.d.).

Vrchné podávanie s prerušovaným pohybom podávacích zúbkov sa používa najmä v tužiacich a zapošívacích strojoch. Princíp práce je zhodný s predchádzajúcim spôsobom podávania. Opísané pohyby vykonáva podavač opatrený zospodu zúbkami. Je pripojený na podávacej páke, na ktorú sú rozvedené pohyby.

Pri vrchnom valcovom podávaní materiál podáva kotúč umiestený nad materiálom. Pri dosadnutí na materiál sa vyvolá potrebný tlak. Kotúč sa odvaluje po povrchu materiálu, čím v prípade priaznivého trenia nastane jeho posun (obr.č.:3.2.e.).

Spodné ponorné zúbkové a ihlové podávanie sa používa pri materiáloch, ktoré by sa mohli po sebe vzájomne posúvať, pri

zošívaní nerovnakých vrstiev, pri častých prechodoch cez švy a podobne. Ihlová tyč je výkyvná a dovoľuje ihle súbežný pohyb so spodným zúbkovým podávačom. Prestavením dráhy spodného podávania sa mení aj výkyv ihlovej tyče. Otvor na prechod ihly je v podávači a prítlačnej ~~nôžke~~ (obr.č.:3.2.f.).

Ihlové podávanie môže byť kombinované aj so spodným diferenciálnym podávaním alebo spodným kruhovým podávaním (obr.č.:3.2.g.,h.).

Spodné ponorné a vrchné podávanie prítlačnou ~~nôžkou~~ sa používa pri spracúvaní textilu, kože, plastov, pogumovaného textilu. Spodný ponorný zúbkový podávač podáva materiál odspodu. Zvrchu materiál podáva podávacia prítlačná ~~nôžka~~, ktorá vykonáva obdĺžnikovú dráhu. Posun vrchnej vrstvy materiálu nastane, keď ~~nôžka~~ dosadne na materiál a vykývne sa v smere šitia. Pohyb podávacej prítlačnej ~~nôžky~~ je regulovateľný a rozvádzza sa nezávisle od pohybu spodného podávača. Časový interval podávania oboch podávačov je zhodný, rozdiel môže byť v dĺžke podania oboch materiálov. Tento spôsob podávania sa využíva na riasenie jedného materiálu oproti druhému. Stroj má aj základnú prítlačnú ~~nôžku~~, ktorá je väčšia, na dosadacej ploche hladká. V strede má otvor na umiestnenie podávacej prítlačnej ~~nôžky~~, ktorá je na dosadacej ploche zúbková.

Počas podávania podávacej prítlačnej ~~nôžky~~ je tlak bežnej prítlačnej ~~nôžky~~ uvolnený. Každá ~~nôžka~~ je uchytená na vlastnej tyči. Tyče dostávajú potrebné pohyby cez prevody (obr.č.:3.2.j.).

Vrchné podávanie prítlačnou ~~nôžkou~~ môže byť kombinované s diferenciálnym spodným podávaním, alebo sú spojené tri

druhy podávaní : spodné ponorné zúbkové s vrchným a ihlovým, prípadne spodné diferenciálne s vrchným ihlovým (obr.č.:3.2.j.,i.).

Pomocné podávanie dopĺňa základné podávanie a používa sa na strojoch, ktoré šijú materiál väčších rozmerov, ale sa na nich spracováva nerovnaký materiál (obr.č.:3.2.k.).

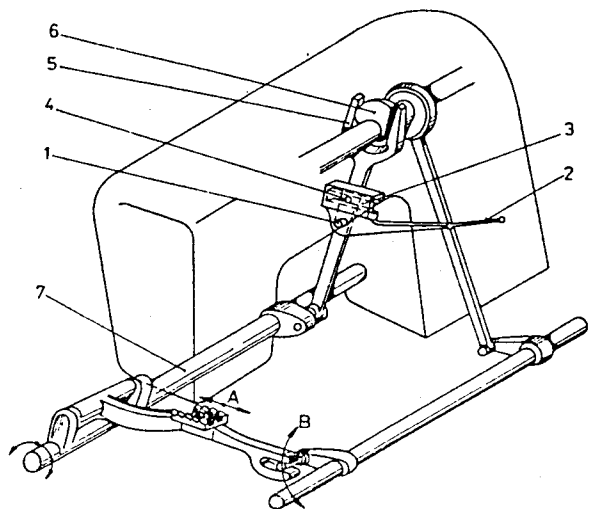
3.4. Mechanizmus regulácie dĺžky stehu a spätného šitia

Podľa požiadaviek na stroj môže byť, no nemusí byť riešená otázka spätného šitia. Ak sa nevyžaduje spätný pohyb podávača, je mechanizmus na reguláciu dĺžky podania jednoduchší. Ak má stroj aj spätné štie, ide o systém zložitejší. Obidve možnosti sú riešené v rôznych alternatívach. Na reguláciu dĺžky stehu slúžia rôzne ovládacie gombíky, na ovládanie spätného šitia sa používajú páky - obidve sú umiestnené na ~~hlave~~ stroja. Niektoré stroje majú ovládací prvok spoločný - spojený do jedného celku.

V prípade spodného ponorného zúbkového podávania ide o zmenu dlhých dráh alebo opačný chod nosiča zúbkov. Zmena je vyvolaná prestavením polohy ovládacieho prvku napojeného na podávací hriadeľ. Celé zariadenie, vrátane podávača má byť čo najtuhšie a s najmenšími vôľami, aby pri uvoľňovaní nenastalo predĺžovanie stehu./obr.č:3.3/

Podľa druhu použitého ovládacieho prvku na riadenie podávacieho hriadeľa rozlišujeme :

- riadenie pákami
- riadenie kulisou,
- riadenie nastaviteľným výstredníkom,
- riadenie šikmým valcom..



Obr. č. : 3.3.

Riadenie spätného chodu podávača kulisou

1. čap v telesse stroja
 2. ovládacia páka
 3. kulisa s drážkou
 4. kameň kulisy
 5. vidlica
 6. trojboká vačka
 7. podávací hriadeľ
- A, pozdĺžny pohyb
- B, priečny pohyb *v lepej smeri (zozdola)*

4. Prítlačné mechanizmy

4.1. Funkcia prítlačných mechanizmov

Tieto mechanizmy pridržiavajú šitý materiál pri tvorbe stehu. Pomáhajú podávaciemu mechanizmu pri zabezpečovaní jeho posunu po utvorení stehu. Pri konštrukcii prítlačných mechanizmov sa musí uvažovať s danou konštrukciou podávacieho mechanizmu. Celý mechanizmus slúži na ovládanie jeho poslednej časti elementu pôsobiaceho priamo na materiál. V tvaru tohto elementu sú značné rozdiely, zloženie ovládacieho mechanizmu je vo väčšine strojov jednotné. Podľa tvaru elementu sú mechanizmy pritlaku :

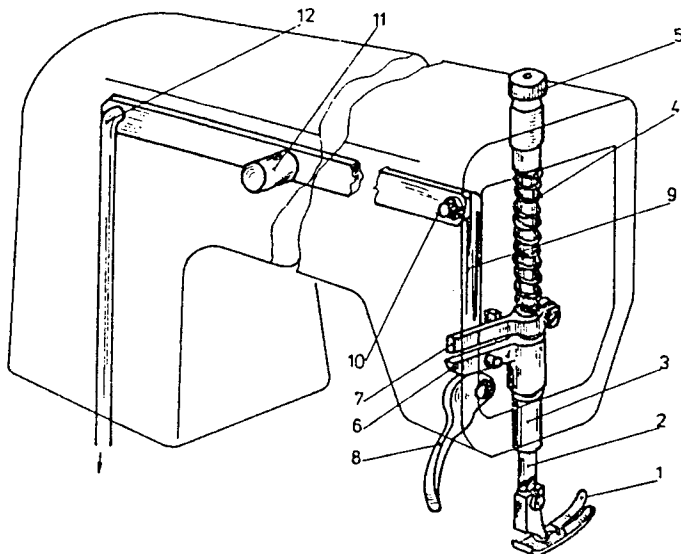
- s prítlačnou nožkou,
- s prítlačným kolieskom,
- špeciálne typy.

Prítlačný element je pripojený na tlakovú tyč. Tyč je uložená v jednom alebo vo dvoch klznych ložiskach, upevnených v prednej časti ramena (obr.č.:4.1.).

Vedenie zabezpečuje tyč proti otočeniu. Tlak na prítlačný element je vyvolaný skrutkovou pružinou. Veľkosť tlaku sa upravuje regulačnou skrutkou alebo maticou rozličného typu. Väčší tlak sa nastavuje pri spracovaní jemnejších materiálov. Pružina dosadá na oporu, ktorá je nasadená na tlakovej tyči napevno. Zdvihom opory sa dostáva tlaková tyč do hornej polohy a ruší sa tlak pružiny.

Zdvih opory je:

- ručný (stroje v domácnostiach),
- nožný (niektoré priemyselné stroje),
- zdvojeným ovládaním ručne aj nožne (väčšina priemyselných strojov).
(metóda tvorby spojov)



Obr. č.: 4.1. ✓

Prítlačný mechanizmus

1. prítlačná nožka
2. tlaková tyč
3. ložisko
4. pružina
5. nastavovacia skrutka
6. opora ✓
7. vedenie
8. zdvihacia páčka
9. tāhadlo
10. dvojranenná páka
11. otočný čap
12. tāhadlo ovládania

Na ručné zdvívania sa používa zdvíhacia páčka, umiestnená pod oporou. Môže byť dvojakého typu :

- páčka má tvar vačky a je predĺžená do ovládacieho ramena.
- páčka je prepojená cez kolík na výstredník, ktorý ovláda oporu.

Pri nožovom ovládaní sa opora zdvíha cez tahadlo a páku. Ovládacom prvkom je kolenná páka alebo nožný ovládač.

Pri zdvihu opory sa mechanicky uvedie do pohybu vypinaci kolík miskovej brzdy. Toto funkčné spojenie zdvihu prítlaku s vypnutím tlaku napínacích mišiek je nevyhnutné pri skladaní a vyberaní šitého materiálu, odtahovaní a odstrihovaní nití.

4.2. Členenie prítlačných mechanizmov

Prítlačné nôžky

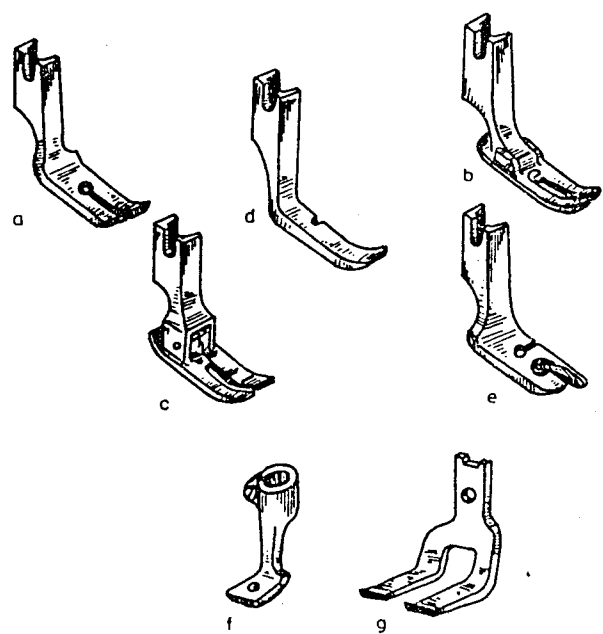
Sú najrozšírenejším prítlačným elementom. Okrem funkcie prítlaku môžu slúžiť na zvýšenie produktivity práce, ak sú riešené ako prídavné zariadenia./obr.č.:4.2.a,b,c,d,e,f,g/

Prítlačné nôžky sa delia podľa :

- druhu podávania,
- druhu stehu - viazaný, kľukato ložený, retiazkový, atď.
- počtu ihiel - 1, 2, , 12-ihlové,
- konštrukcie - pevné, výkyvné, kompenzačné, pevné
- polovičné, s kruhovou dosadaciou plochou, obrubovacie a pod.

Dosadacia plocha prítlačnej nôžky môže byť :

- hladká na bežné šitie a podávanie,
- zúbkovaná na vrchné podávanie prítlačnou nôžkou,



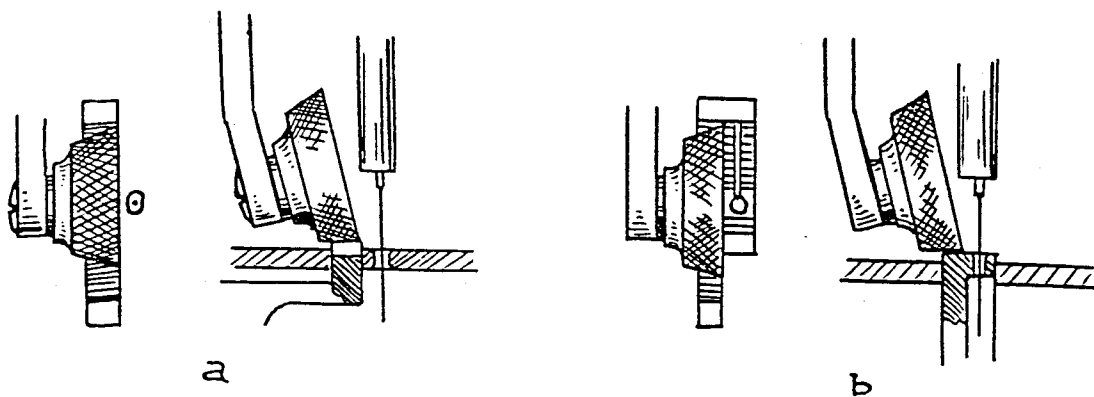
Obr. č.: 4.2.

Druhy prítlačných nožok

*Zučímel siv 16 možností prítlačného pátku
(zpravidla) a využívanou značí následující názvy:*

- a, pevná
- b, výkyvná
- c, kompenzačná
- d, pevná - polovičná

- e, obrubovacia
- f, podávacia
- g, prítlačná ✓



Obr. č.: 4.3.

Prítlačné kolieska

- potiahnutá teflónovou fóliou na šitie ľahšie spracovateľných materiálov,
- celá z teflónu na šitie ľahko spracovateľných materiálov.

Prítlačné kolieska

Nahrádzajú prítlačné nôžky v strojoch na spracovanie kože, koženky a pogumovaného textilu. Kolieska sú na tyči pripojené pomocou guľkových ložísk. Povrch koliesok je ryhovaný alebo vrúbkovaný./obr.č.:4.3.a,b,/

Špeciálne typy

Vyskytujú sa na všetkých poloautomatoch a jednoúčelových agregátoch. Prítlačný mechanizmus je konštruovaný podľa povahy vykonávanej operácie. Ide o prítlačný rámček alebo upínacie čeluste určitého tvaru, ktoré počas šitia vyvolávajú tlak na šitý materiál a súčasne sa s materiálom pohybujú po potrebnej dráhe. Dráha pohybu je ovládaná z programového kotúča, vačiek rôzneho tvaru, alebo je riadená elektronicky. Uvoľnenie prítlačnej časti je riešené v nadväznosti na ukončený pracovný cyklus a ovláda sa mechanicky alebo elektromagneticky./

5. Vzájomné pôsobenie prítlačného a podávacieho mechanizmu

Činnosť prítlačného mechanizmu šijacieho stroja je vždy v bezprostrednom vzťahu k podávaciemu mechanizmu a musí odpovedať požiadavkám šitia tak, aby šité dielo bolo správne podávané, aby mohli byť vytvorené stehy potrebných hodnôt.

U špeciálnych šijacích strojov sú vzájomné vztahy pritlačného a podávacieho mechanizmu zložité a jednotlivé funkcie sú väčšinou ovládané vačkami alebo elektromagnetmi.

Jednoduhšie vztahy sú u bežných šijacích strojov, u ktorých pritlačný mechanizmus obsahuje súčasti, držiace pritlačnú pätku alebo kolečko, a pružinu alebo ploché pero, ktoré vyvazujú tlak pritlačnej pätky (kolečka) na šitý materiál.

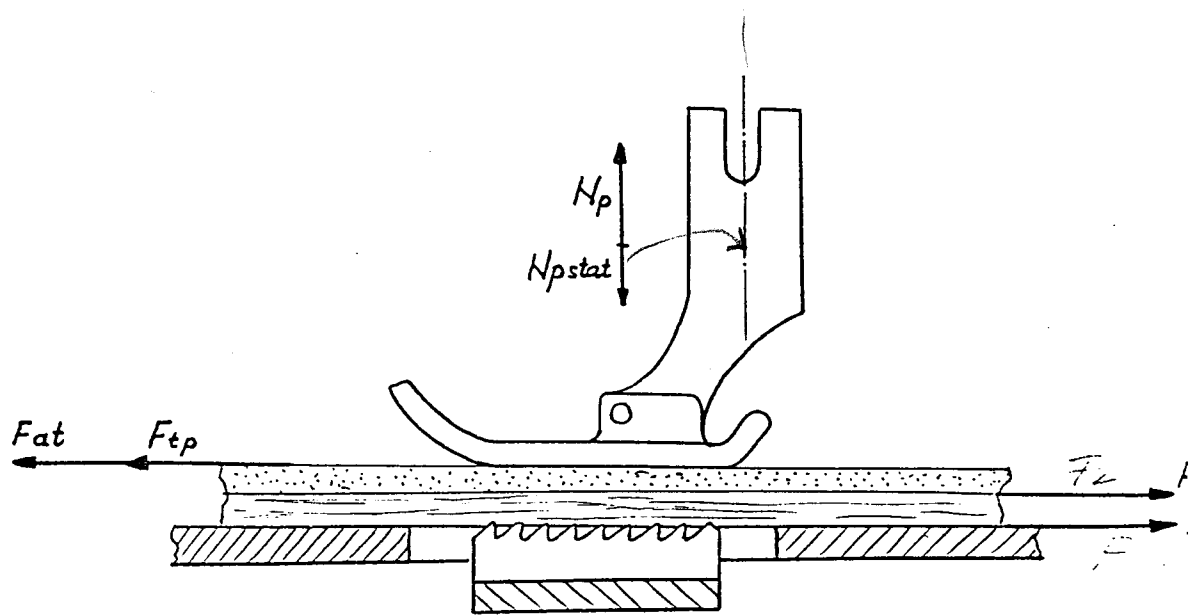
Na materiál, zovretý pritlačnou pätkou (kolečkom) a podávačom pôsobia sily, ktoré sú využité pre posúvanie šitého materiálu v žiadnom smere a zmysle. Zložitejšie vztahy sú u šijacích strojov s horným podávaním, kde pritlačné ústrojenstvo zaistuje súčasné podávanie šitého diela spolu s podávacím mechanizmom.

5.1. Vzájomné pôsobenie pritlačného a podávacieho mechanizmu u stroja MINERVA 72112.101

U šijacích strojov so spodným ponorným podávaním zaistuje posúvanie diela len zubkový podavač, na ktorý je materiál pritlačený pritlačnou pätkou. Vzájomné vztahy sú zložité.

Vzájomné pôsobenie podávača a pritlačnej pätky pri podávaní dvoch vrstiev rovnakého materiálu je znázornené na obr. č.: 5.1. ✓

Maximálna teoretická podávacia sila F bude určená pritlakom pätky N_p a koeficientom trenia šitého materiálu o zúbky podávača f_1 , $F = N_p \cdot f_1$. Tento vztah je zjednodušený pretože zúbky podávača sa do materiálu diela zaboria



Obr. č. : 5.1.

Vzájomné pôsobenie pätky a podávača u
šijacieho stroja MINERVA 72112-101

a vznikajú veľmi zložité vzťahy.

Sila, ktorou pätku pritlačuje šitý materiál na zúbky podávača je však premenná a závisí na kinematických charakteristikách podávača a na charakteristike prítlačnej pružiny. Tieto charakteristiky sa menia i pri zmene dĺžky podávania a skutočný prítlač pätky behom šitia nie je rovný statickému tlaku N_{pstat} .

Pre vrchnú vrstvu podávaného materiálu bude podávacia sila $F_2 = N_p * f_2$, kde f_2 je koeficient trenia medzi vrstvami materiálu. Keď porovnáme koeficienty trenia medzi materiálom a podávačom a medzi vrstvami materiálu, bude $f_1 > f_2$, preto bude $F_1 > F_2$.

Pri posunutí oboch vrstiev materiálu bude pôsobiť trenie materiálu o spodnú plochu pätky $F_{t,p} = N_p * f_3$, kde f_3 je koeficient trenia podávaného materiálu o pätku. Trenie $F_{t,p}$ bude mať obrátený zmysel ako je zmysel podávania materiálu.

Proti posunutiu materiálu bude ďalej pôsobiť zotrvačná sila materiálu $F_{at} = -m_t * a_x$, m_t je hmota časti šitého diela, ktorej je udelené zrychlenie podávača, a a_x je horizontálna zložka zrychlenia podávača. Zotrvačná sila mení znamienko. Keď má podavač kladné zrychlenie, pôsobí F_{at} proti podávaniu, a je brzdnou silou, keď podavač ukončuje podávanie, je spomaľovaný a zotrvačná sila F_{at} pôsobí v kladnom zmysle, t.j. vo zmysle podávania materiálu.

V niektorých prípadoch môže potom dôjsť k posunutiu podávacieho materiálu nezávislo na pohybu podávača a javiť sa ako predĺžovanie dĺžky stehu.

Z týchto úvah je vidieť, že dynamická analýza vzájomného pôsobenia pätky, podávača a podávaného materiálu dovoľuje

pochopit' mnohé príčiny nesprávneho podávania materiálu - nerovnomernosť podávania, predĺžovanie a skracovanie dĺžky stehu.

6. Priemyselný šijaci stroj MINERVA typ 72112 - 101

6.1. Použitie

Stroj sa používa v prádliarskom priemysle na zošívanie prádla. Pri použití vybavení sa dá na stroji obrubovať, zošívať diely s prehýbaním a prešívať.

6.2. Technické údaje

Výkon stroja (st/min)	do 5000 podľa druhu šitého materiálu, zpôsobu práce a dĺžky stehu.
Dĺžka stehu	do 4.5 mm obojsmerná
Druh ihly	135x1 č.80,90
Chapač	NTW 8493 S
Hrúbka šitého materiálu	do 4 mm
Šicí materiál	nite bavlnnené 68/3,100/3, 170/4
Zdvih pätky	5 mm ručne, 8 mm kolenou pákou
Pohon stroja	elektromotor 0.4 KW 380/220 V
Váha hlavy stoja	do 33 kg
Váha podstavca	57 kg

6.3. Technický popis

Stroj je konštruovaný ako rychlobežný priemyselný šijaci stroj plochý jednoihlový s vratným zúbkovým podávaním a horizontálnym rotačným chapačom. Pohon chapača je odvodený od dolného hriadeľa pomocou ozubených kolies s prevodom 2:1. Stroj šije dvojnitným viazaným stehom. Ponorný zubkový podavač podáva šitý materiál v oboch smeroch. Náhon od horného hriadeľa na dolný hriadeľ je riešený hnacím pásmom s prevodom 1:1. Dĺžka stehu je ~~zly nula~~ nastaviteľná, odvodená od výstredníku uloženého na dolnom hriadeľi. Ovláda sa otočným gombíkom na strojovom ramene. Ovládanie spätného stehu je ručnou pákou alebo, ľavým šliapadlom. Hlavné uzly namáhaných mechanizmov sú uložené na valivých ložiskách.

Mazanie stroja je centrálné - knotové s automatickým primazávaním chapača. Zvedanie prítlačnej pätky možno previesť ročnou pákou alebo kolennou pákou. Ovládanie spojky motoru sa rieší pravým šliapadlom na podstavci. K stroji možno namontovať návesné osvetlenie pracovného prostoru.

Horeuvedené údaje boli čerpané z Návodu na obsluhu, ktorú k šijaciemu stroju MINERVA 72112 - 101 vydala výrobca a.s. MINERVA Boskovice.

7. Kinematická analýza pohybu podávacieho mechanizmu šijacieho stroja MINERVA 72112 - 101

Podávací mechanizmus sa v podstate skladá z mechanizmu podávača a z mechanizmov udávajúcich podávači pohyb vo smere

vertikálnej, horizontálnej rovine vo smeru podávania šitého diela a zo zariadení pre reguláciu dĺžky pohybu podávača vo smeru šitia (regulácia dĺžky stehu) (príloha č.:1.).

Kinematická analýza vyšetruje závislosti zmeny dráhy, rýchlosťi a zrychlenia hnaného člena na polohe hnacieho člena. Tieto získané závislosti môžeme ďalej používať pri dynamickom rozbore.

Kinematické schema podávacieho mechanizmu znázorňuje obr.č.: 7.1. ✓

Riešenie bolo prevedené pre otáčky:

$$n_1 = 1000 \text{ ot/min}$$

$$n_2 = 2000 \text{ ot/min}$$

$$n_3 = 3000 \text{ ot/min}$$

$$n_4 = 4000 \text{ ot/min}$$

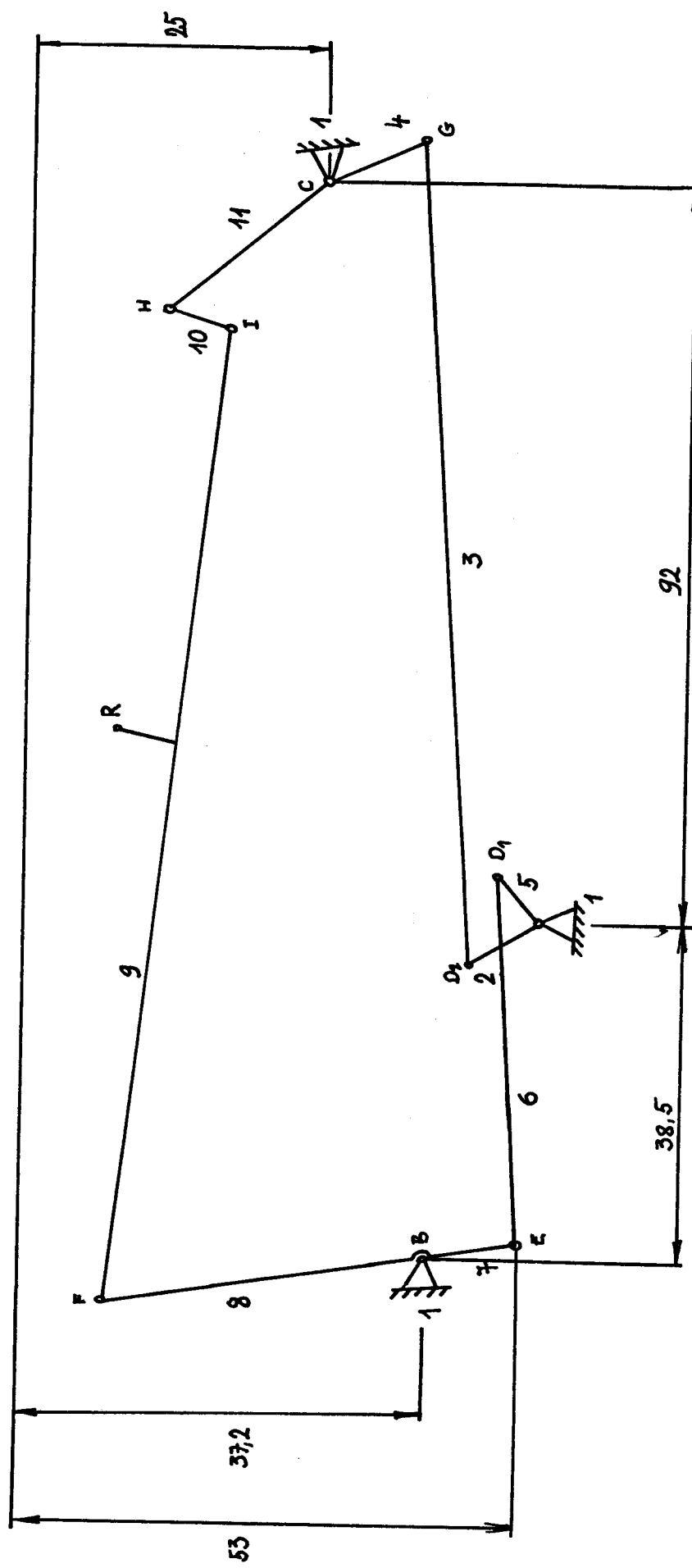
$$n_5 = 5000 \text{ ot/min}$$

a pri dĺžke stehu $l = 4.5 \text{ mm}$. Výpočty sú prevedené pre jednu otáčku t.j. 360° hnacieho člena. Vyšetrujeme kinematické veličiny bodu R na zube podávača.

Kinematická analýza bola prevedená na programe AROM na VŠST-KTS.

7.1. Popis programu AROM

Systém AROM umožňuje riešiť analýzu a syntézu rovinných kíbových a vačkových mechanizmov. Je určený predovšetkým pre analýzu mechanizmov výrobných strojov. Tieto mechanizmy sú poháňané od hlavného hriadeľa, ktorý sa otáča konštantnou rýchlosťou. Mechanizmus vykoná predpísaný technologický pohyb za jednu alebo viac otáčok hlavného hriadeľa.



Kinematické schéma podávacího mechanizmu říjacieho stroja MINERVA 72 112 - 101.

obr. 7.1

Mechanizmy iného typu je možné tiež systémom AROM analyzovať. V tomto prípade nemôžeme využiť niektoré automatické funkcie systému a užívateľ sám zodpovedá za správnosť výsledkov.

Do systému AROM bola doplnená možnosť kinetostatickej analýzy mechanizmov. Systém pre zadávanie hmotnosti členov, bodov, velikosti a priebehu vonkajších síl určuje sily medzi jednotlivými členy mechanizmov a zataženia rámu za predpokladu konštantnej rýchlosťi otáčania náhonu. Pri výpočte dynamických síl systém automaticky bere do úvahy hmotnosti všetkých členov mechanizmu.

Všetky výpočty systému sa riešia v reálnom čase. Užívateľ môže výsledky sledovať priamo v grafickom zobrazení. Priebehy vypočítaných hodnôt je možné vytisknúť alebo zapísat do datového súboru.

Kinematická analýza v programe AROM

Modul AROM rieši kinematickú analýzu roviných mechanizmov pracovných strojov. Predpokladá sa, že poloha mechanizmu je určená polohou náhonu, ktorý sa rovnomerne otáča. Po výpočte kinematických veličín je možné previesť silovú analýzu mechanizmu. Pri výpočte zataženia sa zvažujú vonkajšie sily a sily dynamické, ktoré vznikajú od nerovnomerného pohybu hmotných telies.

Pri vytváraní popisu mechanizmu postupujeme rovnakým spôsobom, ako keď ho kreslime na papier. Pri vykreslovaní schémy mechanizmu sa najprv nakreslia polohy bodov ležiacich na rámu. Potom určím polohu hnacích váhadiel (kľuk) a nakreslim ich . Tým získam ďalšie body určujúce konce

klík. K takto získaným bodom pridávam postupne binárne skupiny.

V systému AROM postupujeme obdobne. Mechanizmus sa skladá z prevodov, hnacích členov, bodov ležiacich na telesách a pod.

Schému mechanizmu vytvorím tak, že ku známym prvkom postupne pridávame ďalšie. Pri definícii nového nového prvku sa vždy môžem odvolať len na prvky už definované. Týmto spôsobom vytvorím popis mechanizmu, ktorý musí byť logicky správny.

Postup zadávania parametrov pre program AROM

Názov základného telesa: **RÁM**

Názov parametru určujúci polohu náhonu: **xk**

Otáčanie náhonu od : **0** do :**360 (grad)**

BOD Názov bodu : **A**

Umiestnený na telesе: **RÁM**

Rel. súradnica XR:**0** YR:**0**

BOD Názov bodu : **B**

Umiestnený na telesе: **RÁM**

Rel. súradnica XR:**-38.5** YR:**15.8**

BOD Názov bodu : **C**

Umiestnený na telesе: **RÁM**

Rel. súradnica XR:**92** YR:**27.3**

PREVOD Názov výstupného parametru: **xk**

Popis: **Náhon hlavného hriadeľa**

xk = a * TAU + b

a = -1.00 **b = 0**

PREVOD Názov výstupného parametru: XK
 Popis: Posuv kľuky D2
 $XK = a * TAU + b$
 $a = 1.00 \quad b = 90.00$

KLUKA Názov telesa kľuky: 1
 Pootočenie určuje parameter: xk Bod otáčania: A
 Bod kľukového čapu: D1 Polomer kľuky: 1.03

KLUKA Názov telesa kľuky: 2
 Pootočenie určuje parameter: XK Bod otáčania: A
 Bod kľukového čapu: D2 Polomer kľuky: 1.50

BIN.SKUPINA R-R-R 1.teleso:3 2.teleso:4
 Dĺžka: 1.teleso:38.0 2.teleso:17.1
 Spojovacie body:
 1.krajný: D1 stredný:E 2.krajný:B

BOD Názov bodu : F
 Umiestnený na telesse: 4
 Rel. súradnica XR:-28 YR:3.4

BIN.SKUPINA R-R-R 1.teleso:5 2.teleso:6
 Dĺžka: 1.teleso:93.5 2.teleso:15.0
 Spojovacie body:
 1.krajný: D2 stredný:G 2.krajný:C

BOD Názov bodu : H
 Umiestnený na telesse: 6
 Rel. súradnica XR:-10.5 YR:-20.5

BIN.SKUPINA R-R-R 1.teleso:7 2.teleso:8
 Dĺžka: 1.teleso:15 2.teleso:112.12
 Spojovacie body:
 1.krajný: H stredný:I 2.krajný:F

BOD Názov bodu : P
Umiestnený na telesе: 8
Rel. súradnica XR:**79.495** YR:**24.5189**

BOD Názov bodu : O
Umiestnený na telesе: 8
Rel. súradnica XR:**52.885** YR:**19.9504**

BOD Názov bodu : M
Umiestnený na telesе: RÁM
Rel. súradnica XR:**-40** YR:**53**

BOD Názov bodu : N
Umiestnený na telesе: RÁM
Rel. súradnica XR:**95** YR:**53**

PRIAMKA spojujúca body **N M**

BOD Názov bodu : R
Umiestnený na telesе: 8
Rel. súradnica XR:**66.2** YR:**22.2383**

Získané veličiny sú znázornené v tabuľkách č.: 7.1. až 7.5. a v grafoch č.:7.1. až 7.15.

7.2 Kinematický rozbor pohybu podávača

Kinematickú analýzu podávača môžeme vyjadriť nasledujúcimi rovnicami.

Celý mechanizmus sa skladá z dvoch štvorčlenných

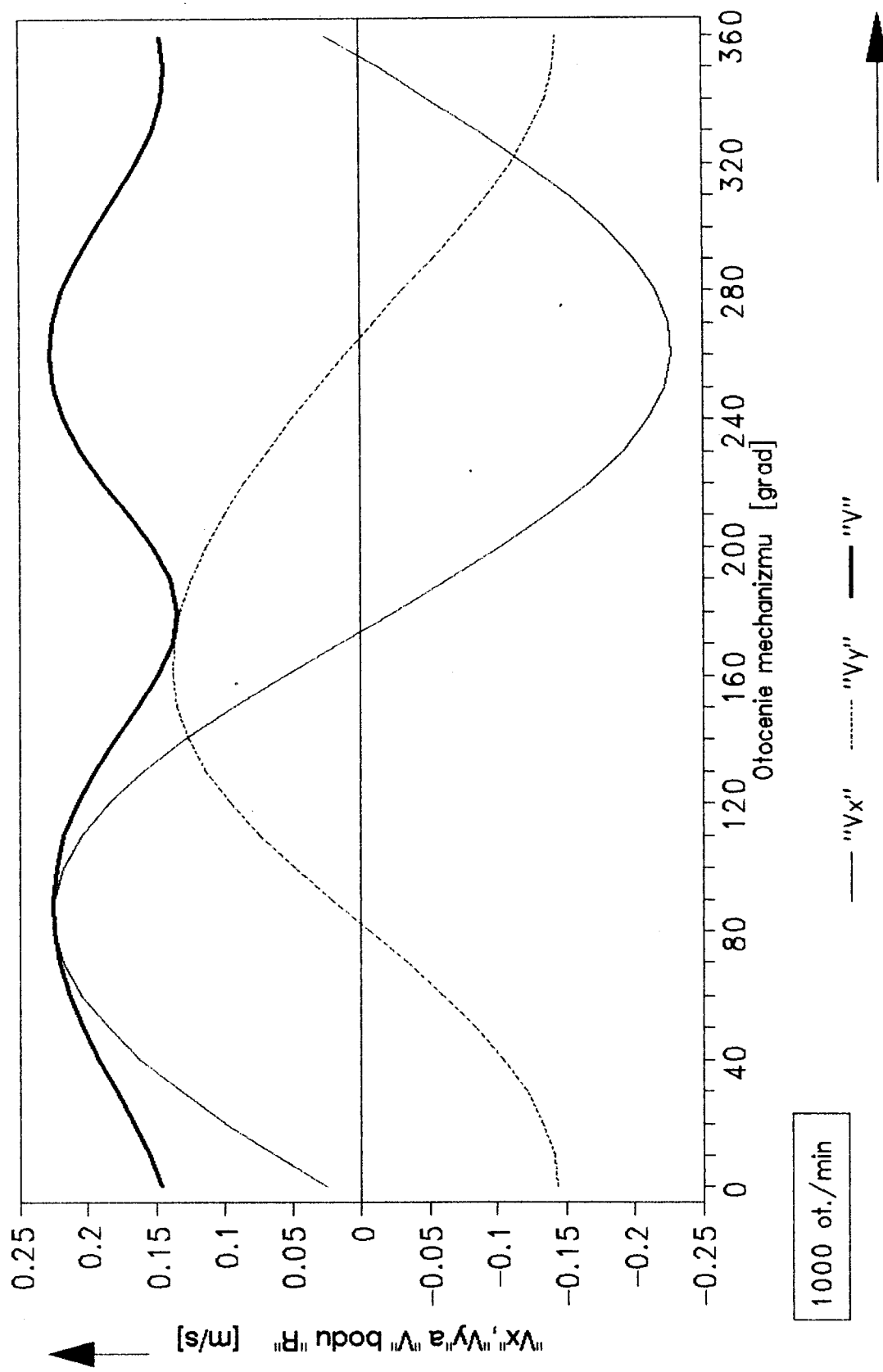
tabuľka č. : 7.1.

Kinematika bodu "R" pri otackach 1000/min

pozocenie mechan. [grad]	posunutie v ose "X" [mm]	posunutie v ose "Y" [mm]	zrychlenie "Ax" [m/s*s]	zrychlenie "Ay" [m/s*s]	zrychlenie "Az" [m/s*s]	zrychlenie "Ax" [m/s*s]	zrychlenie "Ay" [m/s*s]	zrychlenie "Az" [m/s*s]	rychlosť "Vx" [m/s]	rychlosť "Vy" [m/s]	vysledna zrychl. "A" [m/s*s]	vysledna rychl. "V" [m/s]
0	27.7	52.5	3.823	22.4	22.79	0.1839	0.02671	-0.144	22.79	0.1463		
10	27.8	52.3	6.167	21.36	22	3.073	0.06312	-0.1413	22.22	0.1648		
20	28	52.1	7.457	20.12	20.62	5.948	0.09872	-0.1338	21.46	0.1663		
30	28.1	51.8	7.806	19.06	18.67	8.699	0.1315	-0.1216	20.59	0.1791		
40	28.4	51.6	7.413	18.24	16.18	11.22	0.1607	-0.1049	19.89	0.1919		
50	28.7	51.5	6.47	17.66	13.21	13.39	0.1852	-0.08437	18.81	0.2036		
60	29	51.4	5.125	17.28	9.822	15.11	0.2045	-0.06055	18.03	0.2132		
70	29.4	51.3	3.485	17.03	6.093	16.28	0.2178	-0.0343	17.39	0.2204		
80	29.7	51.3	1.825	16.87	2.122	16.81	0.2246	-0.006624	16.95	0.2247		
90	30.1	51.3	-0.359	16.75	-1.979	16.84	0.2248	0.02136	16.76	0.2258		
100	30.5	51.3	-2.521	16.69	-0.082	15.75	0.218	0.04845	16.88	0.2233		
110	30.8	51.4	-4.673	16.72	-10.05	14.16	0.2046	0.07348	17.36	0.2174		
120	31.2	51.6	-6.727	16.94	-13.76	11.97	0.1847	0.09531	18.23	0.2078		
130	31.4	51.7	-8.477	17.48	-17.04	9.329	0.159	0.1131	19.43	0.1951		
140	31.7	51.9	-9.609	18.49	-19.82	6.425	0.1282	0.1283	20.83	0.1799		
150	31.9	52.2	-9.669	20.04	-21.98	3.47	0.09324	0.1345	22.25	0.1637		
160	32	52.4	-8.11	22.01	-23.45	0.6617	0.05528	0.1375	23.46	0.1486		
170	32	52.6	-4.558	23.82	-24.18	-1.862	0.01548	0.1369	24.25	0.1377		
180	32	52.8	0.5579	24.47	-24.15	-3.969	-0.0249	0.132	24.48	0.1343		
190	32	53.1	5.708	23.36	-23.36	-5.743	-0.06459	0.1238	24.04	0.1396		
200	31.8	53.3	9.315	20.06	-21.79	-7.183	-0.1023	0.113	22.94	0.1524		
210	31.6	53.4	10.84	18.25	-19.61	-8.335	-0.1368	0.1001	21.23	0.1695		
220	31.4	53.6	10.54	15.88	-16.61	-9.346	-0.167	0.0863	18.06	0.1875		
230	31.1	53.7	8.912	14.11	-13.16	-10.26	-0.1919	0.06895	16.88	0.2039		
240	30.7	53.8	6.399	12.98	-9.281	-11.11	-0.2106	0.05113	14.47	0.2168		
250	30.4	53.9	3.389	12.48	-6.129	-11.87	-0.2227	0.03197	12.93	0.2225		
260	30	53.9	0.2139	12.53	-0.8631	-12.5	-0.2277	0.01163	12.53	0.228		
270	29.8	53.9	-2.839	13.06	3.391	-12.93	-0.2255	-0.009591	13.36	0.2257		
280	29.3	53.9	-5.513	13.98	7.458	-13.06	-0.2165	-0.03129	15.04	0.2187		
290	28.9	53.8	-7.581	15.26	11.22	-12.83	-0.2009	0.05292	17.04	0.2077		
300	28.6	53.7	-8.87	16.8	14.57	-12.17	-0.1793	-0.07381	18.98	0.1939		
310	28.3	53.6	-9.092	18.53	17.42	-11.07	-0.1526	-0.09324	20.64	0.1788		
320	28.1	53.4	-8.19	20.31	19.72	-9.518	-0.1216	-0.1105	21.9	0.1642		
330	27.9	53.2	-6.081	21.88	21.42	-7.55	-0.08717	-0.1247	22.71	0.1522		
340	27.8	53	-2.985	22.91	22.5	-5.224	-0.05048	-0.1354	23.1	0.1445		
350	27.7	52.8	0.5908	23.1	22.96	-2.015	-0.0151	-0.142	23.11	0.1425		
360	27.7	52.5	3.823	22.47	22.79	0.1839	0.02671	-0.144	22.79	0.1463		

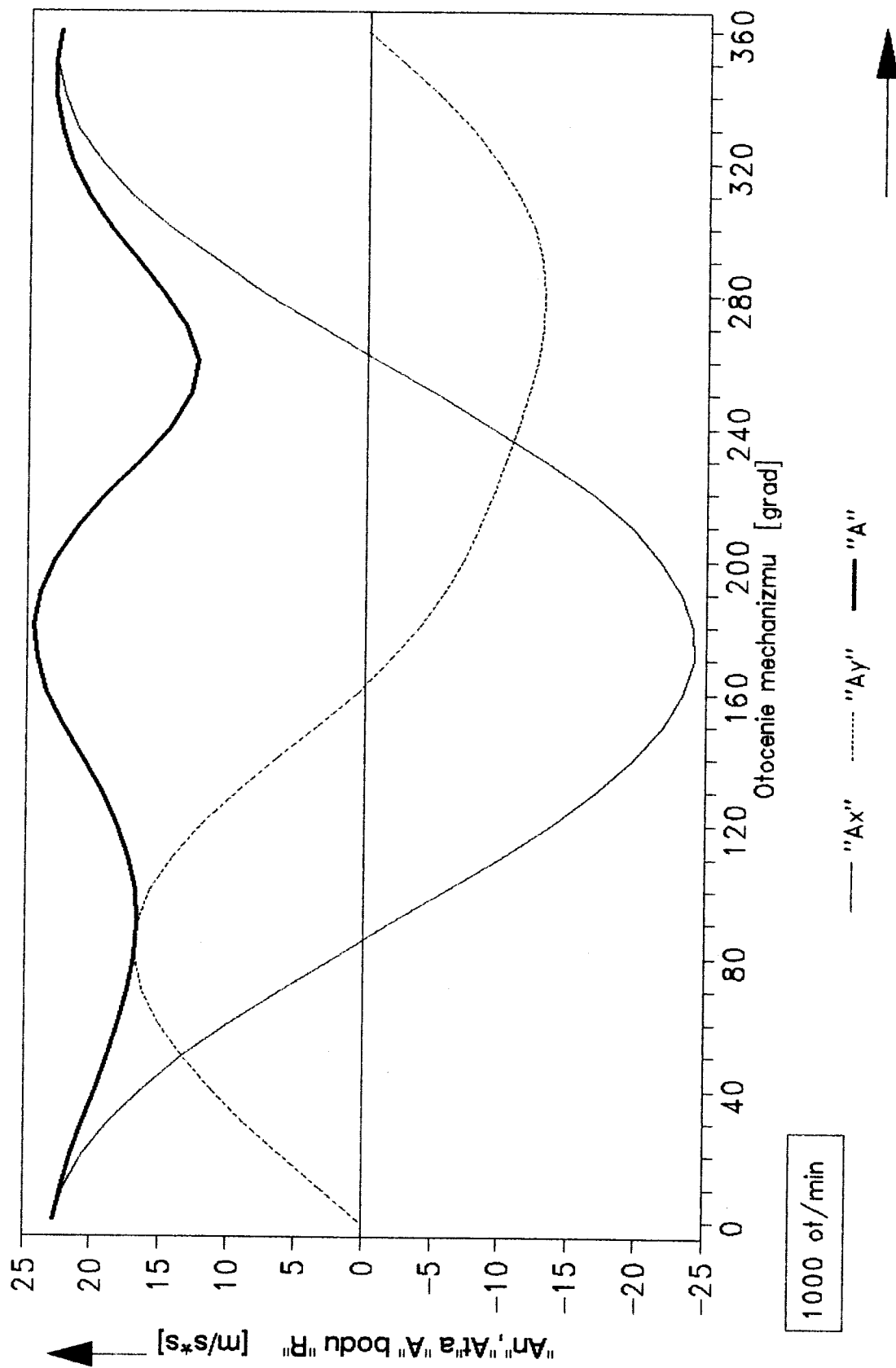
Zavislosti rychlosci "Vx", "Vy" a "V"
na pozaceni mechanizmu podavaci

graf č.7.1.



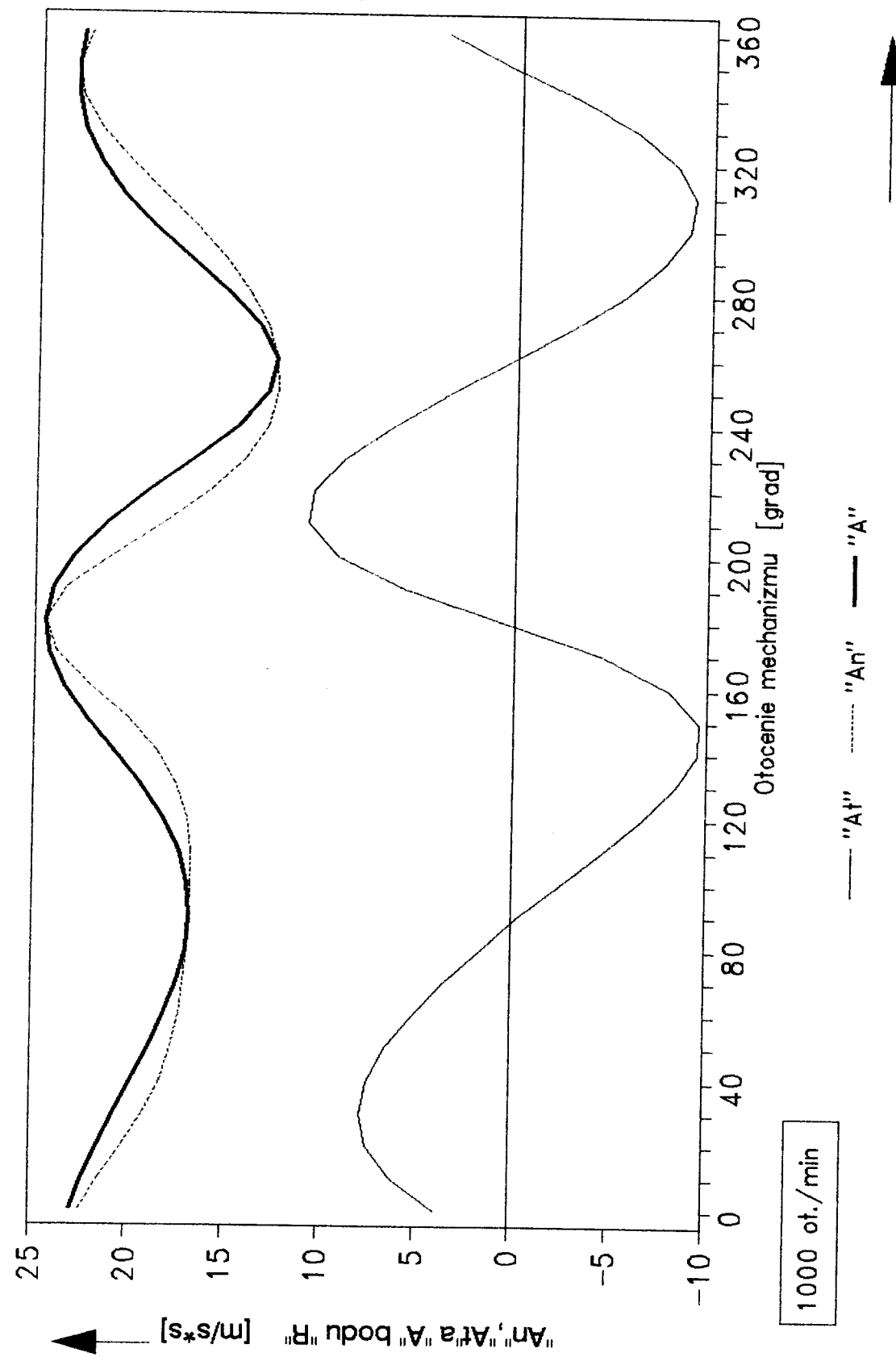
Zavislosti zrychlení "Ax", "Ay" a "A"
na poziciu mechanizmu podanej

graf č. 7.2.



Zavislosti zrychlení "An", "Ap" a "A"
na postocení mechanizmu podavača

graf č. 7.3.



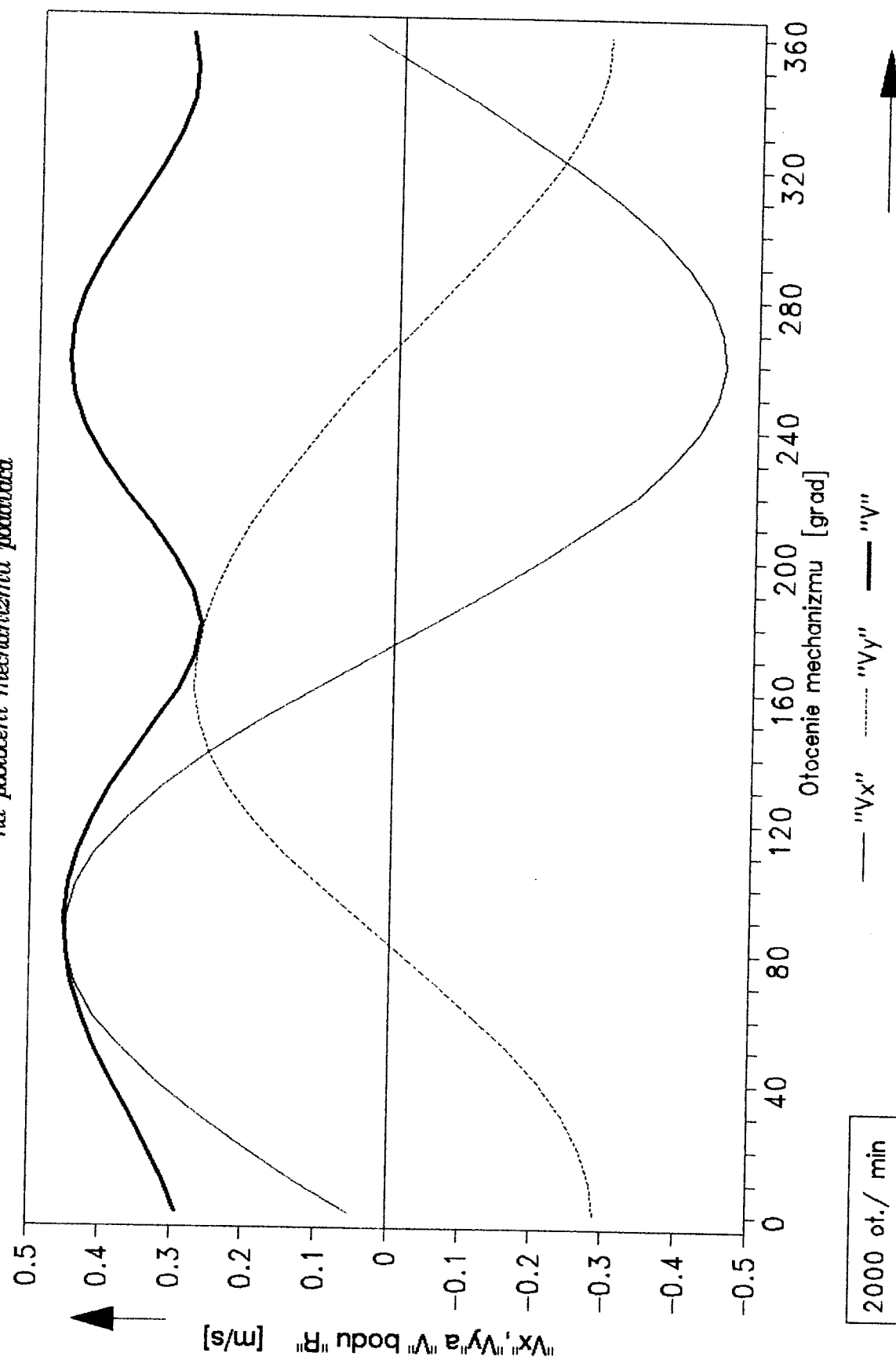
tabuľka č. : 7.2.

Kinematika bodu "R" pri otáckach 2000/min

počet otáčania mechan. [grad]	posunutie v ose "X" [mm]	posunutie v ose "Y" [mm]	zrychlenie "Ax" [m/s*s]	zrychlenie "Ay" [m/s*s]	zrychlenie "Az" [m/s*s]	zrychlenie "Vx" [m/s]	rychlosť "Vy" [m/s]	rychlosť "Vz" [m/s]	výsledné zrychl. "A" [m/s*s]	výsledná rychl. "V" [m/s]
0	27.7	52.5	15.29	89.87	91.16	0.7357	0.05141	-0.2881	91.16	0.2926
10	27.8	52.3	24.67	86.38	88.2	12.29	0.1262	-0.2827	88.87	0.3096
20	28	52.1	29.83	80.5	82.49	23.79	0.1974	-0.2676	86.86	0.3326
30	28.1	51.8	31.22	76.24	74.69	34.8	0.2631	-0.2431	82.38	0.3582
40	28.4	51.6	29.65	72.96	64.72	44.87	0.3213	-0.2099	78.76	0.3838
50	28.7	51.5	25.98	70.05	62.84	63.67	0.3704	-0.1687	76.25	0.407
60	29	51.4	20.5	69.13	39.29	60.46	0.4089	-0.1211	72.1	0.4285
70	29.4	51.3	13.04	68.14	24.37	65.14	0.4365	-0.0686	69.55	0.4409
80	29.7	51.3	6.501	67.47	8.497	67.25	0.4493	-0.01325	67.79	0.4495
90	30.1	51.3	-1.563	67.02	-7.915	66.57	0.4495	0.04271	67.04	0.4515
100	30.5	51.3	-10.09	66.77	-24.33	62.99	0.4361	0.09689	67.52	0.4487
110	30.8	51.4	-18.60	66.9	-40.2	56.84	0.4091	0.1489	69.46	0.4347
120	31.2	51.6	-26.91	67.76	-54.99	47.89	0.3604	0.1906	72.92	0.4156
130	31.4	51.7	-33.91	69.93	-68.17	37.32	0.3179	0.2262	77.72	0.3902
140	31.7	51.9	-38.43	73.04	-79.27	26.7	0.2583	0.2625	83.34	0.3598
150	31.9	52.2	-38.68	80.16	-87.91	13.88	0.1865	0.269	89	0.3273
160	32	52.4	-32.44	88.05	-93.79	2.647	0.1106	0.2758	93.83	0.2972
170	32	52.6	-18.23	95.28	-96.73	-7.407	0.03097	0.2737	97.01	0.2755
180	32	52.8	2.231	97.88	-96.6	-15.98	-0.0498	0.2639	97.91	0.2686
190	32	53.1	22.83	93.42	-93.39	-22.97	-0.1292	0.2476	96.17	0.2793
200	31.8	53.3	37.26	83.85	-87.16	-28.65	-0.2046	0.226	91.75	0.3049
210	31.6	53.4	43.36	73.01	-78.09	-33.38	-0.2737	0.2001	84.91	0.339
220	31.4	53.6	42.17	63.51	-66.45	-37.38	-0.334	0.1706	76.24	0.3751
230	31.1	53.7	35.66	56.42	-62.63	-41.04	-0.3838	0.1379	66.74	0.4078
240	30.7	53.8	26.8	61.94	-37.13	-44.43	-0.4213	0.1023	67.9	0.4336
250	30.4	53.9	13.66	49.92	-20.61	-47.49	-0.4454	0.06304	51.73	0.4499
260	30	53.9	0.8657	50.12	-3.413	-60.01	-0.4553	0.02327	50.13	0.4559
270	29.6	53.9	-11.36	52.23	13.58	-51.7	-0.4511	-0.01919	53.45	0.4515
280	29.3	53.9	-22.05	55.97	29.83	-52.24	-0.4329	-0.06258	60.15	0.4374
290	28.9	53.8	-30.32	61.05	44.88	-51.31	-0.4017	-0.1058	66.16	0.4154
300	28.6	53.7	-35.35	67.21	58.27	-48.69	-0.3586	-0.1476	75.94	0.3878
310	28.3	53.6	-36.37	74.12	69.68	-44.28	-0.3051	-0.1885	82.56	0.3576
320	28.1	53.4	-32.76	81.22	78.87	-38.07	-0.2431	-0.2209	87.58	0.3285
330	27.9	53.2	-24.32	87.53	85.68	-30.2	-0.1743	-0.2495	90.85	0.3044
340	27.6	53	-11.66	91.84	90.02	-20.89	-0.101	-0.2709	92.41	0.2691
350	27.7	52.8	2.63	92.4	91.84	-10.46	-0.02601	-0.284	92.43	0.2651
360	27.7	52.5	15.29	89.87	91.16	0.7357	0.05141	-0.2881	91.16	0.2926

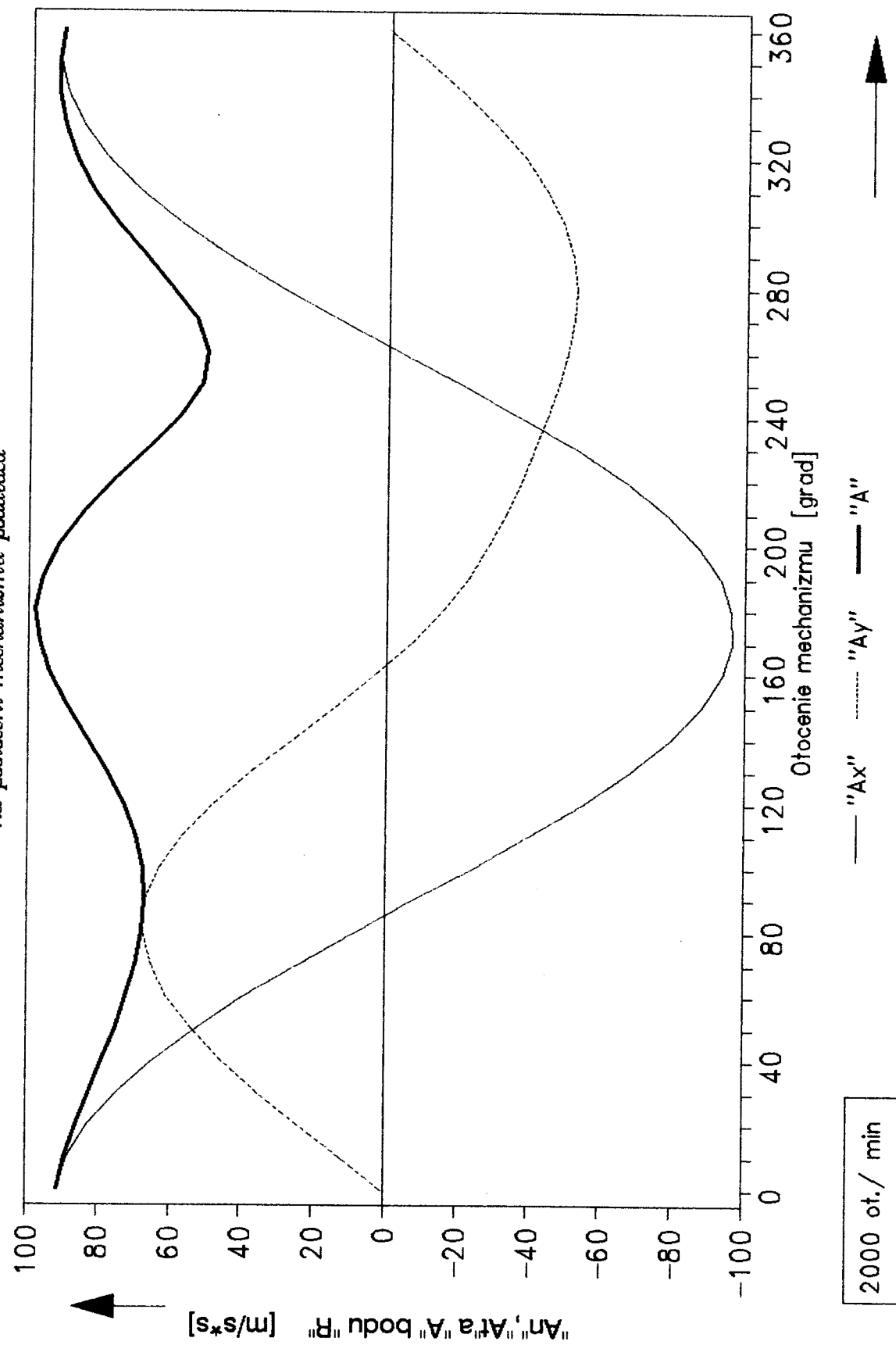
Zavislosti rychloseti "Vx", "Vy" a "V"
na pootoceni mechanizmu podavaca

graf č. : 7.4.



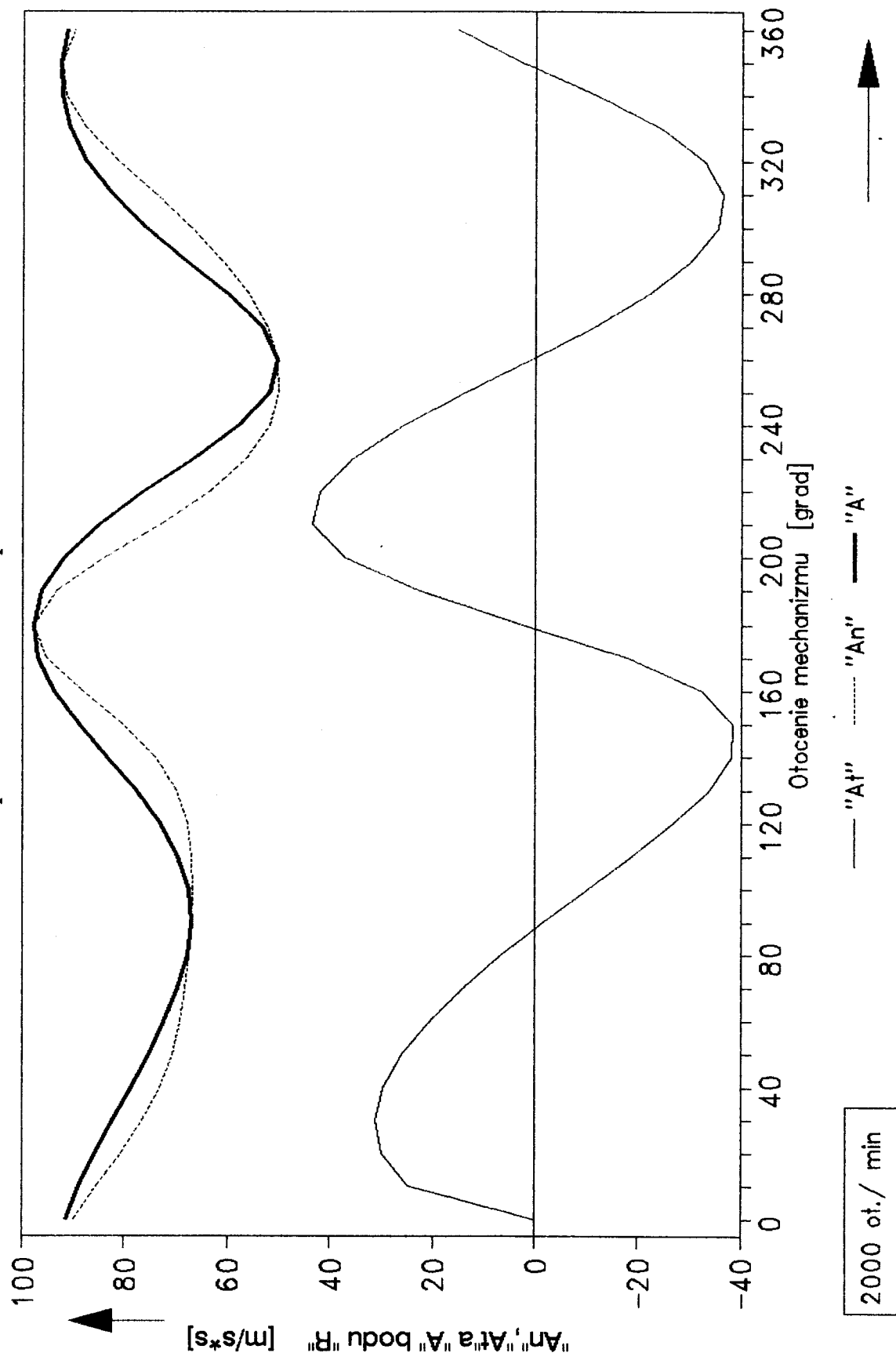
Zavislosti rychlení "Ax", "Ay" a "A"
na početech mechanizmu podvěsu

graf č.: 7.5.



Zavislosti zrychlení "An", "At" a "A"
na poziciemi mechanizmu podavača

graf č.: 7.6.



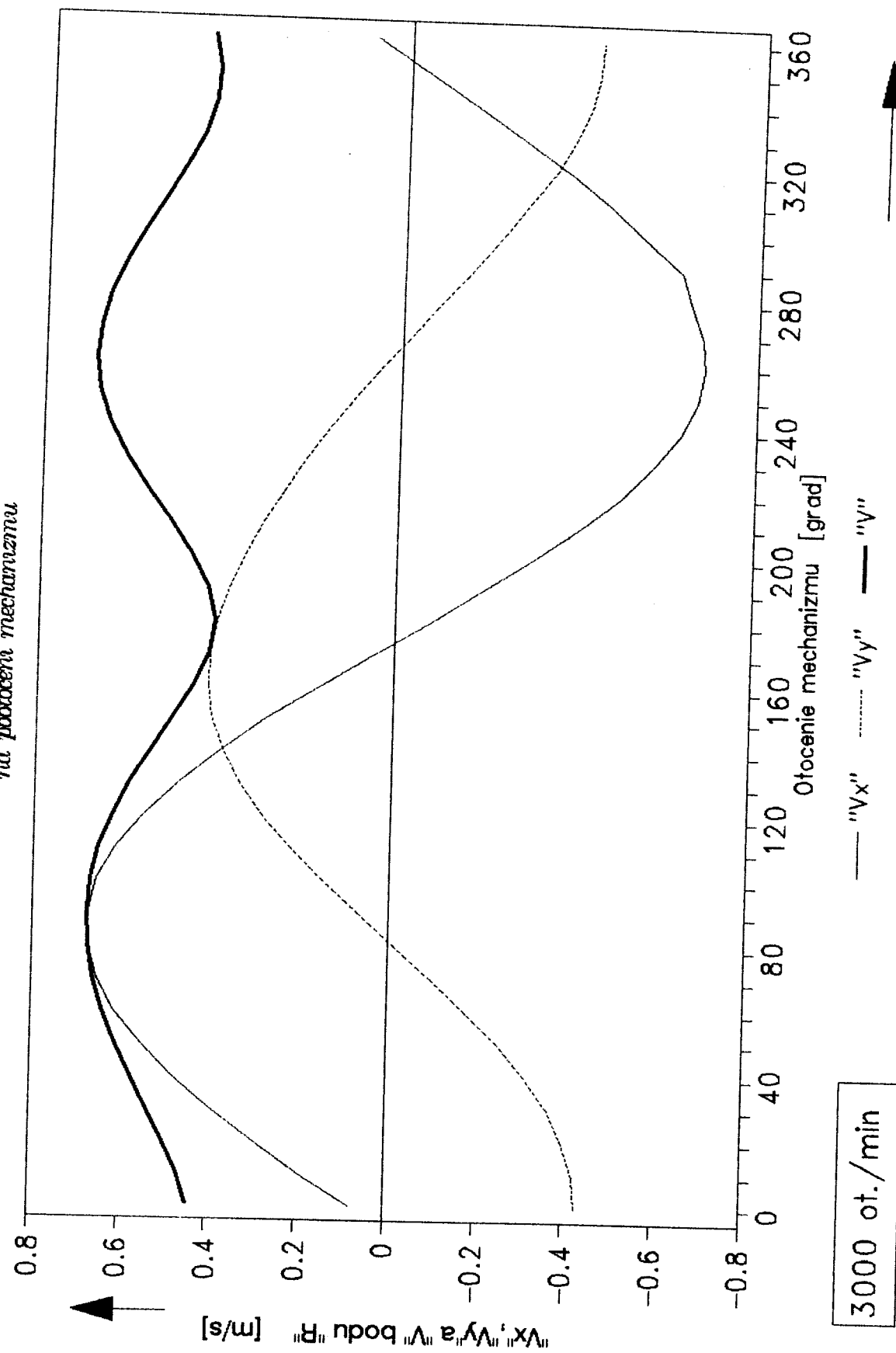
tabuľka č. : 7.3.

Kinematika bodu "R" pri otackach 3000/min

početenie mechan. [grad]	posunutie v ose "X" [mm]	posunutie v ose "Y" [mm]	zrychlenie "Ax" [m/s*s]	zrychlenie "Ay" [m/s*s]	zrychlenie "Vx" [m/s]	rychlosť "Vy" [m/s]	výsledne zrychl. "A" [m/s*s]	výsledna rychl. "V" [m/s]
0	27.7	52.6	34.41	202.22	206.1	1.055	0.07712	-0.4321
10	27.8	52.3	66.5	102.1	108	27.68	0.1894	-0.424
20	28	52.1	67.11	181.1	186.6	63.53	0.2962	-0.4014
30	28.1	51.8	70.24	171.5	168	78.29	0.3946	-0.3847
40	28.4	51.6	66.71	164.2	146.6	101	0.482	-0.3148
50	28.7	51.5	58.23	159	118.9	120.5	0.5556	-0.2531
60	29	51.4	46.13	155.5	88.4	136	0.6134	-0.1816
70	29.4	51.3	31.37	153.3	54.84	146.6	0.6533	-0.1029
80	29.7	51.3	14.63	151.8	19.1	151.3	0.6739	-0.01987
90	30.1	51.3	-3.563	150.8	-17.81	149.8	0.6743	0.06407
100	30.5	51.3	-22.69	150.2	-54.74	141.7	0.6541	0.1453
110	30.8	51.4	-42.06	150.5	-90.46	127.4	0.6137	0.2204
120	31.2	51.6	-60.64	152.6	-123.7	107.7	0.5664	0.2860
130	31.4	51.7	-76.5	157.3	-163.4	83.96	0.4780	0.3303
140	31.7	51.9	-86.48	166.4	-178.4	57.82	0.3845	0.3788
150	31.9	52.2	-87.02	180.4	-197.8	31.23	0.2797	0.4035
160	32	52.4	-72.99	198.1	-211	5.956	0.1658	0.4137
170	32	52.6	-41.03	214.4	-217.6	-16.67	0.04643	0.4106
180	32	52.8	6.021	220.2	-217.3	-35.9	-0.0747	0.3959
190	32	53.1	61.37	210.2	-210.1	-51.88	-0.1938	0.3714
200	31.8	53.3	83.04	188.7	-196.1	-64.47	-0.3060	0.339
210	31.6	53.4	97.55	164.3	-175.7	-75.01	-0.4105	0.3002
220	31.4	53.6	94.89	142.9	-149.5	-94.11	-0.5011	0.2559
230	31.1	53.7	80.21	126.9	-118.4	-92.36	-0.5757	0.2060
240	30.7	53.8	67.69	116.9	-83.63	-99.97	-0.6319	0.1634
250	30.4	53.9	30.5	112.3	-46.16	-106.8	-0.6668	0.09691
260	30	53.9	1.925	112.8	-7.678	-112.5	-0.6883	0.0349
270	29.6	53.9	-25.55	117.5	30.52	-116.3	-0.6766	-0.02677
280	29.3	53.9	-49.61	125.9	67.12	-117.5	-0.6494	-0.00387
290	28.9	53.8	-68.23	137.4	101	-115.4	-0.6226	-0.1688
300	28.6	53.7	-79.53	151.2	131.1	-109.6	-0.5379	-0.2214
310	28.3	53.6	-81.83	166.8	158.8	-99.63	-0.4577	-0.2797
320	28.1	53.4	-73.71	182.8	177.5	-86.66	-0.3648	-0.3314
330	27.8	53.2	-54.73	196.9	192.8	-67.95	-0.2615	-0.3742
340	27.6	53	-26.09	206.2	202.5	-47.01	-0.1514	-0.4063
350	27.7	52.8	5.317	207.9	206.6	-23.54	-0.03762	-0.426
360	27.7	52.6	34.41	202.2	206.1	1.055	0.07712	-0.4321

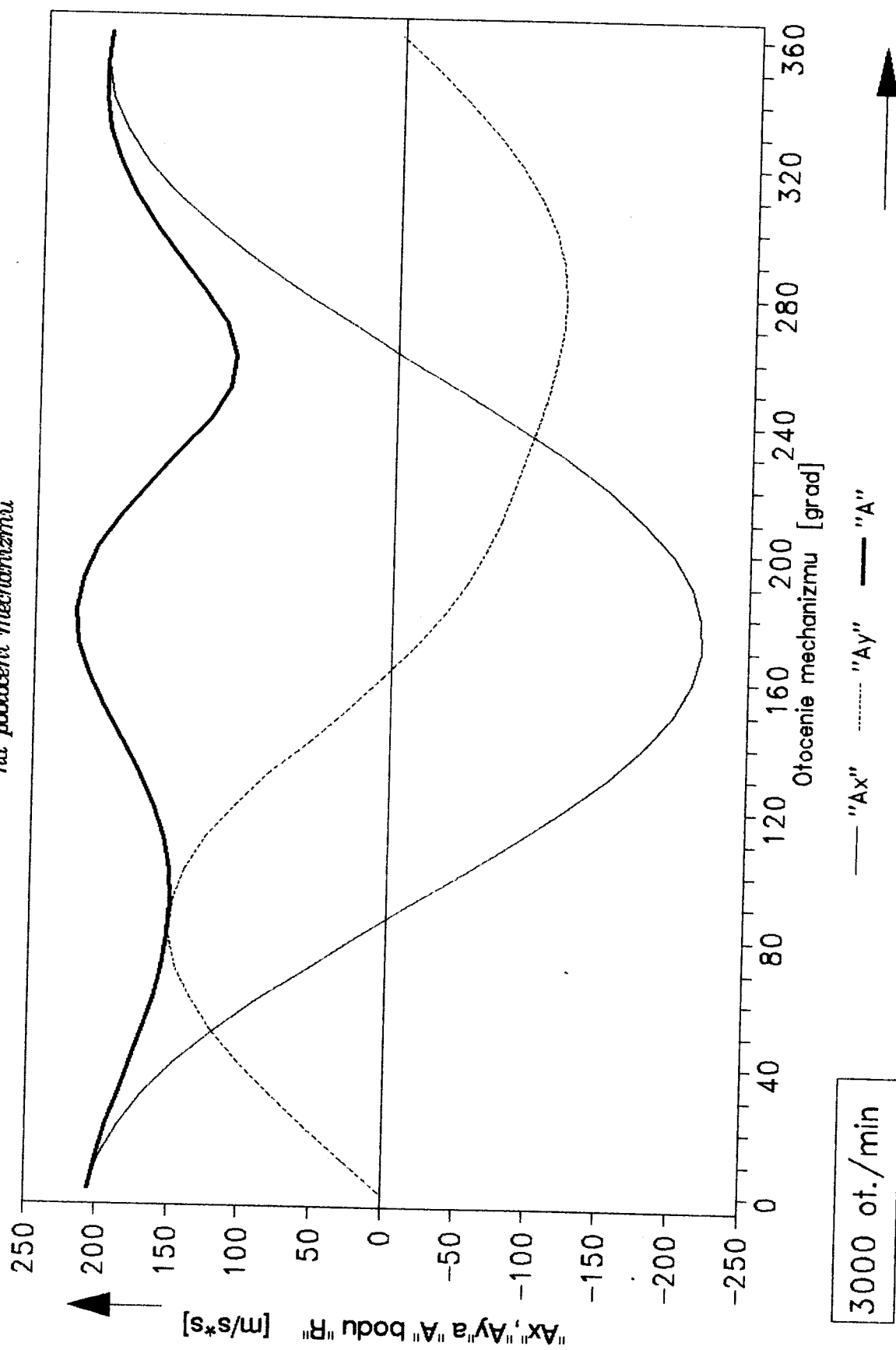
Zavislosti rychlosťí "Vx", "Vy" a "V"
na postavení mechanizmu

graf č.: 7.7.

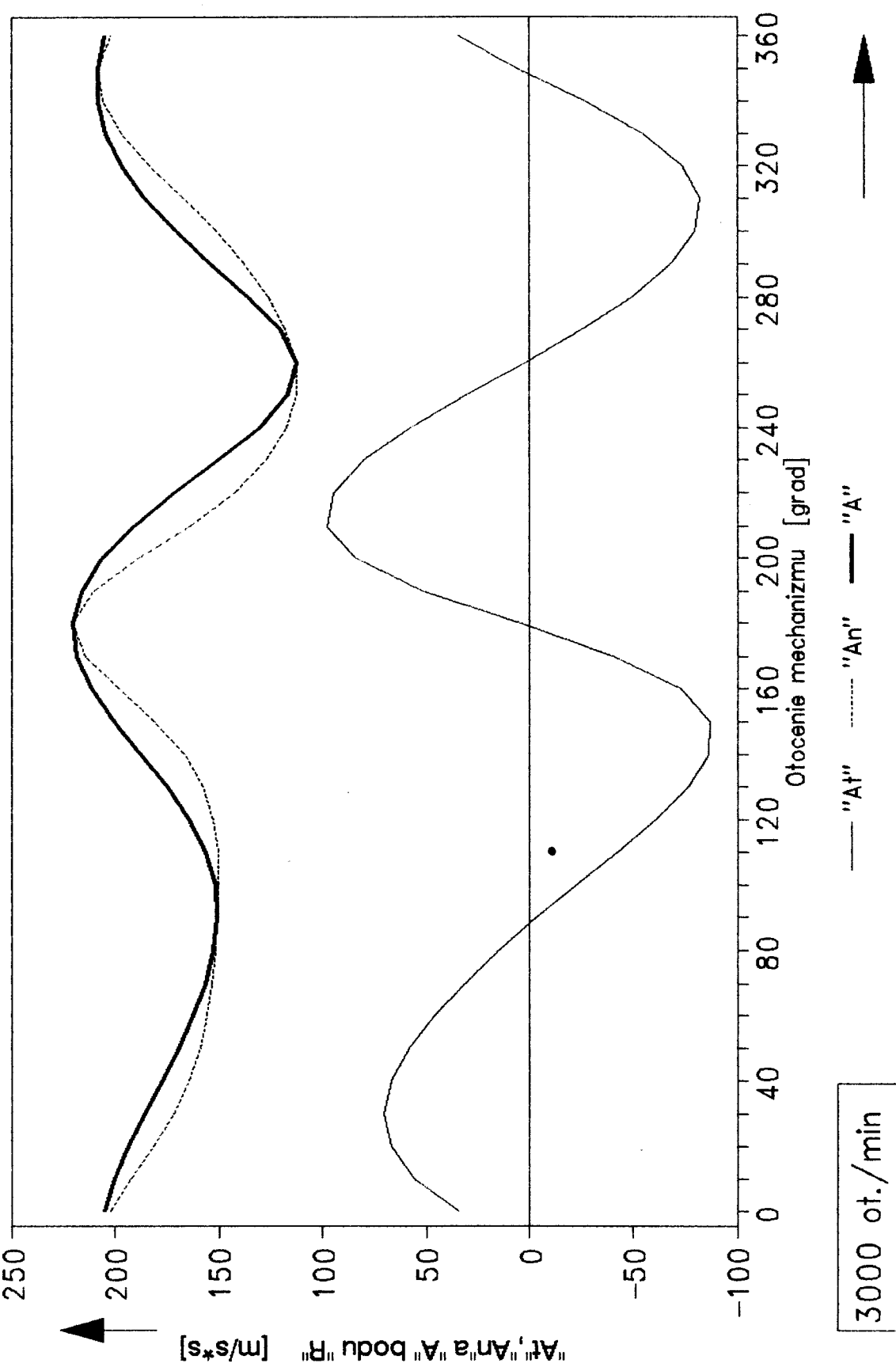


graf č. 7.8.

Zavislosti zrychlení "Ax", "Ay" a "A"
na postavení mechanizmu



Zavislosti zrychlení "At", "An" a "A"
na počet času mechanizmu



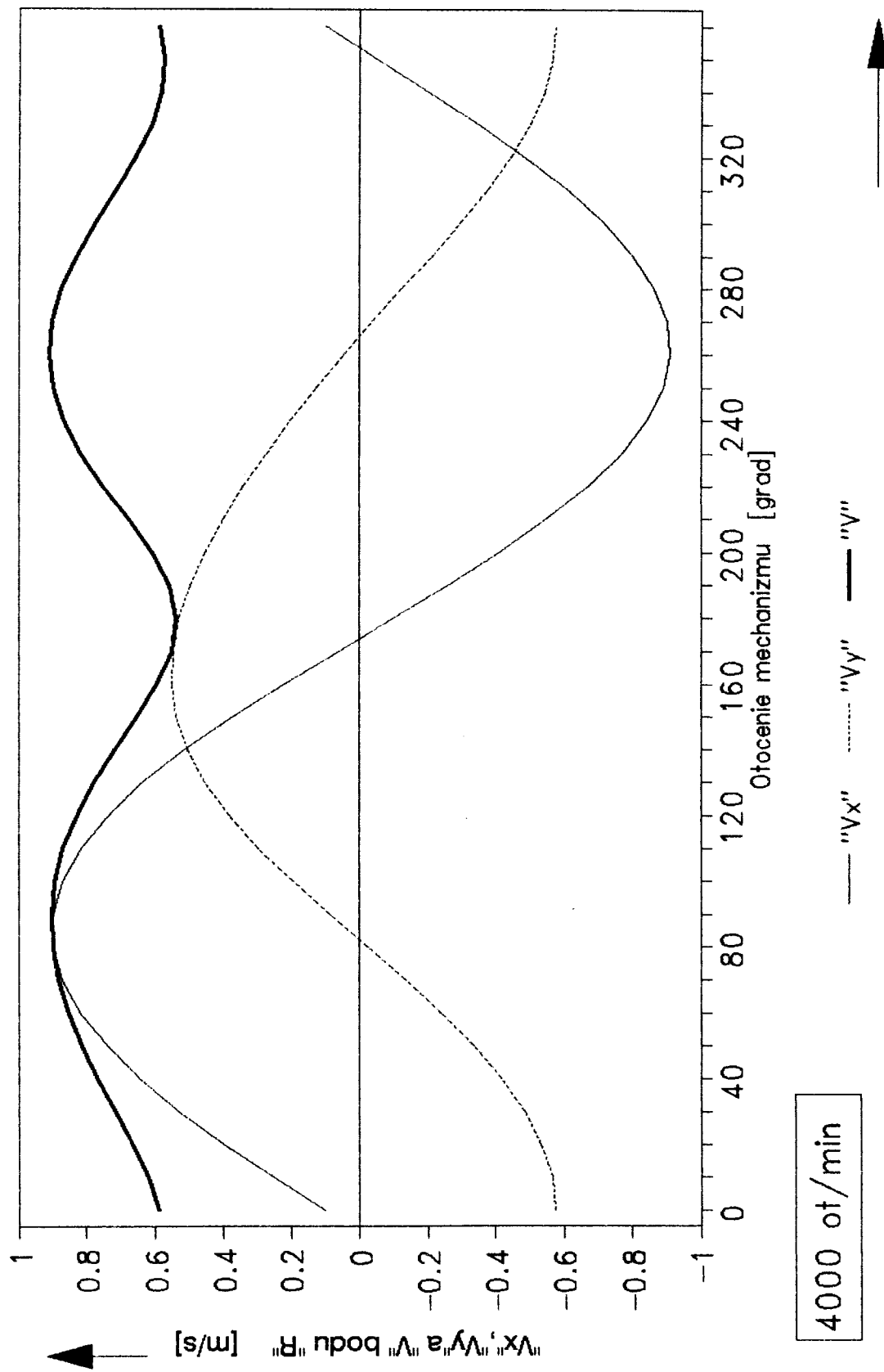
tabuľka č.: 7.4.

Kinematika bodu "R" pri otáckach 4000 / min.

počet otácia mechan. [grad]	posunutie v ose "X" [mm]	posunutie v ose "Y" [mm]	zrychlenie "A _x " [m/s ² /s]	zrychlenie "A _y " [m/s ² /s]	zrychlenie "A _x " [m/s ² /s]	zrychlenie "A _y " [m/s ² /s]	rychlosť "V _x " [m/s]	rychlosť "V _y " [m/s]	vysledne zrychl. "A" [m/s ² /s]	vysledna rychl. "V" [m/s]
0	27.7	52.5	61.17	350.5	364.6	2.943	0.1028	-0.5762	364.7	0.5863
10	27.8	52.3	96.87	341.5	362.1	49.17	0.2625	-0.6853	365.5	0.6101
20	28	52.1	119.3	322	329.9	96.17	0.3949	-0.5362	343.4	0.6651
30	28.1	51.8	124.9	304.9	298.7	139.2	0.5262	-0.4863	329.5	0.7185
40	28.4	51.6	118.6	291.8	268.9	179.5	0.6426	-0.4197	315	0.7675
50	28.7	51.5	103.5	282.6	211.4	214.3	0.7408	-0.3375	301	0.8141
60	29	51.4	82.01	276.5	157.1	241.8	0.8178	-0.2422	286.4	0.8629
70	29.4	51.3	56.76	272.5	97.49	260.5	0.871	-0.1372	278.2	0.8818
80	29.7	51.3	26	289.9	33.95	269	0.8985	-0.0265	271.1	0.8989
90	30.1	51.3	-6.334	268.1	-31.66	266.3	0.899	0.08642	268.1	0.9031
100	30.5	51.3	-40.34	267.1	-97.31	252	0.8721	0.1938	270.1	0.8934
110	30.8	51.4	-74.77	267.6	-160.8	226.6	0.8182	0.2936	277.8	0.8694
120	31.2	51.6	-107.6	271.1	-220	191.5	0.7387	0.3812	291.7	0.8313
130	31.4	51.7	-136.6	279.7	-272.7	149.3	0.6358	0.4626	310.9	0.7604
140	31.7	51.9	-153.7	295.8	-317.1	102.8	0.5126	0.5051	333.3	0.7196
150	31.9	52.2	-164.7	320.6	-361.6	56.53	0.3729	0.538	366	0.6546
160	32	52.4	-129.8	352.2	-375.2	10.59	0.2211	0.6517	375.3	0.5943
170	32	52.6	-72.93	381.1	-386.9	-29.63	0.06194	0.5475	388	0.651
180	32	52.8	8.926	391.5	-386.4	-63.83	-0.09059	0.5278	391.6	0.5371
190	32	53.1	91.33	373.7	-373.6	-91.86	-0.2683	0.4952	384.7	0.5585
200	31.8	53.3	149	336.4	-348.7	-114.6	-0.4092	0.462	367	0.6097
210	31.6	53.4	173.4	292	-312.4	-133.4	-0.5473	0.4002	339.6	0.678
220	31.4	53.6	168.7	254.1	-265.8	-149.5	-0.6881	0.3412	305	0.7502
230	31.1	53.7	142.6	225.7	-210.6	-164.2	-0.7676	0.2758	267	0.8156
240	30.7	53.8	102.4	207.7	-148.5	-177.7	-0.8426	0.2046	231.6	0.867
250	30.4	53.9	64.23	199.7	-82.06	-100	-0.8907	0.1270	206.9	0.8999
260	30	53.9	3423	200.6	-13.65	-200	-0.9107	0.04654	200.5	0.9119
270	29.6	53.9	-4542	208.9	54.25	-206.8	-0.9022	-0.03836	213.88	0.903
280	29.3	53.9	-882	223.9	119.3	-208.9	-0.8659	-0.1252	240.6	0.8749
290	28.9	53.8	-121.3	244.2	179.5	-205.2	-0.8034	-0.2117	272.7	0.8308
300	28.6	53.7	-141.4	268.8	233.1	-194.8	-0.7172	-0.2953	303.8	0.7756
310	28.3	53.6	-146.5	296.5	278.7	-177.1	-0.6103	-0.373	330.2	0.7152
320	28.1	53.4	-131	324.9	315.5	-152.3	-0.4861	-0.4418	350.3	0.6569
330	27.9	53.2	-97.29	350.1	342.7	-120.8	-0.3487	-0.499	383.4	0.6087
340	27.6	53	-47.44	366.6	360.1	-83.58	-0.2019	-0.5417	369.6	0.5781
350	27.7	52.8	9.52	369.6	367.4	-41.84	-0.06002	-0.508	369.7	0.5702
	27.7	52.6	61.17	369.5	364.6	2.943	0.1028	-0.5762	364.7	0.5863

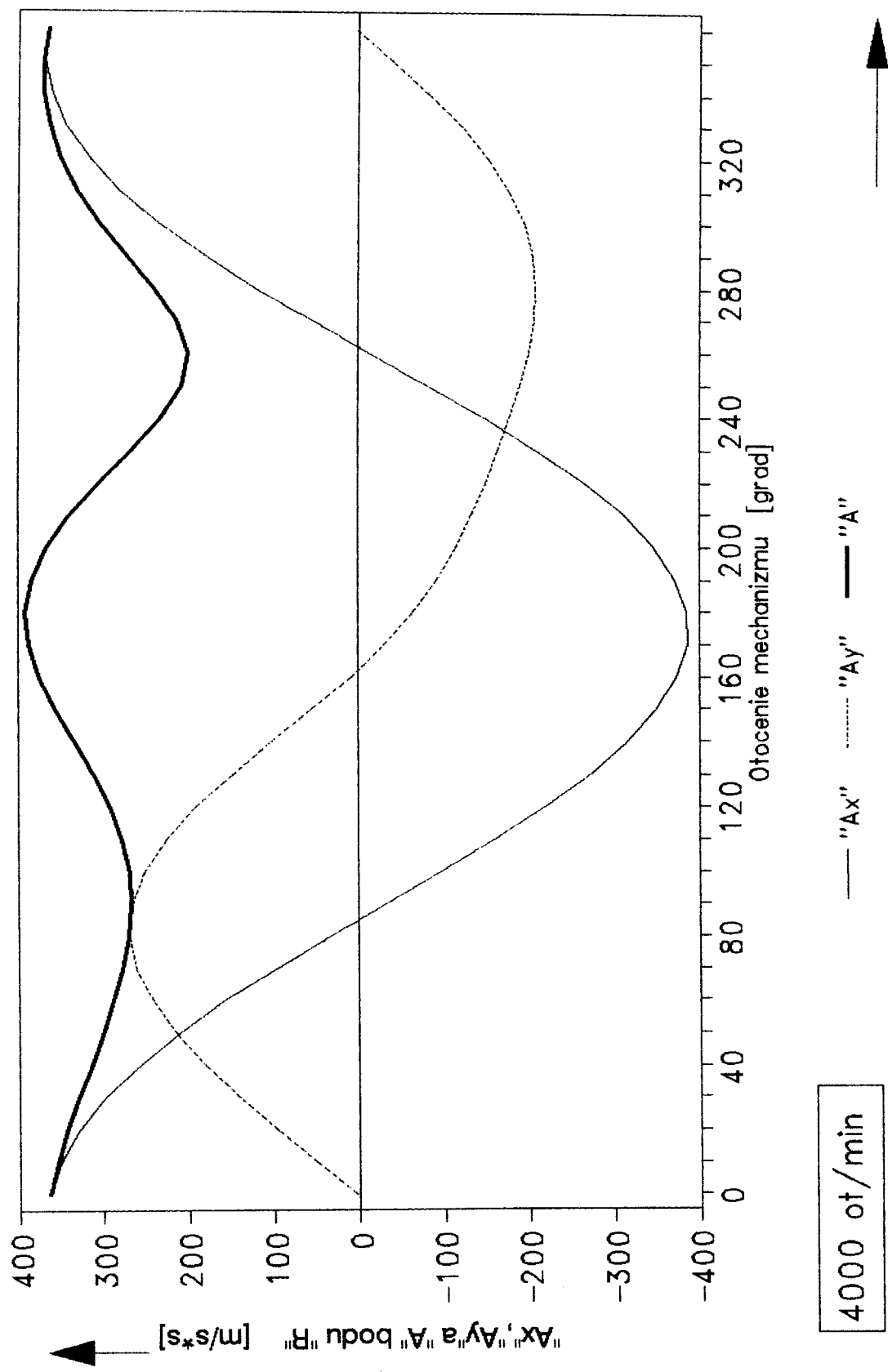
Zavislosti rychloseti "Vx", "Vy" a "V" na postaveni mechanizmu

graf č.: 7.10.

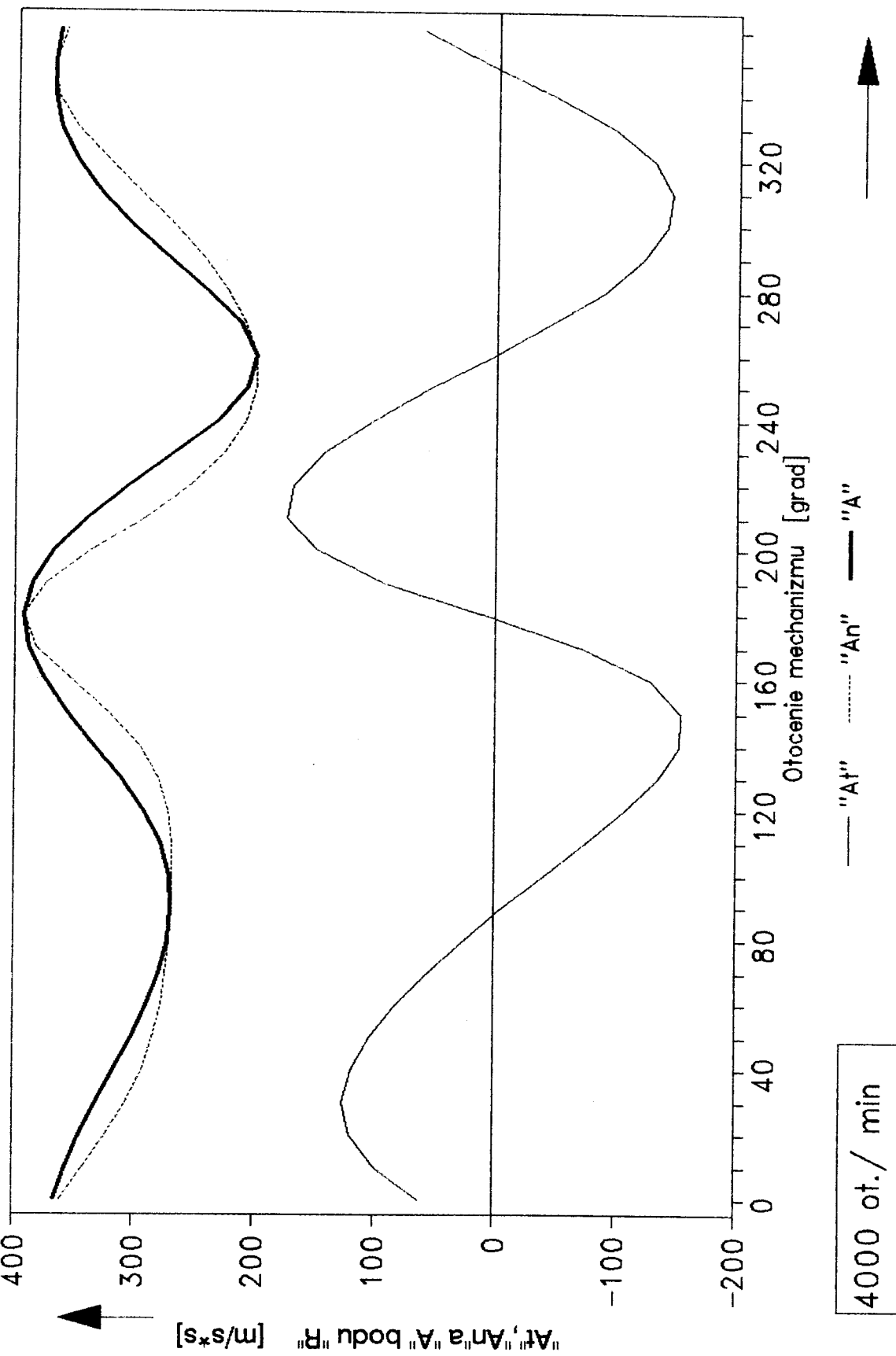


Zavislosti zrychlení "Ax", "Ay" a "A"
na postavení mechanizmu

graf č.: 7.11.



Zavislosti zrychleni "At", "An" a "A"
na poziciemi mechanizmu

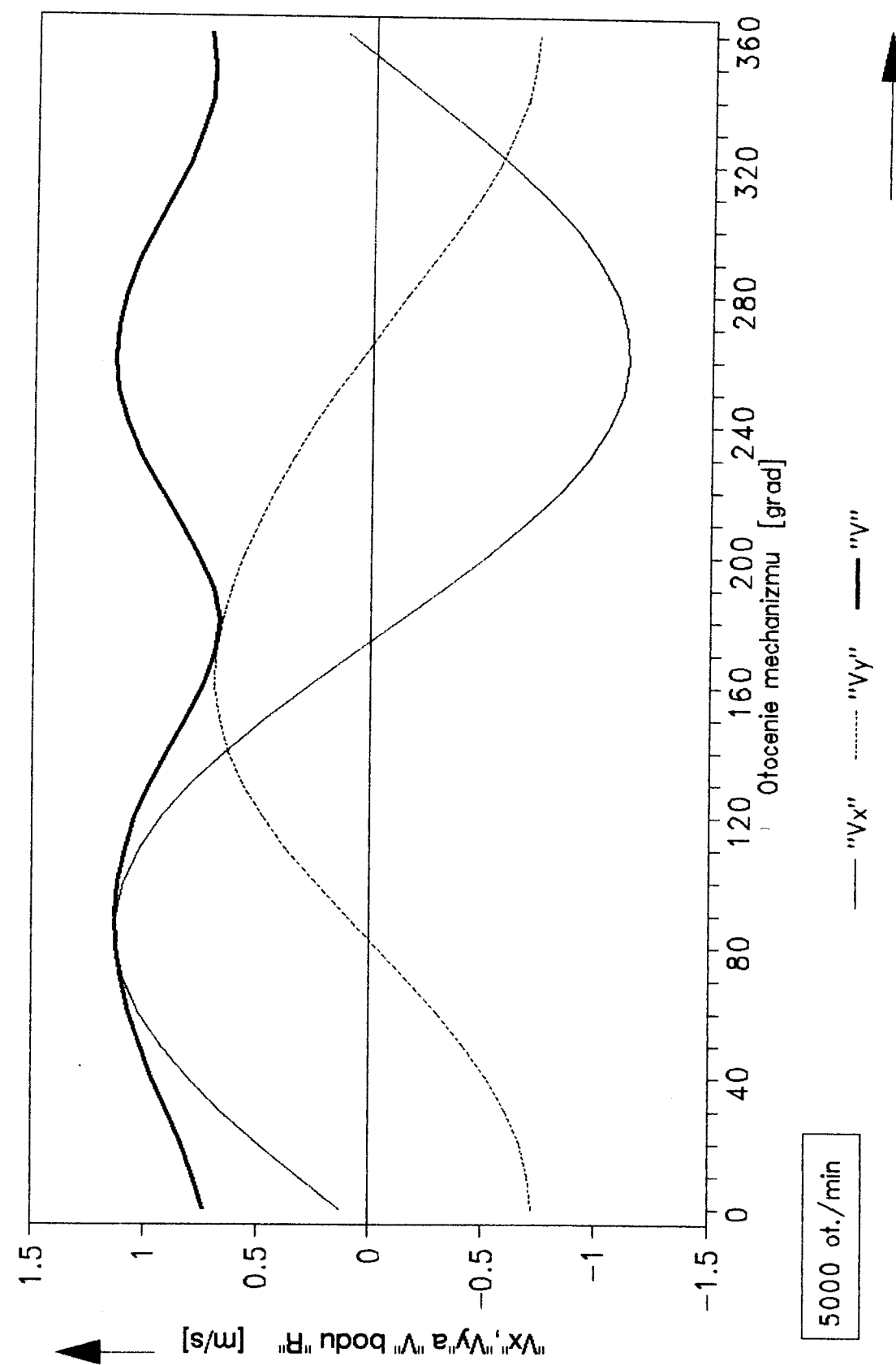


tabuľka č. : 7.5.

Kinematika bodu "R" pri otackach 5000/min

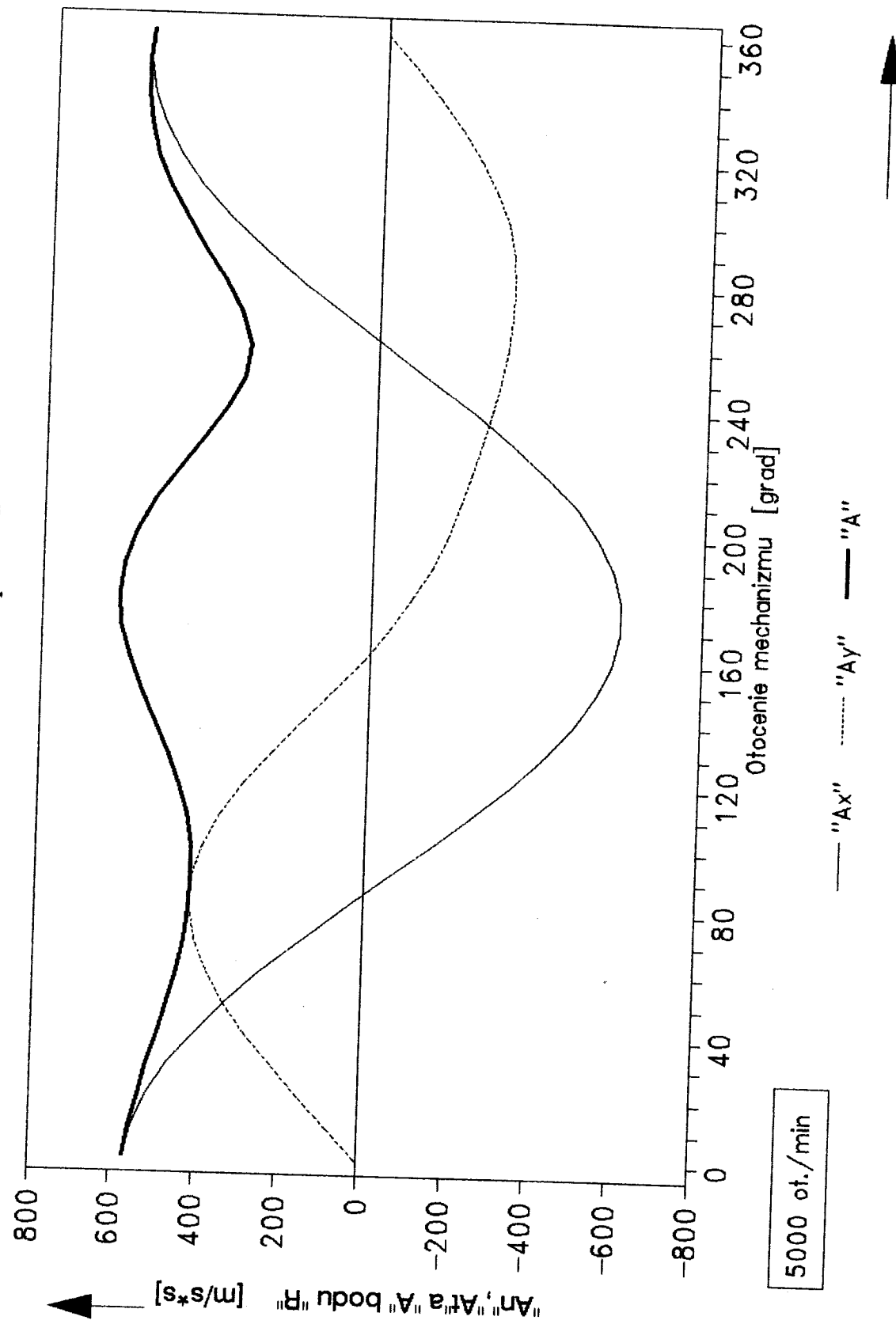
pootocenie mechan. [grad]	posunutie v ose "X" [mm]	posunutie v ose "Y" [mm]	zrychlenie "Ax" [m/s*s]	zrychlenie "Ay" [m/s*s]	zrychlenie "Ax" [m/s*s]	zrychlenie "Ay" [m/s*s]	rychlosť "Vx" [m/s]	rychlosť "Vy" [m/s]	vysledne zrychl. "A" [m/s*s]	vysledna rychl. "V" [m/s]
0	27.7	62.6	96.57	561.7	560.8	4.598	0.1266	-0.7202	569.8	0.7316
10	27.8	52.3	154.42	533.6	560.1	76.83	0.3158	-0.7067	555.5	0.7739
20	28	52.1	186.4	503.1	515.5	148.7	0.4936	-0.669	536.5	0.8314
30	28.1	51.8	195.1	478.5	466.7	217.5	0.6577	-0.6079	514.9	0.8956
40	28.4	51.8	186.53	456	404.5	280.4	0.8033	-0.5247	492.2	0.9504
50	28.7	51.5	161.8	441.6	330.3	334.8	0.926	-0.4219	470.3	1.018
60	29	51.4	128.1	432	245.5	377.9	1.022	-0.3027	450.6	1.066
70	29.4	51.3	87.13	425.8	152.3	407.1	1.089	-0.1715	434.7	1.102
80	29.7	51.3	40.83	421.7	53.04	420.3	1.123	-0.03312	423.7	1.124
90	30.1	51.3	-9.897	418.9	-4947	416	1.134	0.1068	419	1.129
100	30.5	51.3	-63.03	417.3	-152	393.7	1.08	0.2422	422	1.117
110	30.8	51.4	-116.8	418.1	-251.3	354	1.023	0.3673	434.1	1.067
120	31.2	51.6	-168.2	423.6	-343.7	299.3	0.9234	0.4766	456.8	1.039
130	31.4	51.7	-211.9	437.1	-426.1	233.2	0.7948	0.5666	485.7	0.9755
140	31.7	51.9	-240.2	452.1	-495.5	180.6	0.6408	0.6313	520.8	0.8905
150	31.9	52.2	-241.7	501	-549.4	88.76	0.4662	0.6725	556.3	0.8183
160	32	52.4	-202.6	550.3	-586.2	16.54	0.2764	0.6896	586.4	0.7429
170	32	52.6	-114	595.5	-804.5	46.20	0.07742	0.6844	606.3	0.6887
180	32	52.8	-13.95	611.8	-603.7	-99.73	-0.1245	0.6598	611.9	0.6714
190	32	53.1	142.7	683.9	-583.7	-143.6	-0.3229	0.6180	601.1	0.6901
200	31.8	53.3	232.9	524	-644.8	-179.1	-0.5115	0.565	573.4	0.7621
210	31.6	53.4	271	456.3	-488.1	-208.4	-0.6841	0.5003	530.7	0.8475
220	31.4	53.6	263.6	397	-415.3	-233.6	-0.8351	0.4265	476.5	0.9377
230	31.1	53.7	222.8	352.6	-328.9	-256.5	-0.9595	0.3448	417.1	1.02
240	30.7	53.8	160	324.6	-232	-277.7	-1.063	0.2557	361.9	1.084
250	30.4	53.9	94.74	312	-128.2	-296.8	-1.113	0.1590	323.3	1.125
260	30	53.9	5.348	313.3	-21.33	-312.6	-1.138	0.05817	313.3	1.14
270	29.6	53.9	-70.96	326.5	84.77	-323.2	-1.128	-0.04796	334.1	1.129
280	29.3	53.9	-137.8	349.8	186.4	-320.5	-1.062	-0.1566	376	1.094
290	28.9	53.8	-189.5	381.5	280.5	-320.7	-1.004	-0.2646	426	1.039
300	28.6	53.7	-220.9	420.1	364.2	-304.3	-0.8965	-0.3691	474.6	0.9695
310	28.3	53.6	-227.3	466.2	435.5	-276.7	-0.7628	-0.4662	516	0.894
320	28.1	53.4	-204.8	507.6	493	-238	-0.6077	-0.5523	547.4	0.8212
330	27.9	53.2	-152	547.1	536.5	-188.8	-0.4358	-0.6237	567.8	0.7609
340	27.8	53	-74.13	572.8	562.6	-130.6	-0.2524	-0.6771	577.6	0.7227
350	27.7	52.8	14.77	577.5	574	-65.38	-0.06263	-0.71	577.7	0.7127
360	27.7	52.5	96.57	561.7	569.8	4.598	0.1265	-0.7202	569.8	0.7316

Zavislosti rychloseti "Vx", "Vy" a "V"
na pootoceni mechanizmu podavaan



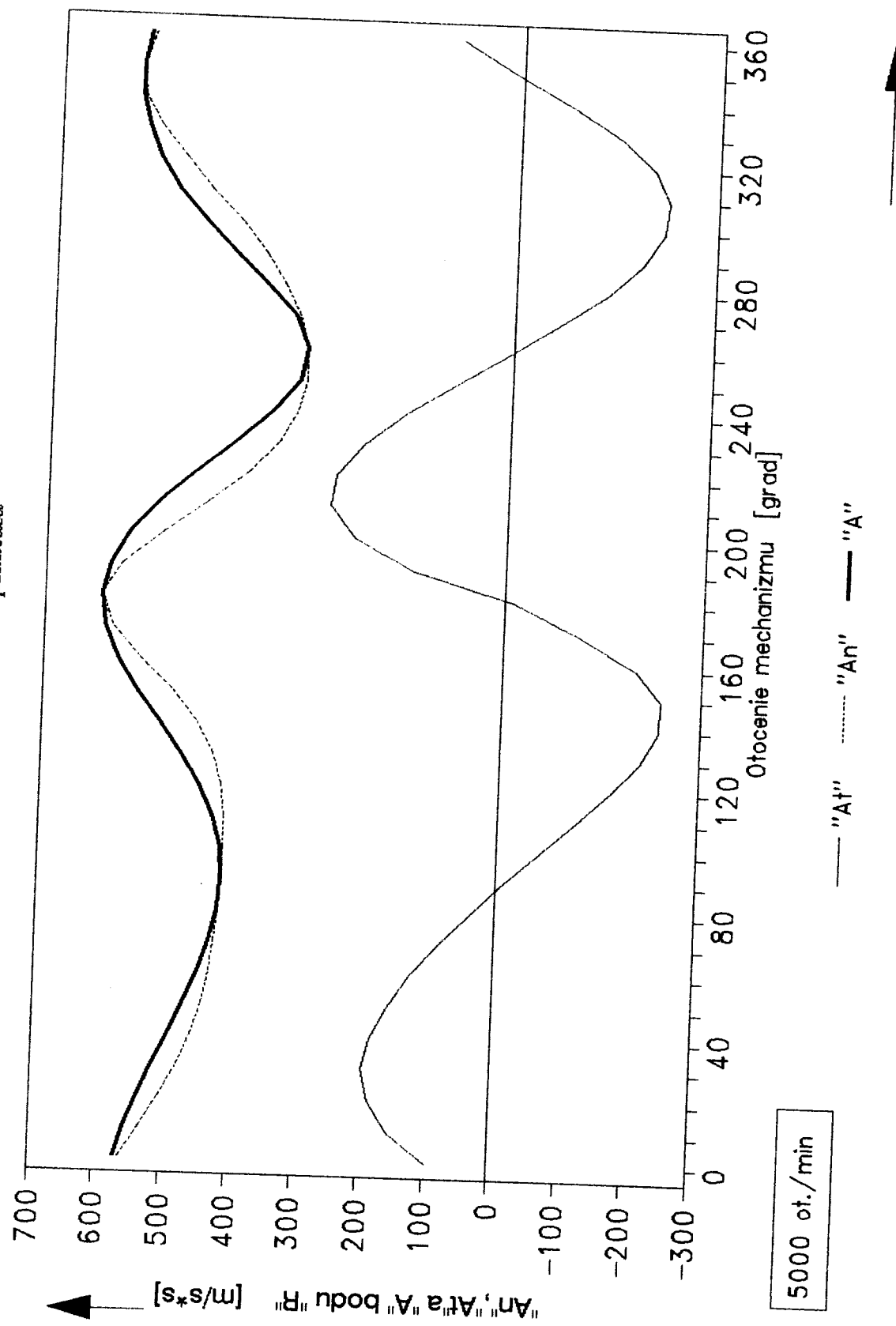
Zavislosti zrychlení "Ax", "Ay" a "A"
na polohu mechanizmu podvacia

graf č.: 7.14.



Zanislosti zrychlení "An", "At" a "A"
na pootočení mechanizmu podstavca

graf č.: 7.15.



mechanizmov, (1.mech. člen 1-2-3-4, 2.mech. člen 1-5-6-7)
a z jedného päťčlenného mechanizmu (3.mech. člen 1-8-9-10-11).

Riešenie mechanizmu č.1:

$$x: l_3 \cos(\gamma_1) - l_4 \cos(\psi_1) = x_4 - l_2 \cos(\varphi_1)$$

$$y: l_3 \sin(\gamma_1) - l_4 \sin(\psi_1) = y_4 - l_2 \sin(\varphi_1)$$

$$D_x = -(x_4 - l_2 \cos(\varphi_1))$$

$$D_y = -(y_4 - l_2 \sin(\varphi_1))$$

$$D^2 = D_x^2 + D_y^2$$

po dosadení dostanem nasledujúce rovnice:

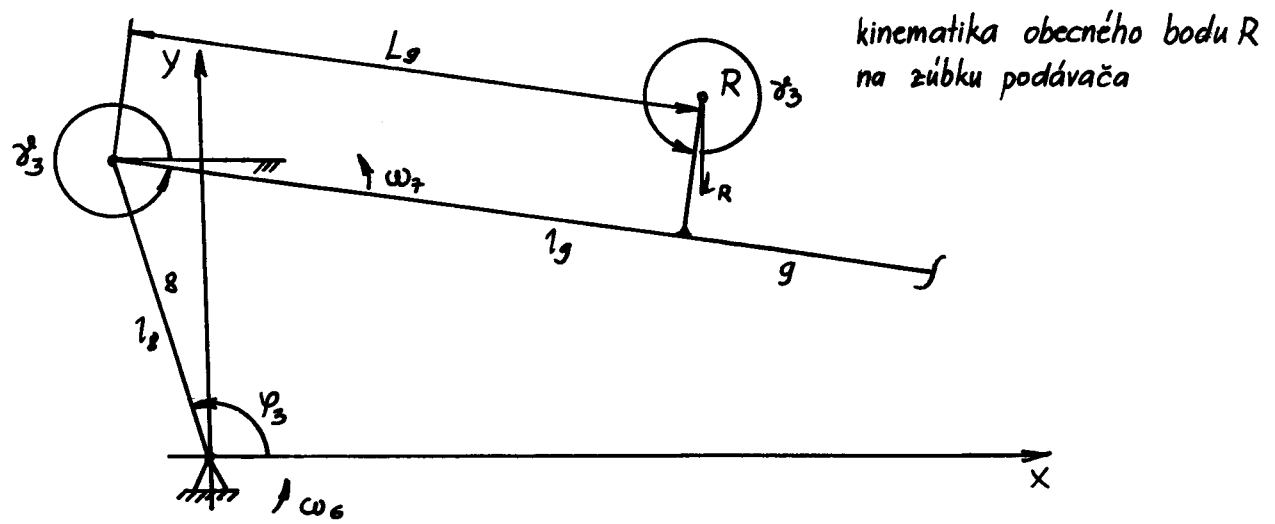
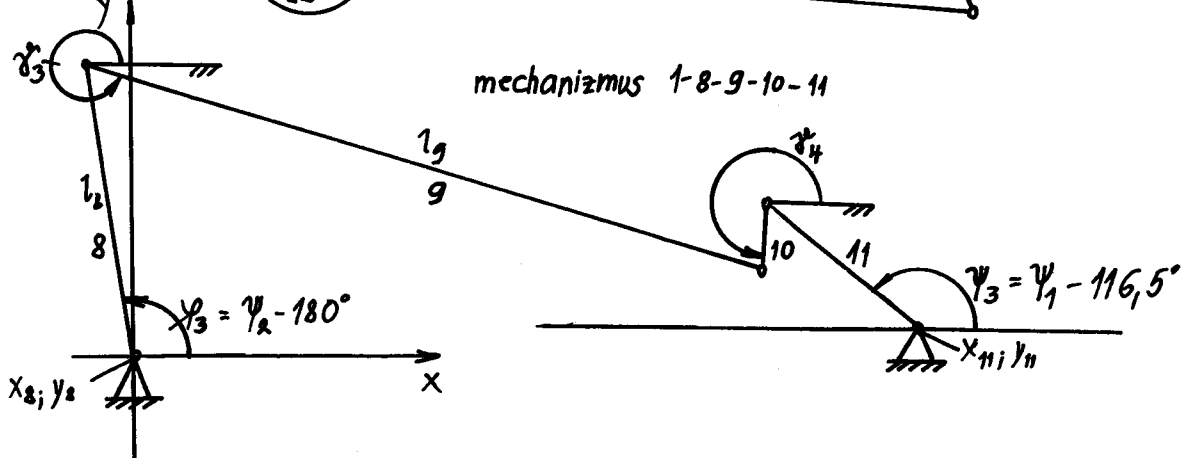
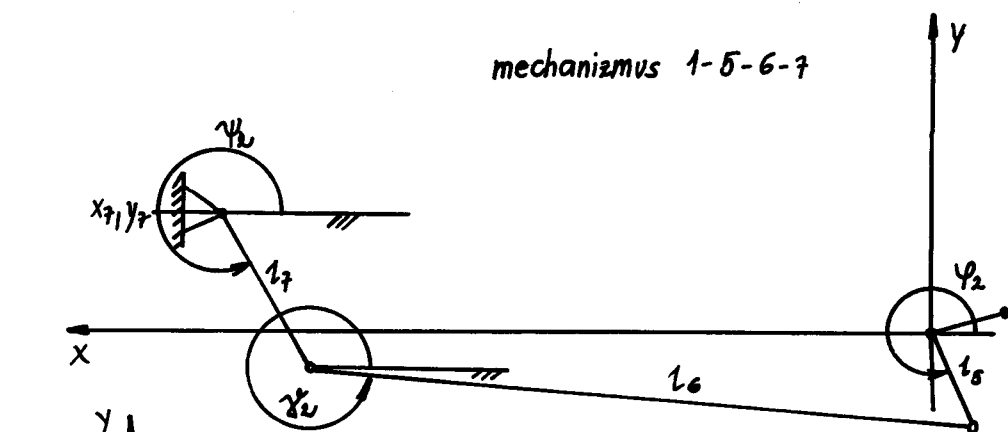
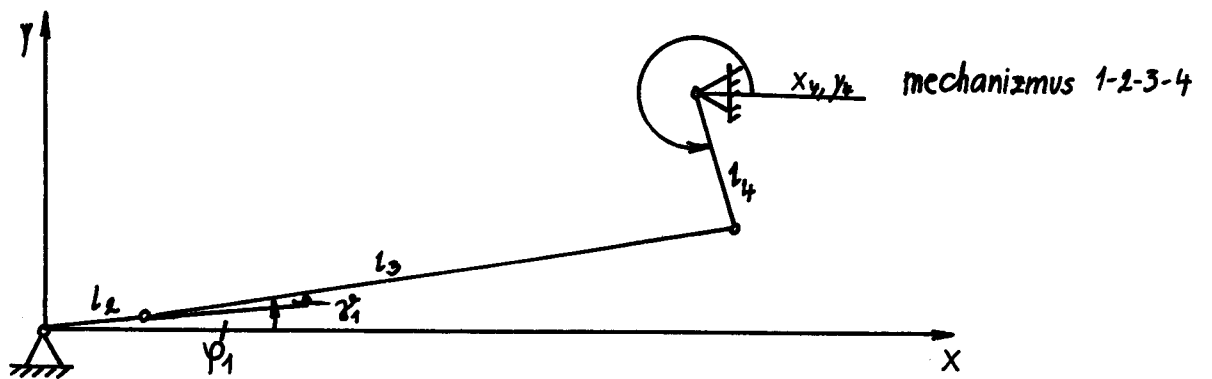
$$x: l_3 \cos(\gamma_1) - l_4 \cos(\psi_1) = -D_x$$

$$y: l_3 \sin(\gamma_1) - l_4 \sin(\psi_1) = -D_y$$

v rovniciach mám dve neznáme, úhly γ_1 a ψ_1 , po úprave
dostanem nasledovné vzťahy:

$$\sin(\psi_{1,2}) = \frac{D_y G_1 \mp D_x \sqrt{D^2 - G_1^2}}{D^2}$$

$$\cos(\psi_{1,2}) = \frac{D_x G_1 \mp D_y \sqrt{D^2 - G_1^2}}{D^2}$$



kde,

$$G_1 = \frac{D^2 + l_4^2 - l_3^2}{2l_4} \quad /7.5./$$

$$\sin(\gamma_1) = \frac{D_y G_2 \mp D_x \sqrt{D^2 - G_2^2}}{D^2} \quad /7.6./$$

$$\cos(\gamma_1) = \frac{D_x G_2 \mp D_y \sqrt{D^2 - G_2^2}}{D^2} \quad /7.7./$$

kde,

$$G_2 = \frac{D^2 + l_4^2 - l_3^2}{2l_3} \quad /7.7./$$

Po derivácii rovnic $\langle 7.4 \rangle$ dostanem uhlové rýchlosťi ω_2 , ω_3

$$-l_3 \omega_2 \sin(\gamma_1) + l_4 \omega_3 \sin(\psi_1) = -v_x \quad /7.8./$$

$$l_3 \omega_2 \cos(\gamma_1) - l_4 \omega_3 \cos(\psi_1) = -v_y$$

$$v_x = -l_2 \omega_1 \sin(\varphi_1) \quad /7.9./$$

$$v_y = l_2 \omega_1 \cos(\varphi_1)$$

Predpokladam, že uhlová rýchlosť $\omega_1 = \text{konst.}$ a preto jej druhá derivácia sa bude rovnať nule.

Po úprave dostanem nasledovné vzťahy :

$$\omega_2 = \frac{1}{G_v} (v_y l_4 \sin(\psi_1) + v_x l_4 \cos(\psi_1)) \quad /7.10./$$

$$\omega_3 = \frac{1}{G} (v_y l_3 \sin(\gamma_1) + v_x l_3 \cos(\gamma_1))$$

kde,

$$G_v = l_3 l_4 (\cos(\psi_1) \sin(\gamma_1) - \sin(\psi_1) \cos(\gamma_1))$$

/7. 11. /

Druhá derivácia rovníc /7. 1. / určí výpočtové vzťahy pre uhlové zrychlenia ε_2 a ε_3 .

$$\begin{aligned} -l_3 \omega_2^2 \sin(\gamma_1) - l_3 \varepsilon_2 \cos(\gamma_1) + l_4 \omega_3^2 \sin(\psi_1) + l_4 \varepsilon_3 \cos(\psi_1) &= -a_x \\ l_3 \omega_2^2 \cos(\gamma_1) - l_3 \varepsilon_2 \sin(\gamma_1) - l_4 \omega_3^2 \cos(\psi_1) + l_4 \varepsilon_3 \sin(\psi_1) &= -a_y \end{aligned}$$

/7. 12. /

$$a_x = - (l_2 \omega_1^2 \sin(\varphi_1))$$

/7. 13. /

$$a_y = l_2 \omega_1^2 \cos(\varphi_1)$$

Po úprave dostanem nasledovné vzťahy :

$$\varepsilon_2 = \frac{1}{G_v} (A_{px} l_4 \cos(\psi_1) - A_{py} l_4 \sin(\psi_1))$$

/7. 14. /

$$\varepsilon_3 = \frac{1}{G_v} (A_{px} l_3 \cos(\gamma_1) - A_{py} l_3 \sin(\gamma_1))$$

kde,

$$A_{px} = l_2 \omega_1^2 \cos(\varphi_1) + l_3 \omega_2^2 \cos(\gamma_1) - l_4 \omega_3^2 \cos(\psi_1)$$

/7. 15. /

$$A_{py} = l_2 \omega_1^2 \sin(\varphi_1) - l_3 \omega_2^2 \sin(\gamma_1) - l_4 \omega_3^2 \sin(\psi_1)$$

Riešenie pre mechanizmus č. : 2 (člen 1-5-6-7):

$$\begin{aligned} x: \quad l_6 \cos(\gamma_2) + l_7 \cos(\psi_2) &= x_7 + l_5 \cos(\varphi_2) \\ y: \quad -l_6 \sin(\gamma_2) - l_7 \sin(\psi_2) &= y_7 - l_5 \sin(\varphi_1) \end{aligned}$$

/7. 16. /

$$D_x = -(x_7 + l_5 \cos(\varphi_1))$$

/7. 17. /

$$D_y = -(y_7 - l_5 \sin(\varphi_1))$$

$$D^2 = D_x^2 + D_y^2$$

po dosadení dostanem nasledujúce rovnice:

$$x: \quad l_6 \cos(\gamma_2) + l_7 \cos(\psi_2) = -D_x$$

/7. 18. /

$$y: \quad -l_6 \sin(\gamma_2) - l_7 \sin(\psi_2) = -D_y$$

v rovnicach mám dve neznáme, úhly γ_2 a ψ_2 , po úprave dostanem nasledovné vzťahy:

$$\sin(\psi_{2_{1,2}}) = \frac{D_y G_3 \mp D_x \sqrt{D^2 - G_3^2}}{D^2}$$

/7. 19. /

$$\cos(\psi_{2_{1,2}}) = \frac{-D_x G_3 \mp D_y \sqrt{D^2 - G_3^2}}{D^2}$$

kde,

$$G_3 = \frac{D^2 + l_7^2 - l_6^2}{2l_7}$$

/7. 20. /

$$\sin(\gamma_{2_{1,2}}) = \frac{D_y G_4 \mp D_x \sqrt{D^2 - G_4^2}}{D^2} \quad /7.21./$$

$$\cos(\gamma_{2_{1,2}}) = \frac{-D_x G_4 \mp D_y \sqrt{D^2 - G_4^2}}{D^2} \quad /7.21./$$

kde,

$$G_4 = \frac{D^2 + l_6^2 - l_7^2}{2l_6} \quad /7.22./$$

Po derivácii rovnic $/7.16./$ dostanem uhlové rýchlosťi ω_4, ω_5

$$l_6 \omega_4 \sin(\gamma_2) - l_7 \omega_5 \sin(\psi_2) = -v_x \quad /7.23./$$

$$\underline{-l_6 \omega_4 \cos(\gamma_2) - l_7 \omega_5 \cos(\psi_2) = -v_y}$$

$$v_x = l_5 \omega_4 \sin(\phi_2) \quad /7.24./$$

$$v_y = l_5 \omega_4 \cos(\phi_2)$$

Predpokladam, že uhlová rychlosť $\omega_4 = \text{konst.}$ a preto jej druhá derivácia sa bude rovnať nule.

Po úprave dostanem nasledovné vzťahy:

$$\omega_4 = \frac{1}{G_v} (-v_y l_7 \sin(\psi_2) + v_x l_6 \cos(\psi_2)) \quad /7.25./$$

$$\omega_5 = \frac{1}{G_v} (v_y l_6 \sin(\gamma_2) - v_x l_6 \cos(\gamma_2))$$

kde,

$$G_v = l_7 l_6 (\cos(\psi_2) \sin(\gamma_2) - \sin(\psi_2) \cos(\gamma_2)) \quad /7.26./$$

Druhá derivácia rovníc /7.16./ určí výpočtové vzťahy pre uhlové zrychlenia ε_4 a ε_5 .

$$-1_6 \omega_4^2 \sin(\gamma_2) - 1_6 \varepsilon_4 \cos(\gamma_2) - 1_7 \omega_5^2 \sin(\psi_2) - 1_7 \varepsilon_5 \cos(\psi_2) = -a_x$$

$$-1_6 \omega_4^2 \cos(\gamma_2) + 1_6 \varepsilon_4 \sin(\gamma_2) - 1_7 \omega_5^2 \cos(\psi_2) + 1_7 \varepsilon_5 \sin(\psi_2) = -a_y$$

$$a_x = - (1_5 \omega_1^2 \sin(\varphi_2))$$

/7.27./

$$a_y = - (1_5 \omega_1^2 \cos(\varphi_2))$$

/7.28./

Po úprave dostanem nasledovné vzťahy :

$$\varepsilon_4 = - \frac{1}{G_v} (A_{px} 1_7 \cos(\psi_2) - A_{py} 1_7 \sin(\psi_2))$$

/6.29./

$$\varepsilon_5 = - \frac{1}{G_v} (A_{px} 1_6 \cos(\gamma_2) - A_{py} 1_6 \sin(\gamma_2))$$

kde,

$$A_{px} = - 1_5 \omega_1^2 \cos(\varphi_2) + 1_6 \omega_4^2 \cos(\gamma_2) + 1_7 \omega_5^2 \cos(\psi_2)$$

/7.30./

$$A_{py} = - 1_5 \omega_1^2 \sin(\varphi_2) + 1_6 \omega_4^2 \sin(\gamma_2) + 1_7 \omega_5^2 \sin(\psi_2)$$

Riešenie pre mechanizmus č.: 3 (člen 1-8-9-10-11)

$$\begin{aligned} x: \quad l_9 \cos(\gamma_3) - l_{10} \cos(\gamma_4) &= x_{11} + l_{11} \cos(\psi_3) - l_8 \cos(\varphi_3) \\ y: \quad -l_9 \sin(\gamma_3) + l_{10} \sin(\gamma_4) &= -y_{11} - l_{11} \sin(\psi_3) + l_8 \sin(\varphi_3) \end{aligned}$$

/7. 31. /

$$D_x = -(x_{11} - l_8 \cos(\varphi_3) + l_{11} \cos(\psi_3))$$

/7. 32. /

$$D_y = -(-y_{11} + l_8 \sin(\varphi_3) - l_{11} \sin(\psi_3))$$

$$D^2 = D_x^2 + D_y^2$$

po dosadení dostanem nasledujúce rovnice:

$$x: \quad l_9 \cos(\gamma_3) + l_{10} \cos(\gamma_4) = -D_x$$

/7. 33. /

$$y: \quad -l_9 \sin(\gamma_3) + l_{10} \sin(\gamma_4) = -D_y$$

v rovniciach mám dve neznáme, úhly γ_3 a γ_4 , po úprave dostanem nasledovné vzťahy:

$$\sin(\gamma_{3,1,2}) = \frac{D_y G_5 \mp D_x \sqrt{D^2 - G_5^2}}{D^2}$$

/7. 34. /

$$\cos(\gamma_{3,1,2}) = \frac{-D_x G_5 \mp D_y \sqrt{D^2 - G_5^2}}{D^2}$$

kde,

$$G_5 = \frac{D^2 + l_9^2 - l_{10}^2}{2l_{10}}$$

/7. 35. /

$$\sin(\gamma_{4_{1,2}}) = \frac{-D_y G_6 \mp D_x \sqrt{D^2 - G_6^2}}{D^2}$$

/7. 36./

$$\cos(\gamma_{4_{1,2}}) = \frac{D_x G_6 \mp D_y \sqrt{D^2 - G_6^2}}{D^2}$$

kde,

$$G_6 = \frac{D^2 + l_{10}^2 - l_9^2}{2l_{10}}$$

/6. 37./

Po derivácii rovnic /7. 31./ dostanem uhlové rýchlosťi ω_6 , ω_7

$$-l_9 \omega_6 \sin(\gamma_3) + l_{10} \omega_7 \sin(\gamma_4) = -v_x$$

/7. 38./

$$-l_9 \omega_6 \cos(\gamma_3) + l_{10} \omega_7 \cos(\gamma_4) = -v_y$$

$$v_x = l_9 \omega_5 \sin(\varphi_3) + l_{11} \omega_3 \sin(\psi_3)$$

/7. 39/

$$v_y = -l_9 \omega_5 \cos(\varphi_3) - l_{11} \omega_3 \cos(\psi_3)$$

Predpokladam, že uhlové rýchlosťi ω_3 a ω_5 = konst. a preto jej druhá derivácia sa bude rovnati nule.

Po úprave dostanem nasledovné vzťahy :

$$\omega_6 = \frac{1}{G_v} (-v_y l_{10} \sin(\gamma_4) + v_x l_{10} \cos(\gamma_4))$$

/7. 40./

$$\omega_7 = \frac{1}{G_v} (-v_y l_9 \sin(\gamma_3) + v_x l_9 \cos(\gamma_3))$$

kde,

$$G_v = l_{10} l_9 (\cos(\gamma_4) \sin(\gamma_3) - \sin(\gamma_4) \cos(\gamma_3))$$

/7. 41./

Druhá derivácia rovnic /7. 31./ určí výpočtové vzťahy pre uhlové zrychlenia ε_6 a ε_7 .

$$-1_9 \omega_6^2 \sin(\gamma_3) - 1_9 \varepsilon_6 \cos(\gamma_3) + 1_{10} \omega_7^2 \sin(\gamma_4) + 1_{10} \varepsilon_7 \cos(\gamma_4) = -a_x$$

$$-1_9 \omega_6^2 \cos(\gamma_3) + 1_9 \varepsilon_6 \sin(\gamma_3) + 1_{10} \omega_7^2 \cos(\gamma_4) - 1_{10} \varepsilon_7 \sin(\gamma_4) = -a_y$$

/7. 42./

$$a_x = -(-1_8 \omega_5^2 \sin(\varphi_3) + 1_{11} \omega_3^2 \sin(\psi_3))$$

/7. 43./

$$a_y = -(1_8 \omega_5^2 \cos(\varphi_3) - 1_{11} \omega_3^2 \cos(\psi_3))$$

Po úprave dostanem nasledovné vzťahy :

$$\varepsilon_6 = \frac{1}{G_v} (A_{px} 1_{10} \cos(\gamma_4) - A_{py} 1_{10} \sin(\gamma_4))$$

/7. 44./

$$\varepsilon_7 = \frac{1}{G_v} (A_{px} 1_9 \cos(\gamma_3) - A_{py} 1_9 \sin(\gamma_3))$$

kde,

$$A_{px} = -1_{10} \omega_7^2 \cos(\gamma_4) + 1_9 \omega_6^2 \cos(\gamma_3) - 1_{11} \omega_3^2 \cos(\psi_3) + 1_8 \omega_5^2 \cos(\varphi_3)$$

/7. 45./

$$A_{py} = -1_{10} \omega_7^2 \sin(\gamma_4) + 1_9 \omega_6^2 \sin(\gamma_3) + 1_{11} \omega_3^2 \sin(\psi_3) + 1_8 \omega_5^2 \sin(\varphi_3)$$

Kinematika obecného bodu R na zube podávača:

Nasledujúcimi rovnicami môžem popísať dráhu obecného bodu R

$$\begin{aligned}x_R &= L_9 \cos(\gamma_3) + l_s \cos(\varphi_3) - l_R \sin(\gamma_3) && /7.46. / \\y_R &= L_9 \sin(\gamma_3) + l_s \sin(\varphi_3) + l_R \cos(\gamma_3)\end{aligned}$$

Po derivácii rovnic /7.46./ dostanem rýchlosť bodu R v_{xR} a v_{yR} :

$$\begin{aligned}v_{xR} &= -L_9 \omega_6 \sin(\gamma_3) - l_s \omega_3 \sin(\varphi_3) - l_R \omega_6 \cos(\gamma_3) && /7.47. / \\v_{yR} &= L_9 \omega_6 \cos(\gamma_3) - l_s \omega_3 \cos(\varphi_3) - l_R \omega_6 \sin(\gamma_3)\end{aligned}$$

Druhá derivácia rovnic /7.46./ mi udáva zrychlenie bodu R a a_{xR} a a_{yR} :

$$\begin{aligned}a_{xR} &= -L_9 \omega_6^2 \sin(\gamma_3) - L_9 \varepsilon_6 \cos(\gamma_3) - l_s \omega_3^2 \sin(\varphi_3) - l_s \varepsilon_3 \cos(\varphi_3) \\&\quad - l_R \omega_6^2 \cos(\gamma_3) + l_R \varepsilon_6 \sin(\gamma_3) && /7.48. / \\a_{yR} &= L_9 \omega_6^2 \cos(\gamma_3) - L_9 \varepsilon_6 \sin(\gamma_3) + l_s \omega_3^2 \cos(\varphi_3) - l_s \varepsilon_3 \sin(\varphi_3) \\&\quad - l_R \omega_6^2 \sin(\gamma_3) - l_R \varepsilon_6 \cos(\gamma_3)\end{aligned}$$

8. Meranie na šijacom stroji MINERVA 72112-101

V rámci diplomovej práce som previedol meranie na priemyselnom šijacom stroji MINERVA 72112, ktorú nám zapožičala katedra odevníctva.

Na stroji som urobil merania dvoch základných veličín, podľa ktorých viem posúdiť kvalitu ako podávacieho, tak i prítlačného mechanizmu.

Merania sa týkali:

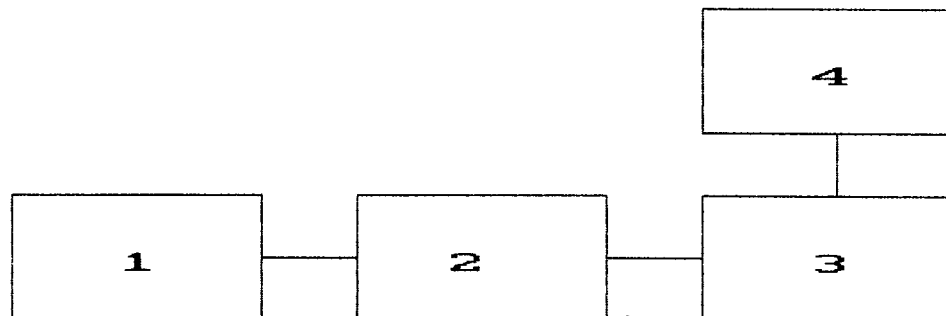
1. kinematických veličín a to zrychleniam podávacieho mechanizmu,
2. zdvihu pátky u prítlačného mechanizmu.

Zapožičaný stroj bol vybavený so stopmotorom nemeckej firmy Quick, ktorý mi umožnil presné nastavenie žiadanych otáčok.

8.1 Popis merania zrýchlenia podávacieho mechanizmu

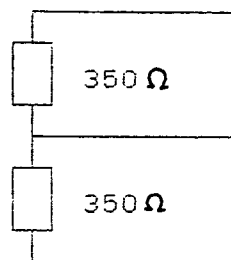
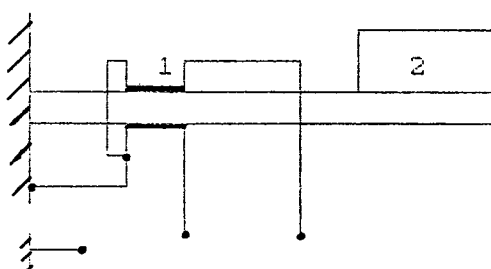
MINERVA 72112-101

Schéma zapojenia:



1. Snímač zrychlenia BWH 301
2. Zosilovač tenzometrického mostíka (výrobok KTS)
3. Pamäťový osciloskop TEKNOTRONIX typ 2230
4. Súradnicový zapisovač ARITMA BAK 5T

Schema snímača zrýchlenia:



polomostík

1. Snímače
2. Seismická hmota

Vlastnosti meracích prístrojov:

Meraci rozsah snímača podľa údajov výrobcu:

BWH 301 0.022 $\frac{\text{mV}}{\text{V}}$
 $\frac{\text{ms}^2}{}$

Frekvenčny rozsah :

BWH 301 120 Hz

Citlivosť snímača zrýchlenia :

BWH 301 0.25 mV/ms^2 pre použité napájacie napätie
mostíka (5V)

Zosilovač je polovodičový, využívajúci hybridného presného operačného zosilovača TESLA WSH S26B.

Pamäťový osciloskop TEKNOTRONIX pracuje na princípe digitalizácie vstupného signálu a následného zápisu digitalizovaných vzorkov do pamäte. Vzorkovanie zaistujúce rozlíšenie v smere osi Y 8 bitov /t.j. 256 úrovní/, v smere osi X 10 bitov /t.j. 1024 úrovní/.

Zapisovač BAK 5T je k osciloskopu pripojený prostredníctvom analógového výstupu /INTERFACE/. Meranie bolo prevedené ako v horizontálnom, tak i vo vertikálnom smere.

Výsledky merania:

Výsledky sú znázornené v prilobe č.:1.

Vyhodnotenie a grafické znázornenie nameraných veličín sú uvádzané v tabuľke č.:8.1. a v grafoch č.:8.1.az 8..

8.2. Vyhodnotenie merania zrýchlenia podávacieho mechanizmu MINERVA 72112-101 a porovnanie s vypočítanými hodnotami

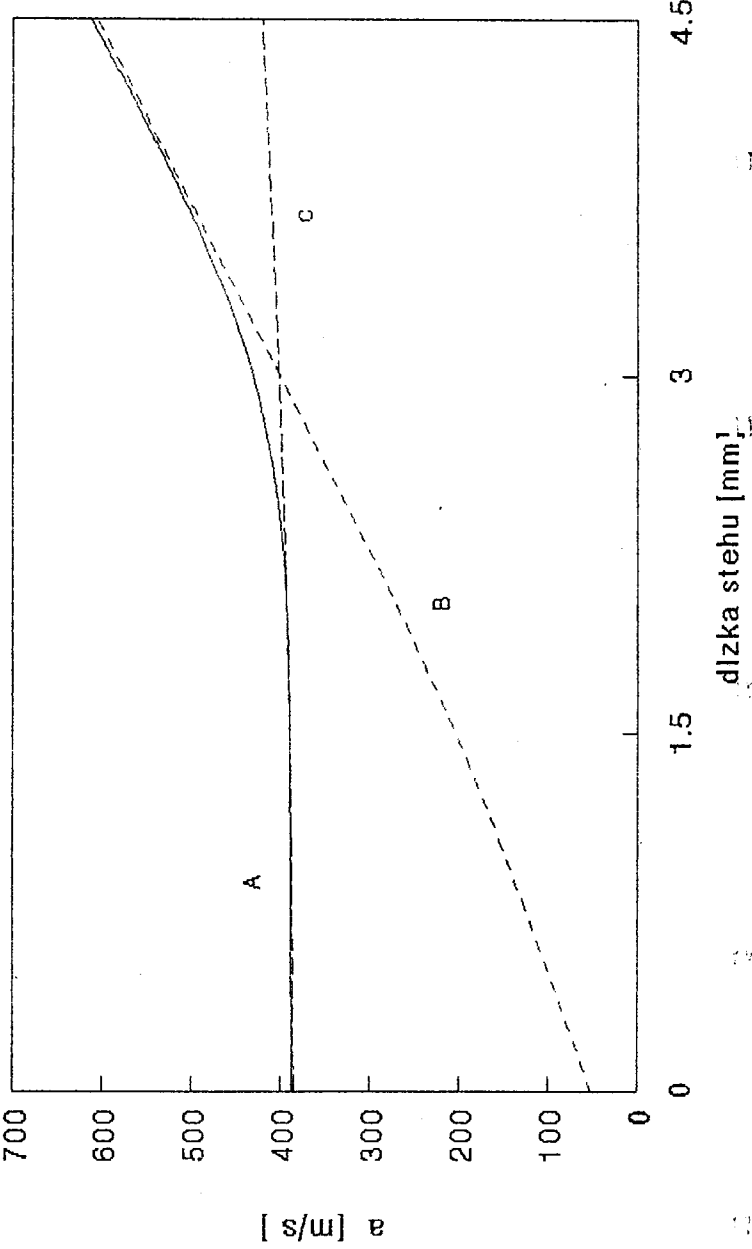
Fri merani som sa snažil zabezpečiť ideálne podmienky pre šitie, aby som s meracimi prístrojmi a snímačom neovplyvnil stehotvorný proces na Šijacom stroji a tým i namerané hodnoty zrýchlenia.

Namerané hodnoty porovnaním s vypočítanými hodnotami sú väčšie o dva až dva a pol krát. Tento jav sa dá vysvetliť jedine tým, že kym pri výpočtu sa počíta len s ideálnymi podmienkami, teda bez vôle, trenia, atd., v skutočnosti sa

MAXIMALNE ZRYCHLENIE PODAVACA STROJA MINERVA 72112 105Q

GRAF. č. 8.1.

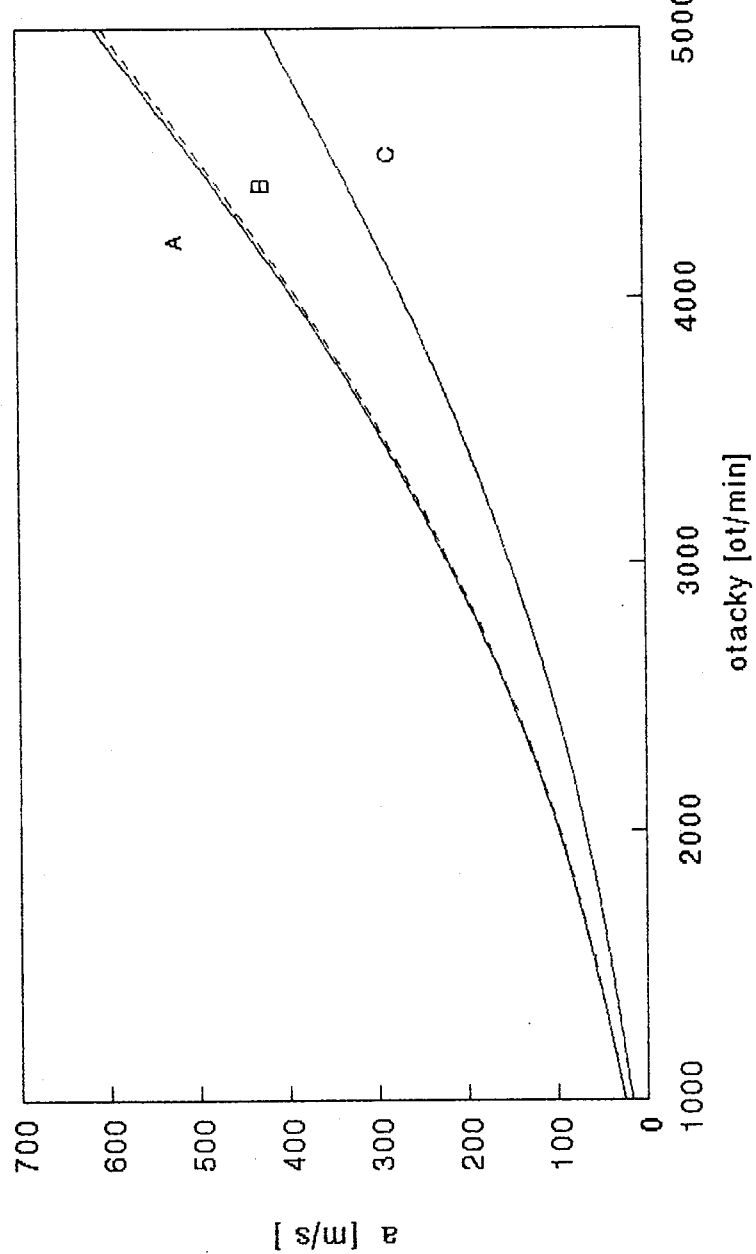
5000 ot/min
A - a vysledne B - a vose x C - a vose y



MAXIMALNE ZRYCZHENIE PODAVACA STROJA MINERVA 72112 105Q

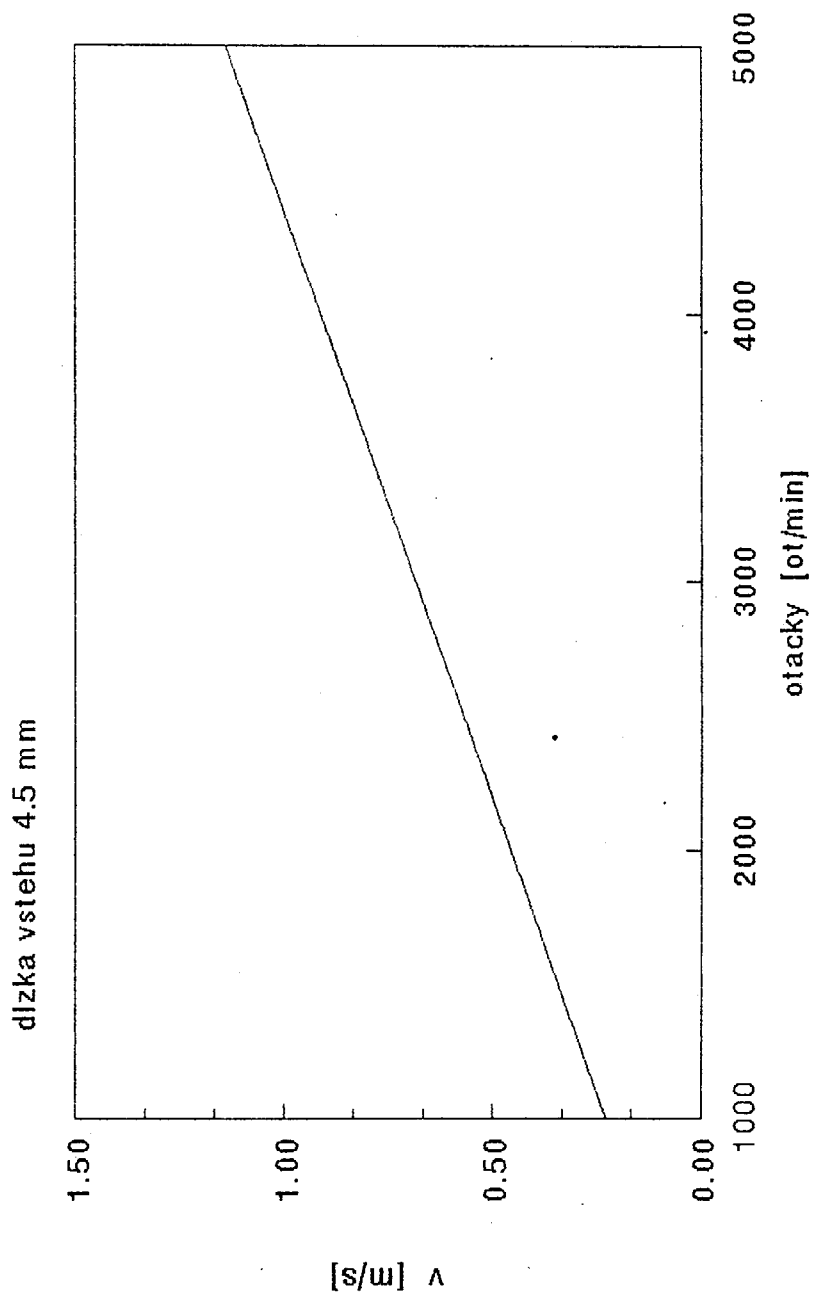
dĺžka stehu 4,5 mm

A- a výsledné B- a vose x C- a vose y



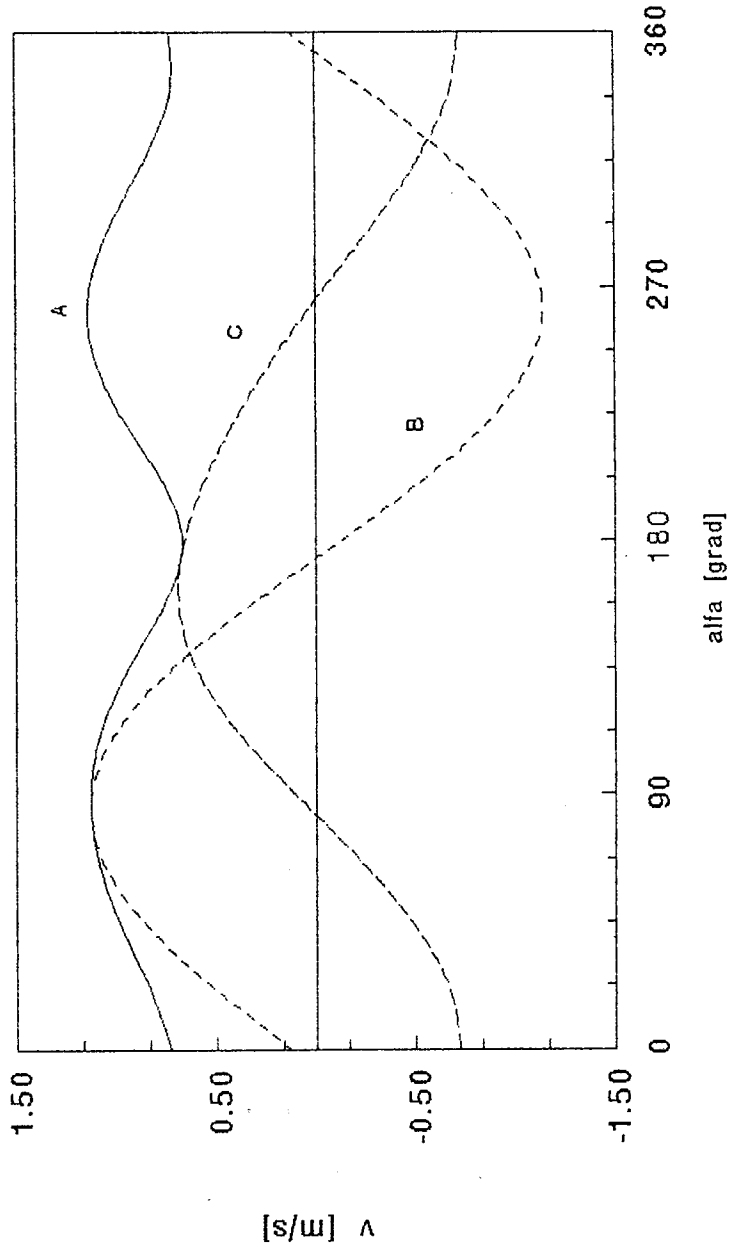
**MAXIMALNA RYCHLOST PODAVACA
STROJA MINERVA 72112 105Q**

GRAFČ. 8.3.



RYCHLOST PODAVACA
STROJA MINERVA 72112105Q
5000 ot/min
dlzka stehu 4.5 mm
A- vysledna B- v vose x C- v vose y

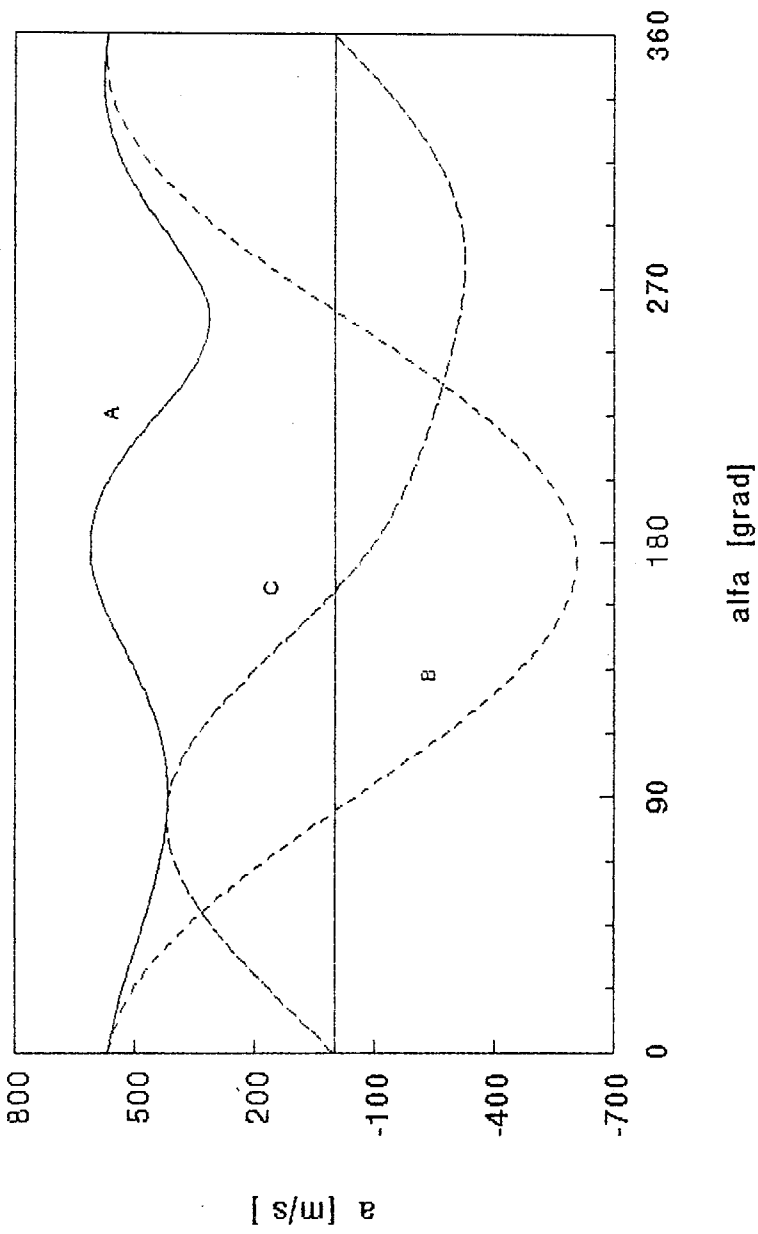
GRAF 8.4.



ZRYCHLENIE PODAVACA
STROJA MINERVA 72112105Q

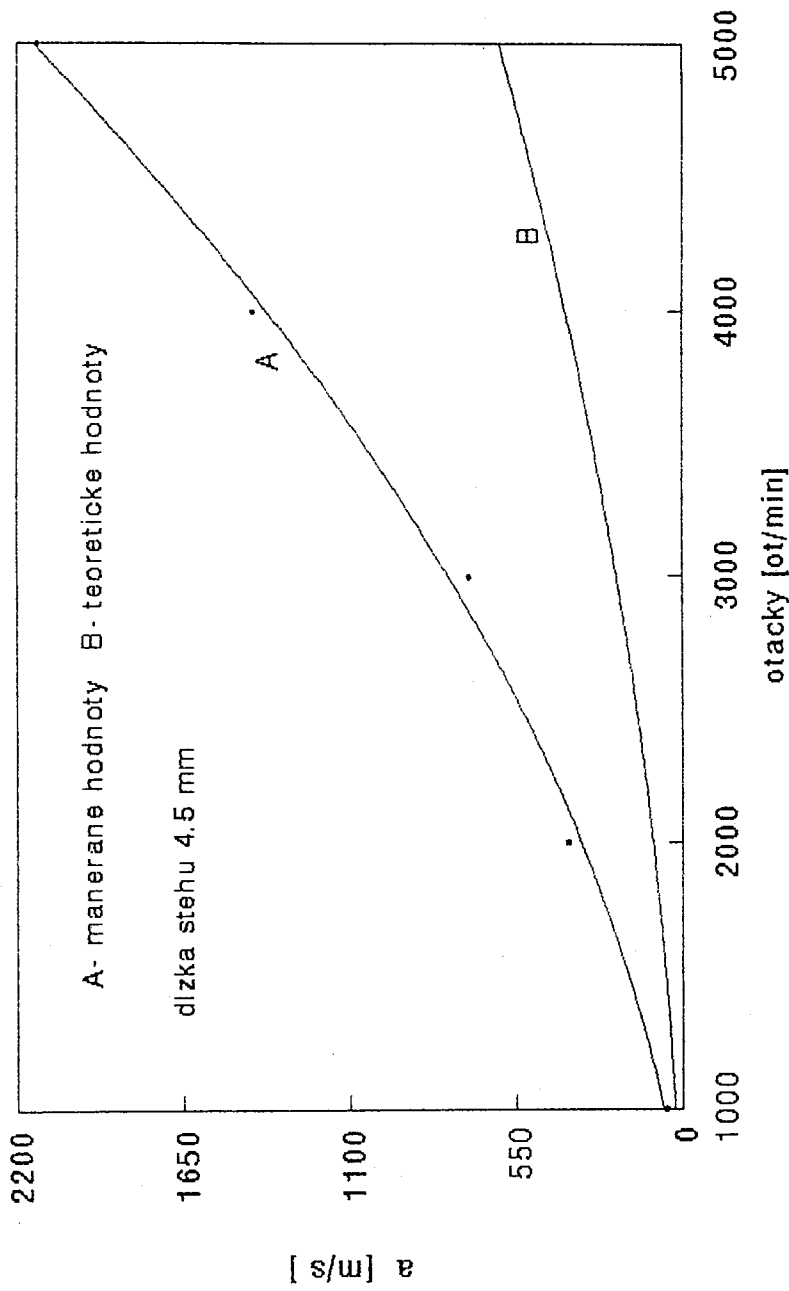
5000 ot/min dĺžka stehu 4.5 mm

A- a vysledne B- a vose x C- a vose y



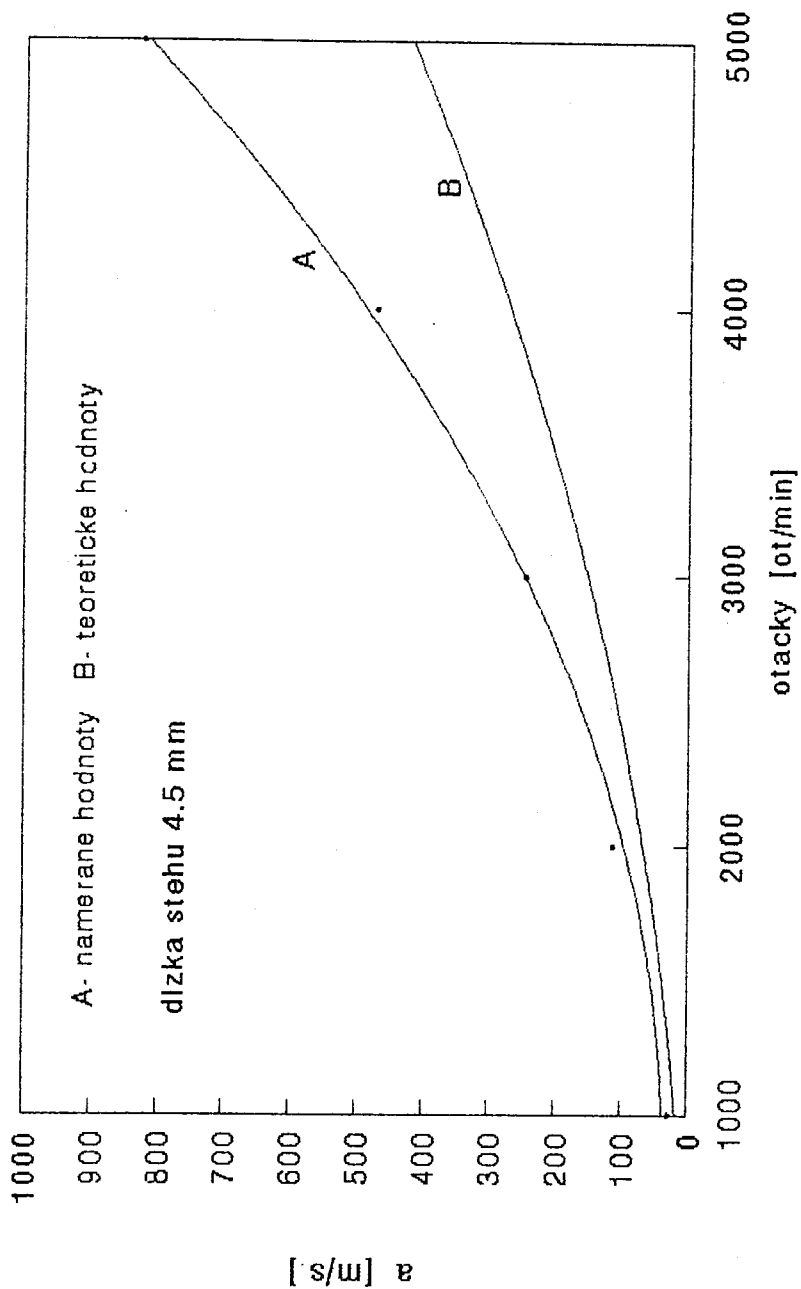
POROVNANIE ZRYCHLENÍ V OSÉ X
PODAVACA STROJA MINERVA 72112105Q

GRAF č. 2.6.



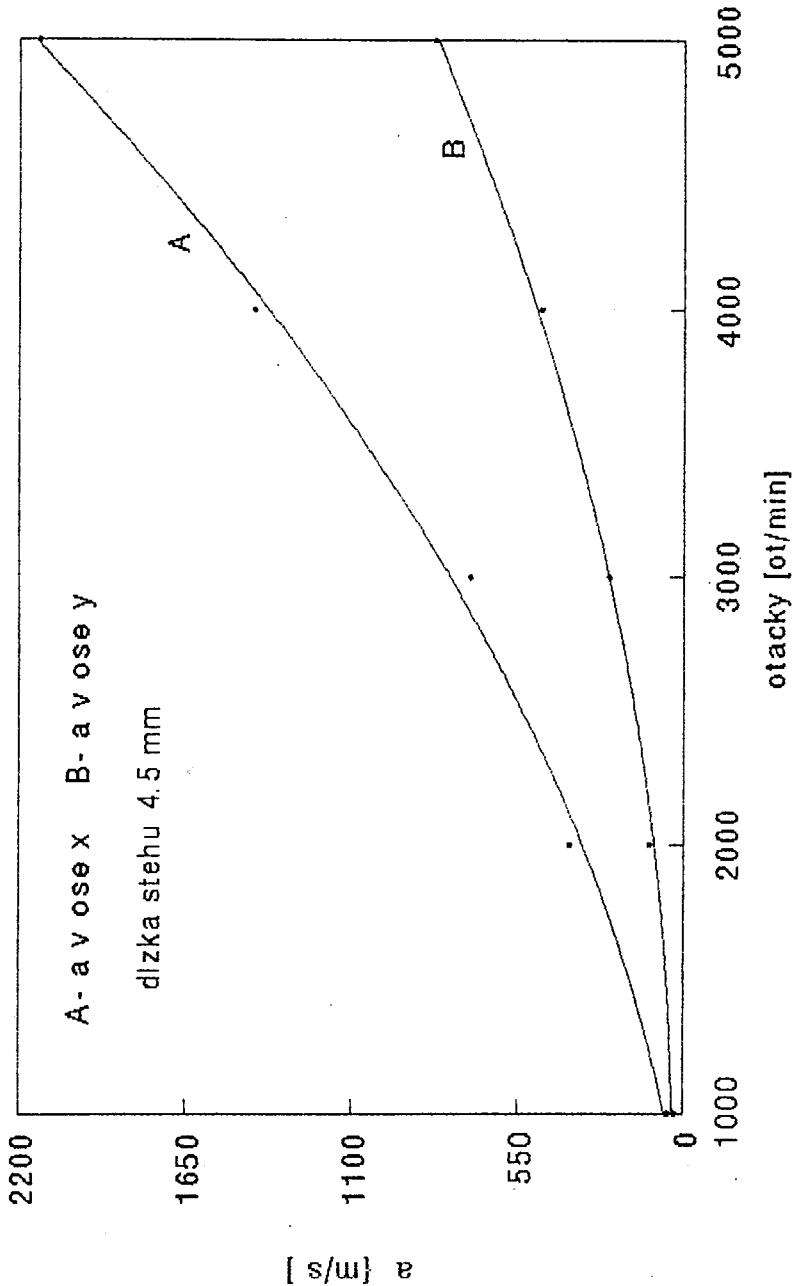
GRAF č. 2.7.

POROVNANIE ZRYCHLENÍ V OSÉ Y PODAVACA STROJA 72112 105Q



GRAF č. p.p.

NAMERANE HODNOTY ZRÝCHLENIA
PODAVACA STROJA MINERVA 72112 105Q



všetky tieto javy prejavujú a pri konštrukcii s nimi treba počítať a zahrnúť ich do bezpečnostných výpočtov.

Šijaci stroj, na ktorom som meral je starší a opotrebovaný, so značnými vôľami.

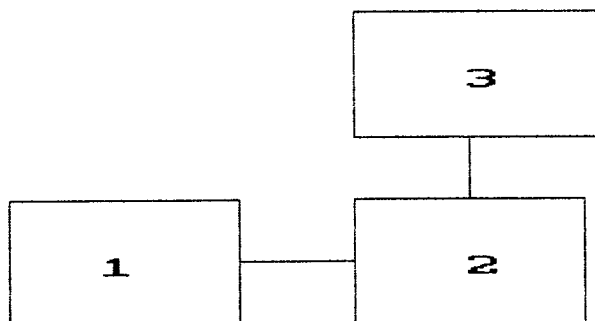
Vôle sú znázornené pri meraní na grafoch v podobe výrazných rázov a impulzov, ktoré sa na grafoch objavujú ako výrazné špičky.

Pri prepočte zrýchlení som bral do úvahy len ideálny sinusový priebeh a tým som sa snažil vylúčiť pôsobenie vôli a získať viero hodnejšie výsledky zrýchlení.

Meranie som previedol v rozmedzi otáčok od 1000 ot/min až do 5000 ot./min pri dĺžke stehu 4,5 mm. Najväčšie hodnoty zrýchlenia som dostal pri otáčkach 5000/min a najmenšie pri 1000 ot./min, čo znázorňuje graf č.: 8.1.-8.7. a tabuľka č.:

8.3 Meranie zdvihu pätky na šijacom stroji MINERVA 72112-101

Schéma zapojenia:

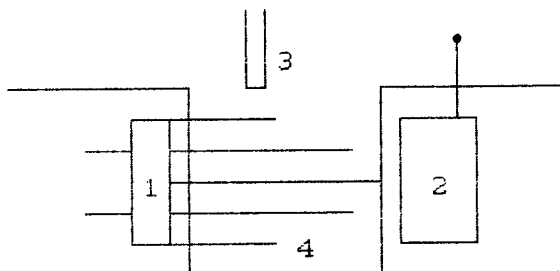


1,.....snímač zdvihu pätky

2,.....pamäťový osciloskop TEKTRONIX typ 2230

3,.....súradnicový zapisovač ARITMA BAK 5

Schéma zapojenia snímača:



1. Luminiscenčná dioda

2. Fotodióda 1PP75

3. Clonka

4. Infračervený lúč

Popis funkcie:

Infračervená luminiscenčná dióda, upevnená v kovovom držiaku osvetľuje kremíkovú fotodiódu 1 PP75. Vyclonený

svetelný zväzok je modulovaný článkou, upevnenou na pätku šijacieho stroja.

Článka je vyrobene z duralovej fólie a je prilepena na bočnu plochu pätky / jej hmotnosť je zanedbateľná proti hmotnosti pätky / .

Cejchovanie snímača bolo prevedené bezprostredne pred meraním, na šijacom stroji MINERVA 72112-101.

Registrácia signálu bola zaregistrovaná osciloskopom TECTRONIX 2230 a zapisovaná na súradnicovom zapisovači BAK 5T.

Výsledky merania:

Výsledky sú znázornené a vyhodnotené obdobne ako v predchádzajúcim prípade v prílohe č.:2. (graf č.:1. až 19.) v tabuľke č.:8.2. a v grafe č.:8.8.

8.4. Vyhodnotenie merania zdvihu pätky na šijacom stroji MINERVA 72112-101

Namerané veličiny odskoku môžeme bráť ako reálne a pravdivé, pretože nainštalované meracie zariadenie neovplyvnilo podmienky šijacieho procesu behom merania.

Hmotnosť nalepenej články na pätku stroja je oproti hmotnosti pritlačného mechanizmu zanedbateľná.

Porovnanie parametrov odskoku pritlačného mechanizmu môžeme vyhodnotiť z dvoch hľadišť:

1. Z hľadiska veľkosti pritlačnej sily
2. Z hľadiska počtu otáčok

Pri veľkom pritlaku a pomalých otáčkach (viz. graf č.:13-15 v prílohe č.:2) dostávame takmer ideálny sinusový priebeh, to znamená, že pritlačné zariadenie šijacieho stroja sa po zdvihu vráti do východiskovej polohy (na stehovú dosku) a umožňuje plynulé podávanie šitého materiálu. Tento stav sa udrží pri maximálnom pritlaku (v našom prípade 53 N) až do 4000 otáčok /min. Nad 4000 otáčok /min pritlačný mechanizmus po dopade na stehovú dosku dostane od podávacieho mechanizmu razantný náraz a pritlačný mechanizmus odskočí od stehovej dosky. Za túto dobu pritlačný mechanizmus nesplňuje správne svoju funkciu a preto môže dôjsť k chybám pri stehotvornom procese, alebo k zlému podávaniu materiálu. Tieto nárazy sa na grafe prejavujú ako silné rázy (impulzy) v oblasti nulovej polohy t.j. úrovne stehovej dosky. (viz. graf č.:16 v prílohe č.: 2) Pri malom pritlaku, v mojom prípade 13 N, sa tieto rázy prejavujú už i pri 3000 otáčkach /min (viz. graf č.: 18 v prílohe č.:2.) a pri otáčkach 5000/min som nameral najväčší zdvih 1.5625 mm a odskok.

Pri otáčkach 3000/min som nameral u pritlaku hodnoty od 26 N do 53 N, skoro rovnaké hodnoty zdvihu v rozpäti od 1.0537 do 1.0375 mm (viz graf č.:8. .) Pre šijaci stroj MINERVA 72112-101 sa teda hodnoty do 3000 otáčok/min javia ako ideálne pracovné otáčky, pri ktorých sa ešte neprejavuje závislosť zdvihu na veľkosti pritlačnej sily.
Udržuju sa ideálne podmienky ako pri podávaní tak i pri stehotvornom procese.

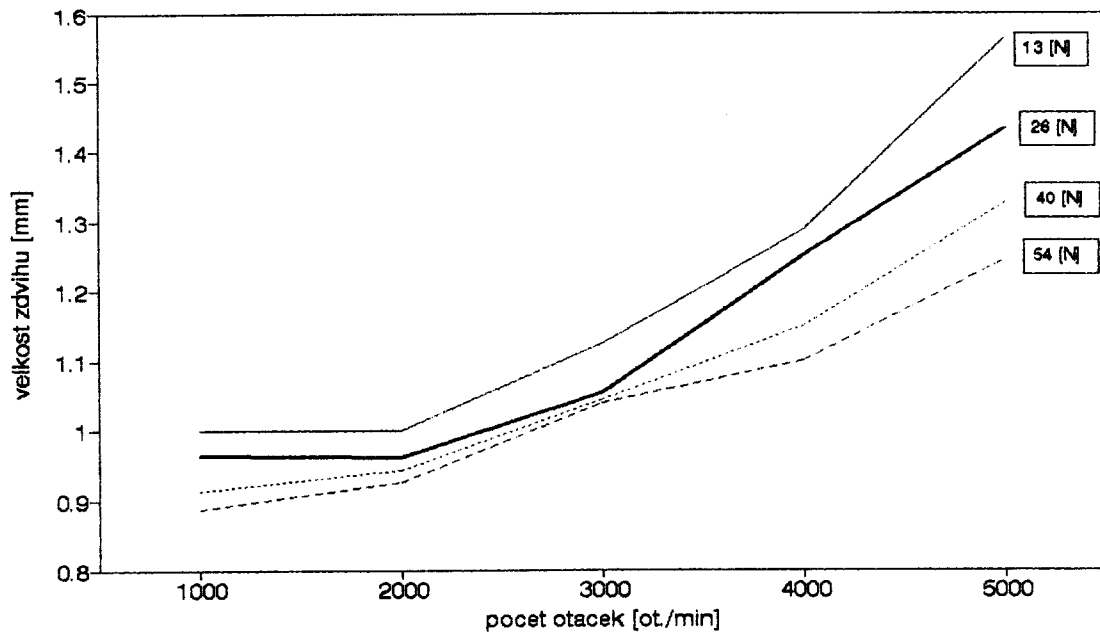
tabuľka č. : 8.2.

Vyhodnotenie priebehu zdvihu patky sijacieho stroja MINERVA 72112-101

poc. otacek [1/min]	1000	2000	3000	4000	5000
pritlak 13.5 [N]	1	1	1.125	1.2875	1.5625
pritlak 26.16 [N]	0.963	0.9625	1.05375	1.25	1.4325
pritlak 39.24 [N]	0.9125	0.9425	1.04375	1.15	1.325
pritlak 53.43 [N]	0.887	0.925	1.0375	1.1	1.244

graf č. : 8.8.

Zavislosť priebehu zdvihu patky
na počtu otáčok



9. Dynamická analýza prítláčného mechanizmu u
šijacieho stroja MINERVA 72112-101

Prítláčny mechanizmus šijacieho stroja nahradíme dynamickým modelom, ktorý je zobrazený na obr. č.: 9.1.

Hmotu m /je to hmotnosť celého prítláčného mechanizmu/ upevnená na pružine, ktorá má dĺžku l_0 a konštantu /tuhosť/ c , je vychýlena v čase $t=0$ z rovnovážnej polohy o výchyliku /amplitudu/ x_0 . Keď uvoľníme hmotu m začne kmitať. Na hmotu pôsobi len direkčná sila pružiny $S = c * x_0$ smerujúca proti smeru x .

$$m * a_y = - S \quad (9.1.)$$

$$m * a_y = - c * x_0$$

$$m * \ddot{x}_y + c * x_0 = 0$$

$$\ddot{x}_y + \frac{c}{m} x_0 = 0 \quad (9.2.)$$

$$\ddot{x}_y + \Omega^2 x_0 = 0 \quad (9.3.)$$

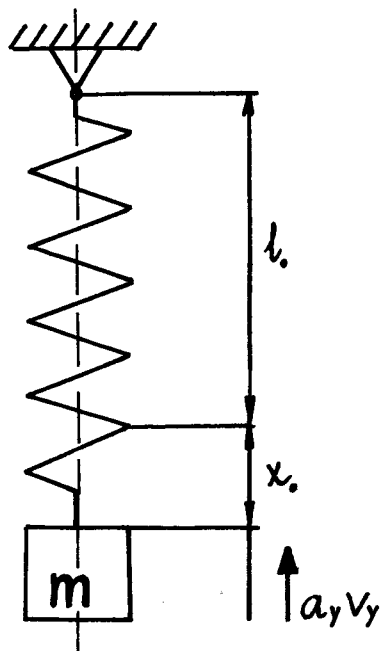
$$\Omega = \sqrt{\frac{c}{m}} \dots\dots\dots \text{je vlastná frekvencia systému}$$

Obecné riešenie rovnice je: $x = x_H + x_P$

$x_H \dots\dots\dots$ je homogénná časť rovnice

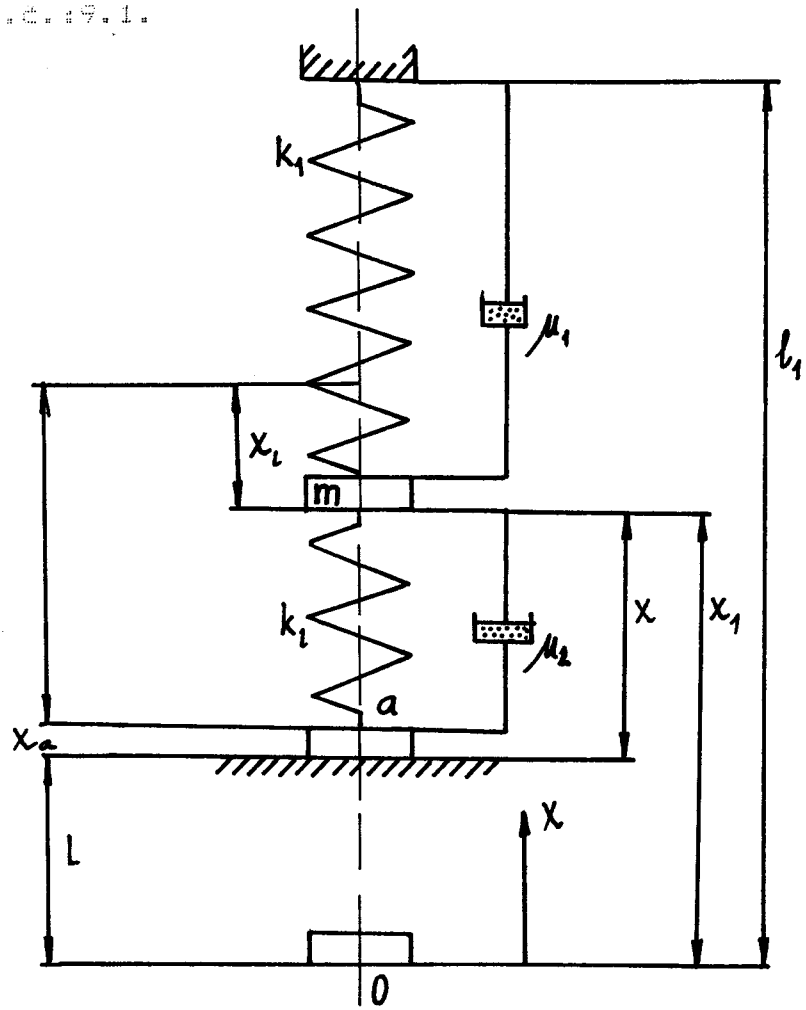
$x_P \dots\dots\dots$ je partikulárna časť rovnice

obr. č. : 9. 1.



obr. č. : 9. 2.

Obr. č. : 9. 1.



$$\lambda^2 + \lambda^0 * \Omega^2 = 0 \quad (9.4.)$$

$$\lambda_{1,2} = \pm i \Omega$$

riešením rovnice je:

$$x_H = C_1 e^{i\Omega t} + C_2 e^{-i\Omega t} \quad (9.5.)$$

$$x_H = A \cos \Omega t + B \sin \Omega t \quad A = C \sin \gamma \\ B = C \cos \gamma$$

$$x_H = C (\sin \gamma \cos \Omega t + \cos \gamma \sin \Omega t)$$

$$x_H = C \sin (\Omega t + \gamma) \quad (9.6.)$$

$$x_P = 0 \quad (9.7.)$$

$$x = x_H + x_P = C \sin (\Omega t + \gamma) \quad (9.8.)$$

$$\dot{x} = \Omega C \cos (\Omega t + \gamma) \quad (9.9.)$$

$$\ddot{x} = -\Omega^2 C \sin (\Omega t + \gamma) \quad (9.10.)$$

Neznáme konstanty C a γ zistíme z počiatočných podmienok:

$$t_{(0)} = 0, \quad x_{(0)} = x_0, \quad v_{(0)} = v_0 \quad (9.11.)$$

$$x_0 = C \sin \gamma \Rightarrow \sin \gamma = \frac{x_0}{C}$$

$$\cos \gamma = 1 - \sin^2 \gamma = 1 - \frac{x_0^2}{C^2}$$

$$0 = \Omega C \cos \gamma$$

$$0 = \Omega C \cdot 1 - \frac{x_0^2}{C^2}$$

$$\Omega^2 C^2 = \Omega^2 x_0^2 \Rightarrow C = x_0 \quad (9.12.)$$

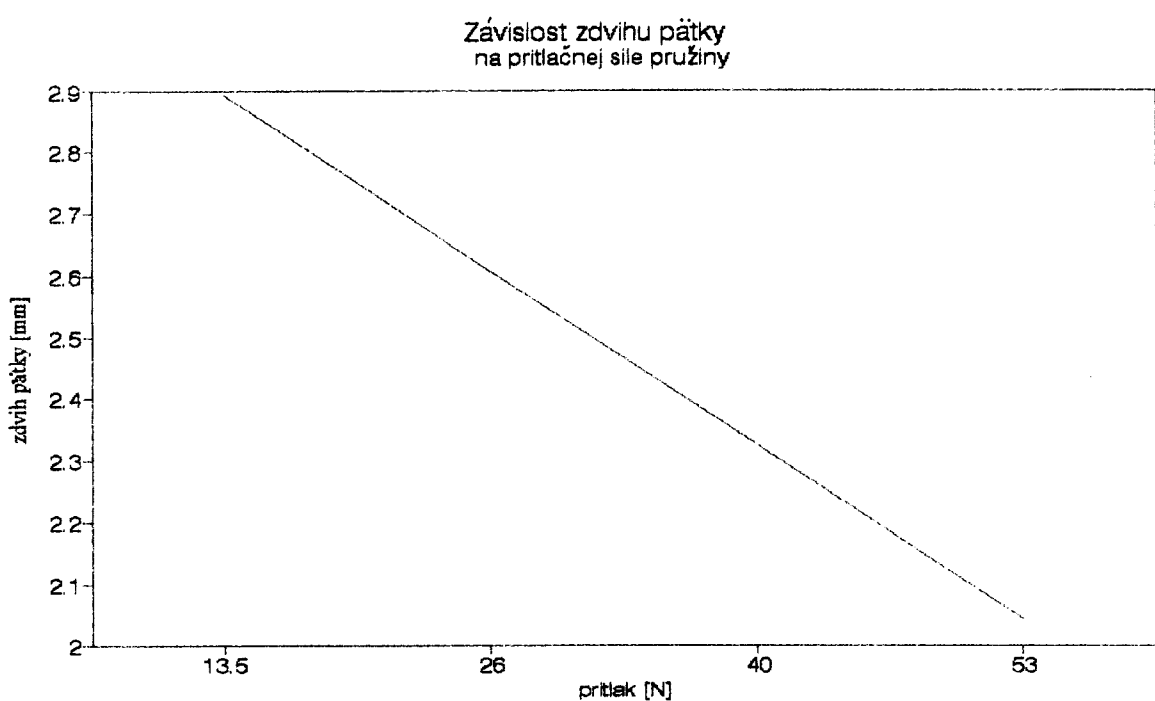
$$\sin \gamma = 1 \Rightarrow \gamma = 1.5707 \text{ rad}$$

x_0 je veľkosť zdvihu systému, ktorý závisí na prítláčnej sile (hodnoty sú znázornené v tab. 9.1.)

Závislosť veľkosti zdvihu pátky od pritlačnej sily

pritlačna sila pruziny [N]	13.5	26	40	53
zdvih pritlačného mechanizmu [mm]	1.5625	1.4325	1.325	1.244
zdvih podav. mech. nad stehovu dosku [mm]	1.33	1.175	1	0.8
celkovy zdvih mechanizmu x_0 [mm]	2.8925	2.6075	2.325	2.044

tab. c.: 9.1.



x_0 = zdvih prítláčného mech. + zdvih podávacieho mech.

$$\Omega = \sqrt{\frac{2616,5}{0,1749}} = 122,3 \text{ Hz} \quad (9.13.)$$

$$\text{Frekvencia kmitania } f = \frac{\Omega}{2\pi} = 19,4646 \text{ /Hz} \quad (9.14.)$$

$$\text{Doba kmitu systému } T = \frac{1}{f} = 0,051375 \text{ /s} \quad (9.15.)$$

Zvolený dynamický model nevyjadruje všetky podmienky pri podávaní šitého diela, ale na predbežné porovnávanie výpočty je vyhovujúci, splňuje svôj účel. Priebeh zdvihu pätky je znázornený v grafe č.: 9.6.

Dokonalejším modelom je model znázornený na obr. č.: 9.2., ktorý uvažuje aj s pružnosťou podávanej textílie i s tlmiacim účinkom systému. Riešenie vyjadruje pohybová rovnica systému :

$$m \ddot{x}_1 + \mu_1 \dot{x}_1 + k_1 x_1 = k_2 x_2 + \mu_2 \dot{x}_2 \quad (9.16.)$$

m je hmotnosť prítláčného mechanizmu

$\mu_1 \mu_2$ súčinitelia tlmenia

$k_1 k_2$ tuhoti pružin

$\dot{x}_1 \dot{x}_2$ rýchlosť prítláčnej tyče a podávacieho mechanizmu v smere osy x

po úprave dostanem pre zdvih prítláčnej tyče :

$$x_1 = e^{-bt} (D_1 \cos k_3 t + D_2 \sin k_3 t) + C \sin (\omega t + \varphi_0 - \beta) + C_0$$

kde konstanty b , D_1 , D_2 , C , β , φ_0 a k_3 znamenajú:

$$b = \frac{\mu_1 + \mu_2}{2m} \quad (9.17.)$$

$$k_3 = k^2 - b^2 \quad k = \frac{k_1 + k_2}{m}$$

$$\varphi_0 = \omega t_0 \quad C_0 = M_0$$

$$C = \frac{h}{m} \frac{\mu_2^2 \omega^2 + k_2}{(k^2 - \omega^2)^2 + 4b^2 \omega^2}$$

$$\operatorname{tg} \beta = \frac{[2bk_2 - (k^2 - \omega^2)\mu^2]}{(k^2 - \omega^2)k_2 + 2b\mu_2 \omega^2}$$

D_1 a D_2 nezávislé konstanty dostaneme z počiatocných podmienok

$$x_1(t=0) = x_{10} \quad \text{a} \quad \dot{x}_1(t=0) = 0 \quad (\text{9. 18.})$$

Po dosadení a úprave dostanem pre zdvih prístlačnej tyče :

$$x_1 = e^{-bt} \left([x_{10} - C \sin(\varphi_0 - \beta) - C_0] \cos k_3 t + \left[\frac{b}{k^2 - b^2} * \right. \right. \\ \left. \left. * [x_{10} - C \sin(\varphi_0 - \beta) - C_0] - \frac{\omega C}{k^2 - b^2} \cos(\varphi_0 - \beta) \right] * \right. \\ \left. * \sin k_3 t \right) + C \sin(\omega t + \varphi_0 - \beta) + C_0 \quad (\text{9. 19.})$$

Tento model zahrňuje v sebe odpruženie prístlačného mechanizmu šitého materiálu i pôsobenie podávacieho mechanizmu na prístlačný mechanizmus.

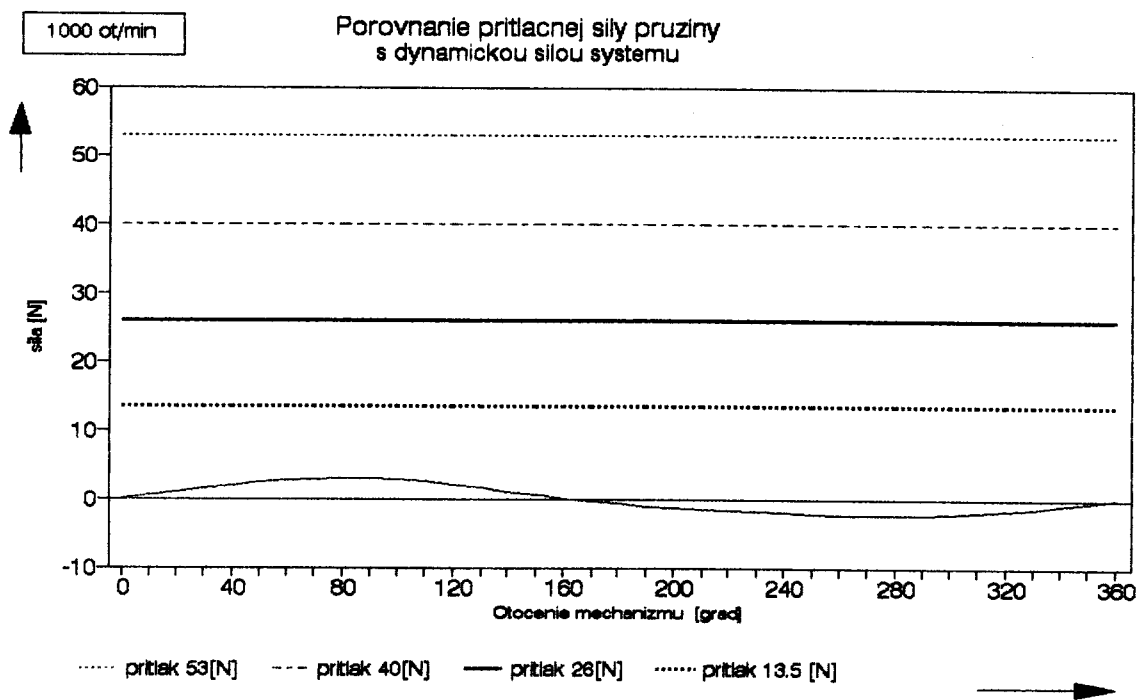
9.1. Porovnanie prítlačnej sily pružiny s dynamickou silou systému

V tejto kapitole porovnávam veľkosť prítlačnej sily pružiny, ktorá je daná $S = c * x_0$. C je tuhost' pružiny a x_0 udáva stlačenie pružiny.

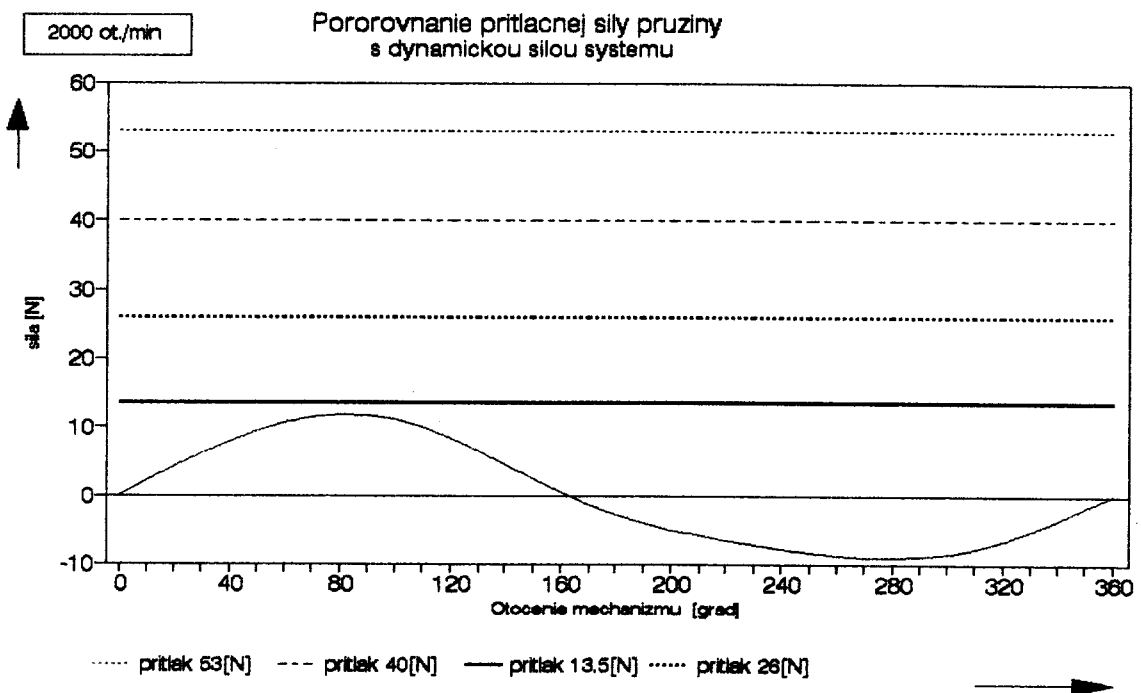
Dynamická sila je daná rovnicou $D = m * a_y$, kde m je hmotnosť prítlačného mechanizmu a a_y je zrýchlenie, ktoré dodáva podávací mechanizmus. Tieto hodnoty zrýchlenia sú znázornené v tabuľkách č. 7.1-7.5. pre rôzne veľkosti otáčok.

Vyhodnenie porovania sú znázornené v grafoch 9.1. až 9.5. Z grafov možno zistiť minimálne potrebné veľkosti sín prítlaču, ktoré sú potrebné pre zaistenie správneho prítlaču pri podávaní. Pri 1000 otáčkach/min stačí i prítlač 13.5 N pri 2000 ot/min prítlač 26 N, pri 3000 ot/min tiež stačí ešte prítlač 26 N, ale to je už medzná hodnota správneho podávania. Pri otáčkach 4000/min musíme nastaviť prítlač 53 N a u najvyšších otáčok 5000/min je vhodné nastaviť prítlač až na maximálnych 80 N. !

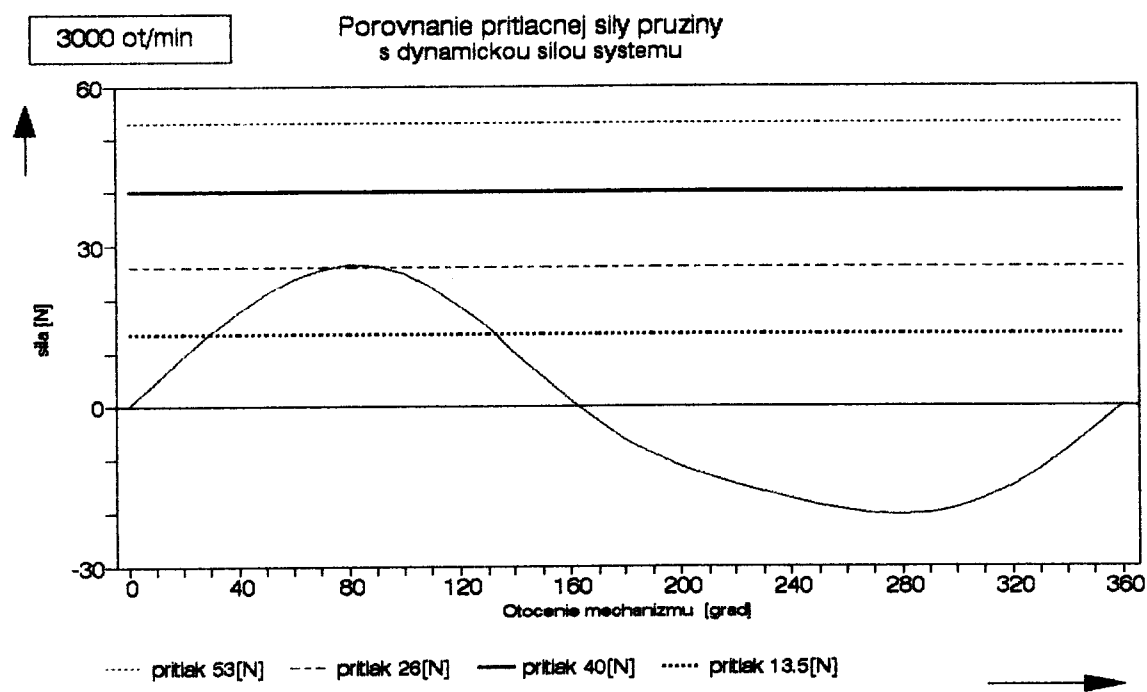
graf č.: 9.1.



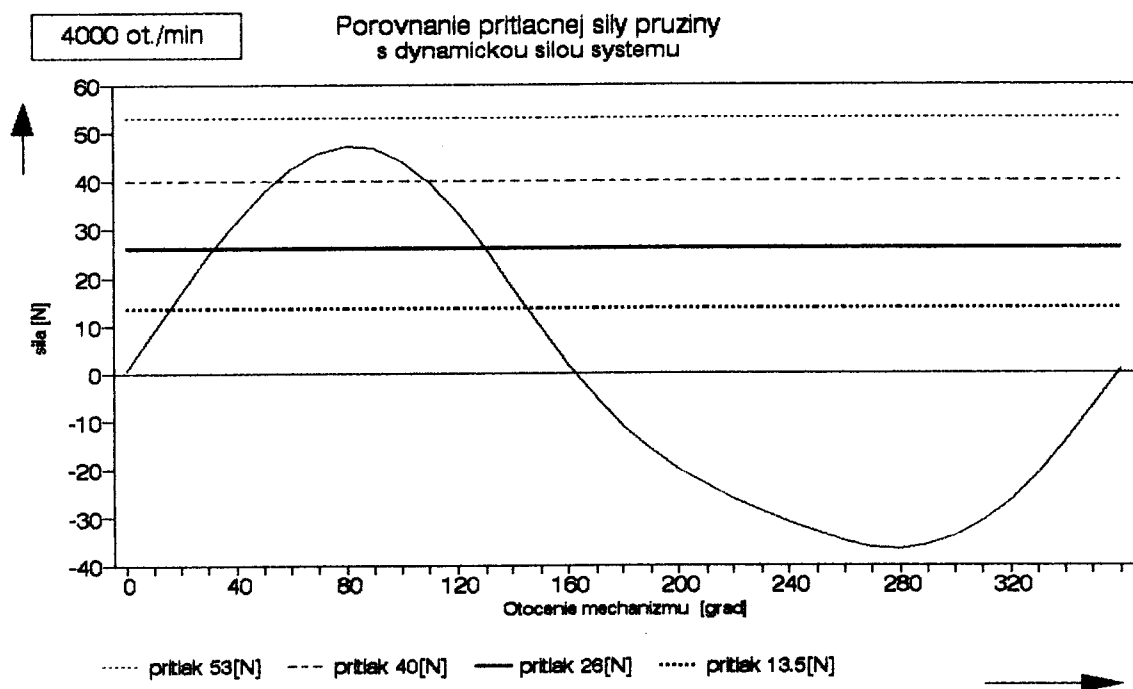
graf č.: 9.2.



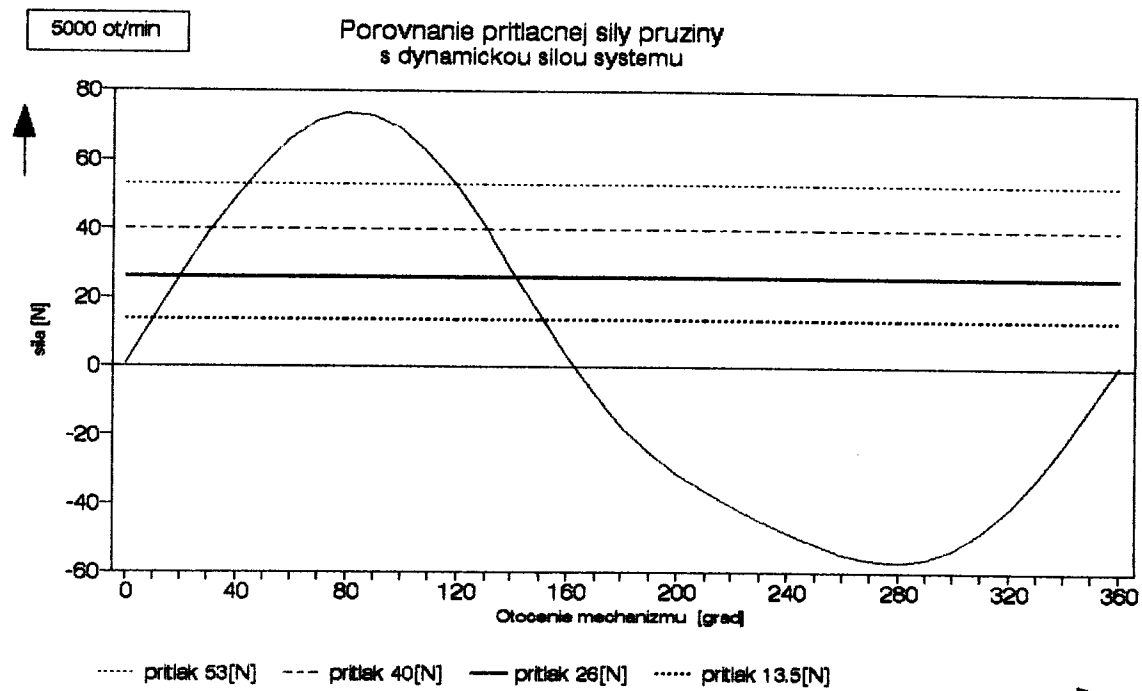
graf č.: 9.3.



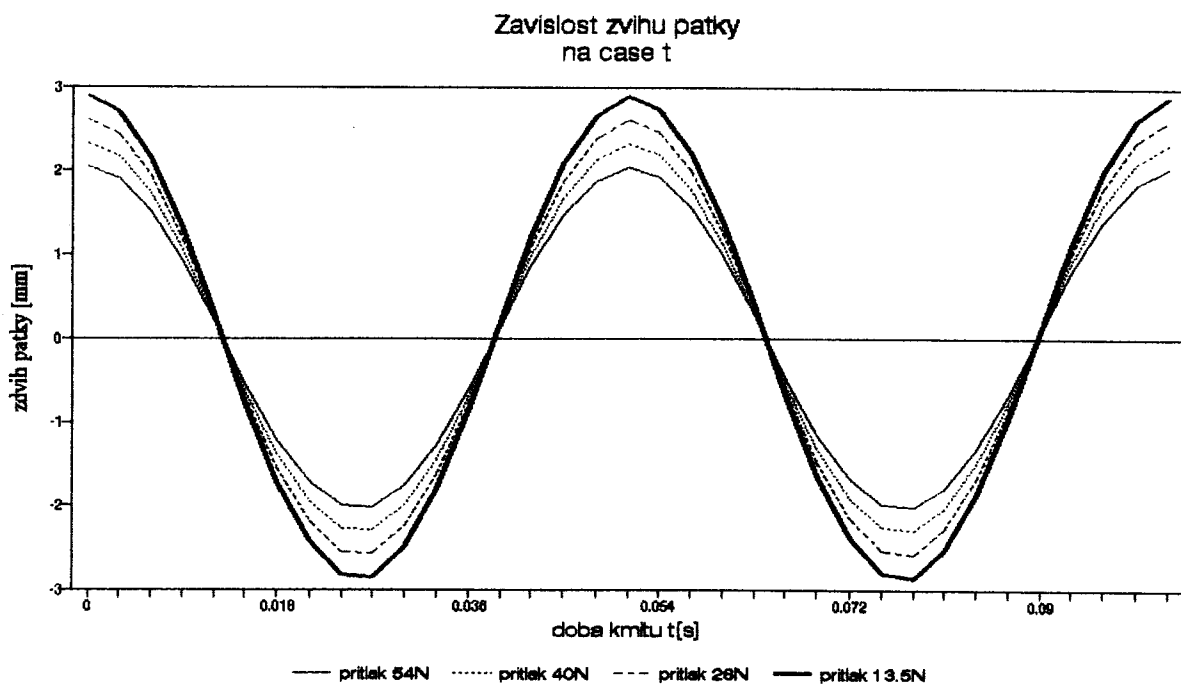
graf č.: 9.4.



graf č.: 9.5.



graf č.: 9.6.



10. Záver

Diplomová práca je rozdelená do deviatich kapitol.

V prvej kapitole sa zamýšľam nad budúcnosťou, potrebou a využitím priemyselných šijacích strojov.

V druhej kapitole rozoberám všeobecné členenie šijacích strojov a model šijacieho stroja.

V tretej a štvrtnej kapitole sú úvahy o členení a o funkcií prítlačných a podávacích mechanizmov.

V piatej kapitole je rozbor vzájomného pôsobenia podávacích a prítlačných mechanizmov.

V šiestej kapitole je všeobecný popis a parametre šijacieho stroja MINERVA 72112-101, ktorý je čerpaný z "Návodu na použitie" čo k stroju dodáva výrobca a.s. MINERVA Boskovice.

V siedmej kapitole je kinematická analýza pohybu podávacieho mechanizmu, popis programu AROM, a sú uvedené výpočty mechanizmu.

V ôsmej kapitole sú uvádzané mérania na šijacom stroji MINERVA 72112-101, ktoré sme namerali na Katedre odevníctva a robotiky na VŠST Liberec.

V deviatej kapitole je rozbor dynamickej analýzy prítlačného mechanizmu.

V mojej diplomovej práci sa nezaberám len s dynamickou analýzou prítlačného mechanizmu, ale zaberám sa i podávacím mechanizmom, ktorý s ním vytvára nerozdeliteľný celok.

Popri teoretických výpočtoch som urobil i dve merania, ktoré názorne charakterizujú kinematické i dynamické veličiny týchto mechanizmov.

Moja diplomová práca sa takto zamerala aj na porovnanie vypočítaných teoretických veličín s nameranými skutočnými prevádzkovými veličinami. Skutočné veličiny namerané priamo na stroji viac charakterizujú skutočné hodnoty ako kinematických tak i dynamických sôl, sú v nich už zahrnuté vôle, nepresnosti montáže i výroby, pôsobenie trenia a opotrebovania materiálu, atď..

Zoznam použitej literatúry

1. MRÁZEK, J.: Dynamika rámů textilních strojů.
IN: Sborník vědeckých prací MTI Moskva. Moskva 1988
2. KAREL, P.: Zoubkový podavač šicího stroje /Diplomová práce/ Liberec 1992
3. Výkresová dokumentácia stroja MINERVA 72112-101
4. Kolektív autorů KTS : Textilní a oděvní stroje II
/skriptum/ Liberec, VŠST 1991
5. BRADSKÝ, Z. - JÁČ, V.: Mechanika II /skriptum/
Liberec, VŠST 1982
6. BRADSKÝ, Z. - VRZALA, R.: Mechanika III /skriptum/
Liberec, VŠST 1986
7. STRYA, J.: Konstrukce a technologie výroby průmyslových
šicích strojů /skriptum/ Boskovice 1970
8. BABICOVÁ, V.- KOŠTIAĽ, J.: Strojníctvo
ALFA, Bratislava 1990
9. HAAS, V.: Oděvní stroje a zařízení
SNTL, Praha 1984

Zoznam príloh

Príloha č.: 1

Grafy merania zrýchlenia podávacieho mechanizmu.

Príloha č.: 2

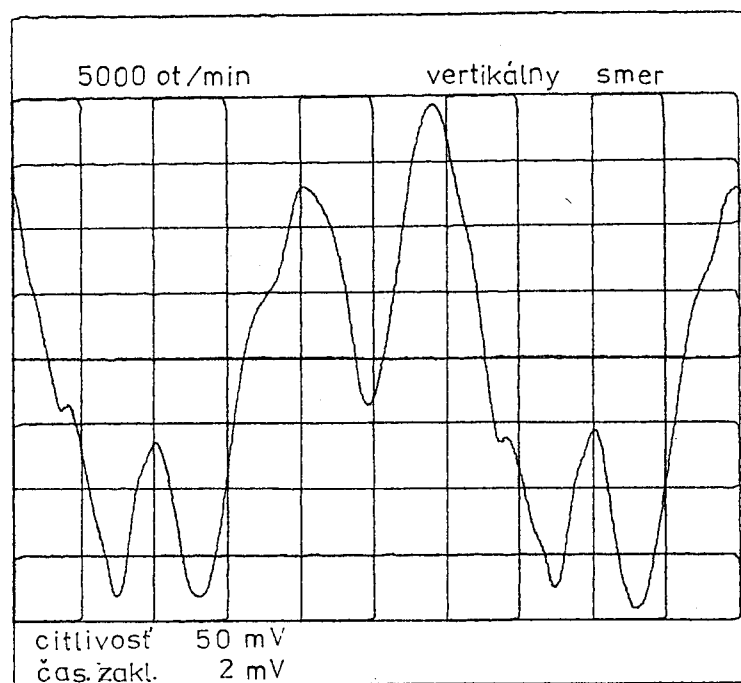
Grafy merania zdvihu pritlačného mechanizmu.

Príloha č.: 3 /

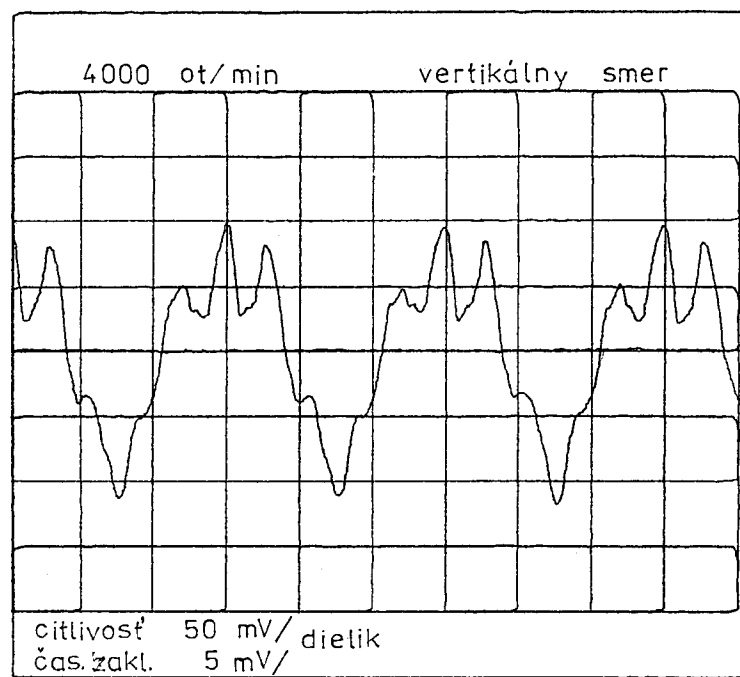
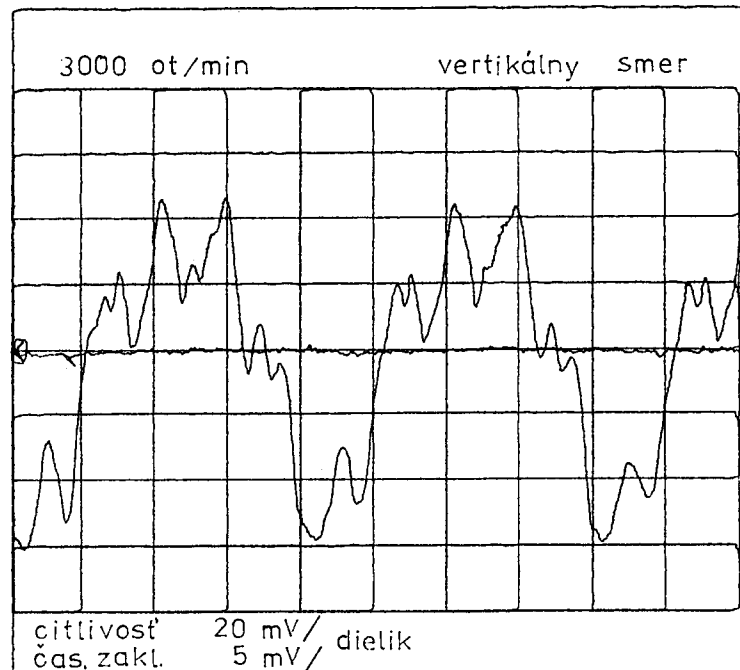
Zostavny výkres podávacieho mechanizmu
MINERVA 72112-101.

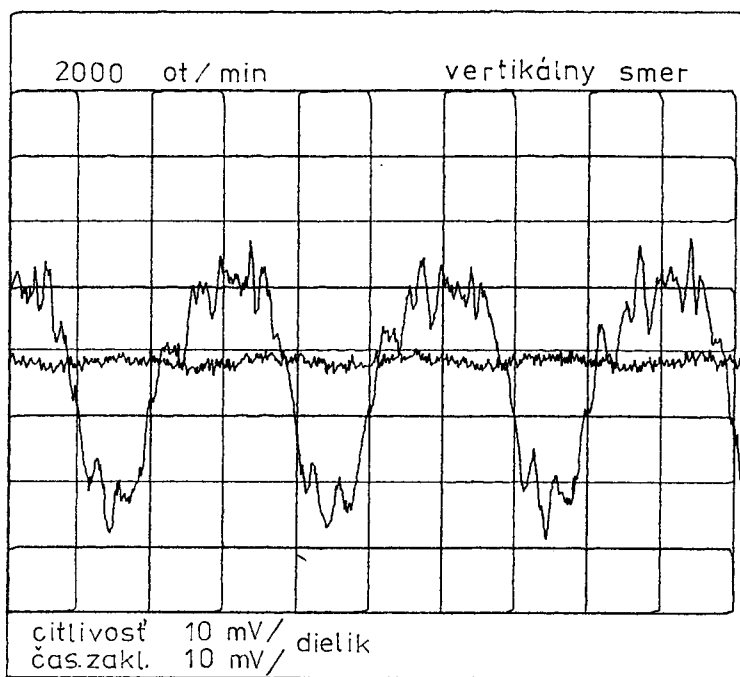
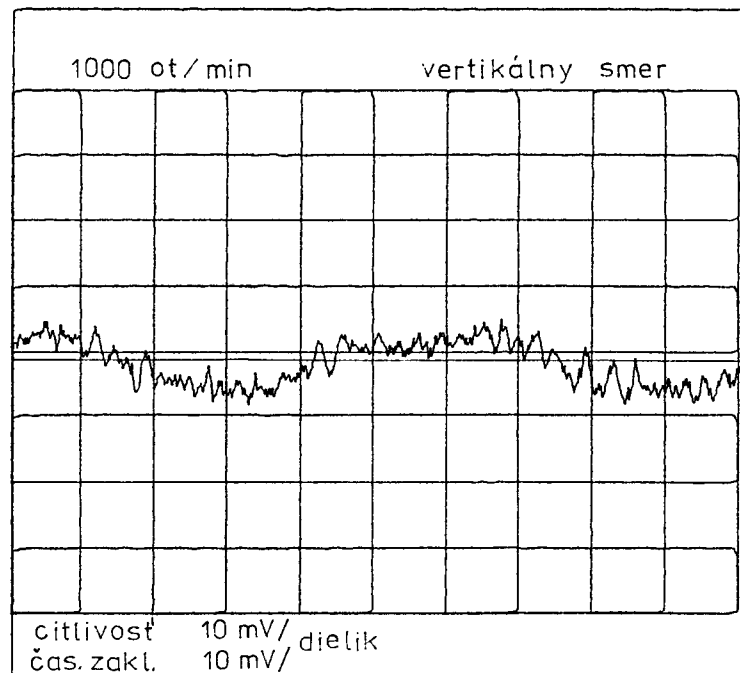
Príloha č.: 4 /

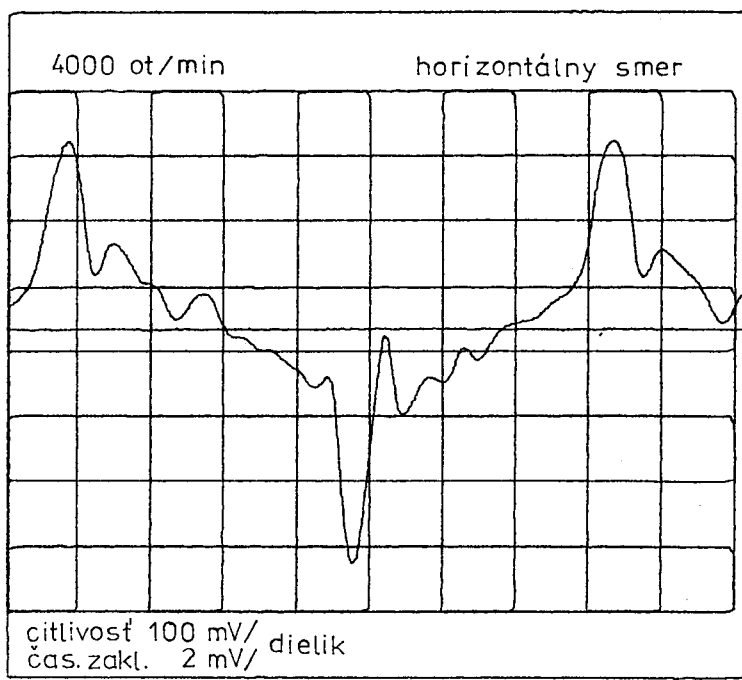
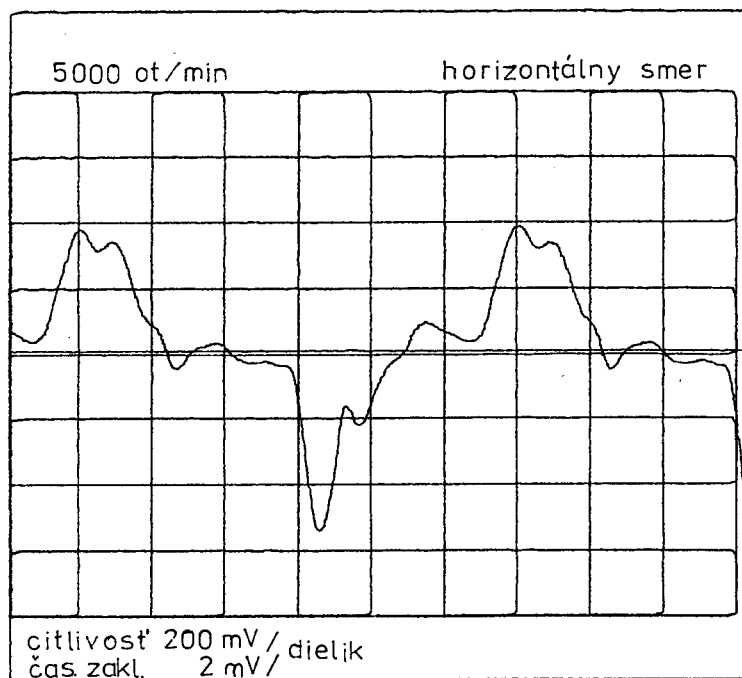
Zostavny výkres pritlačného mechanizmu
MINERVA 72112-101.

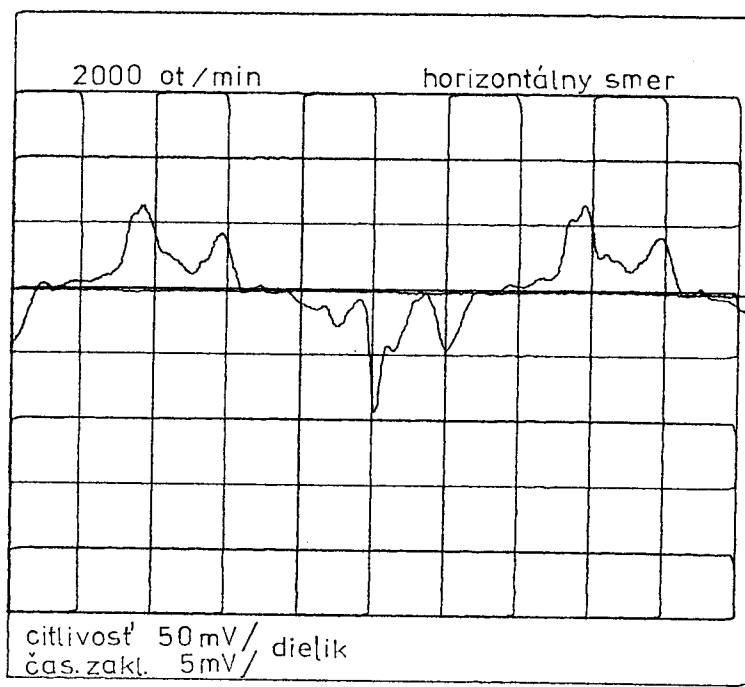
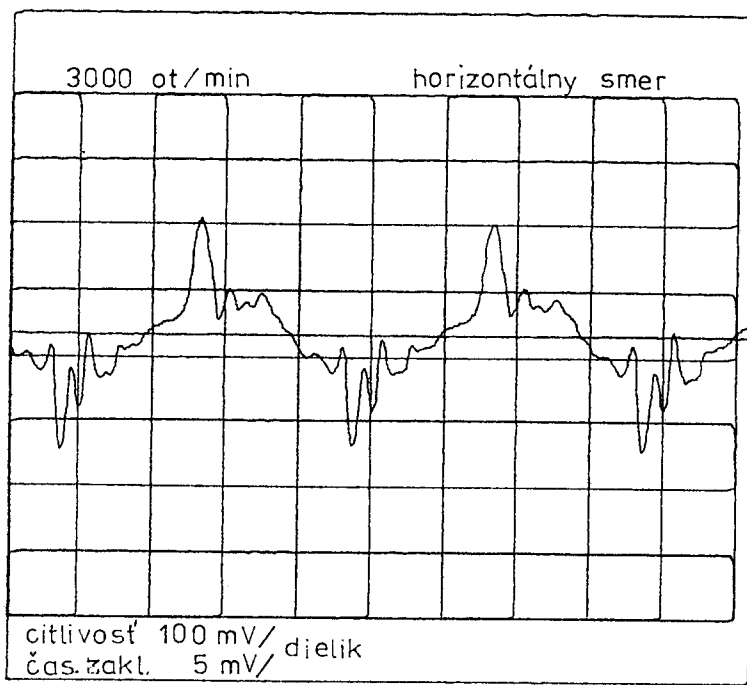


PRÍLOHA č.1 ✓



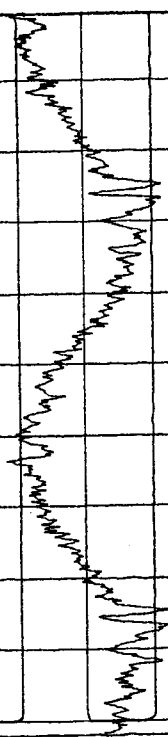






1000 ot/min

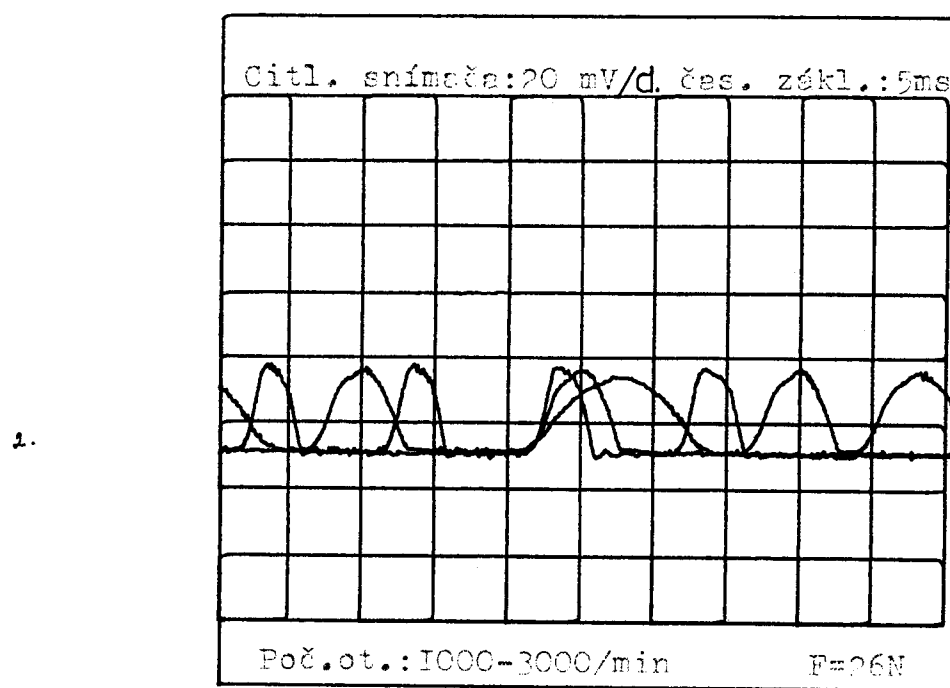
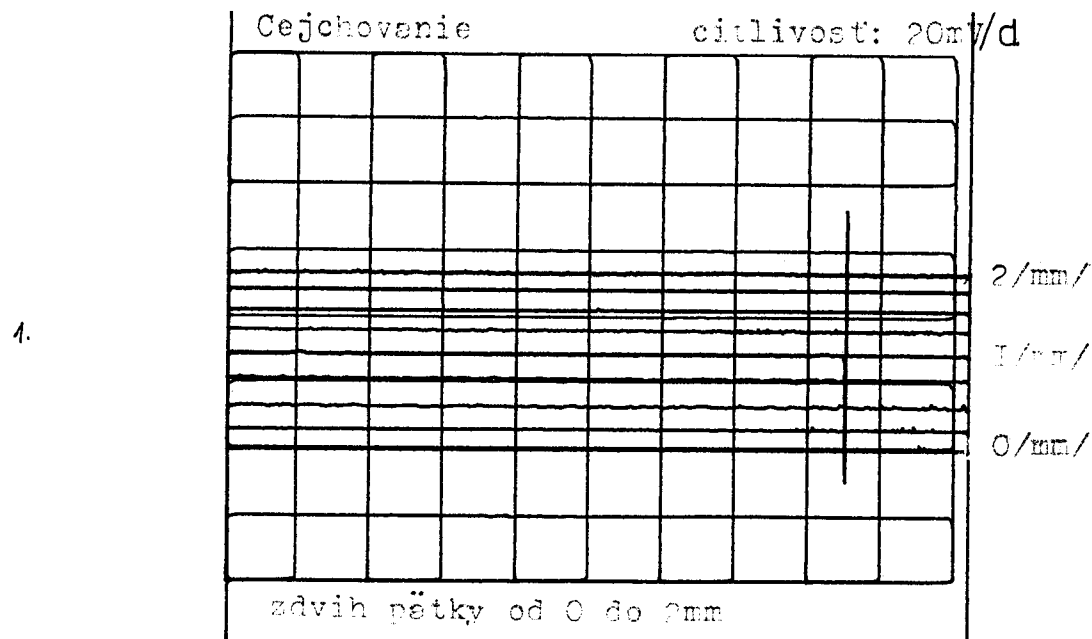
horizontálny smer

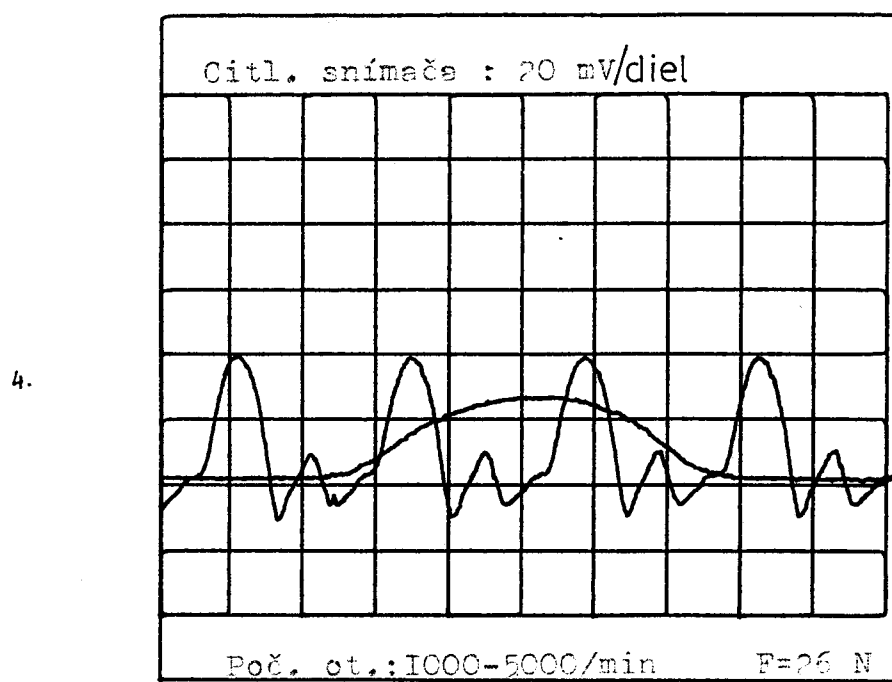
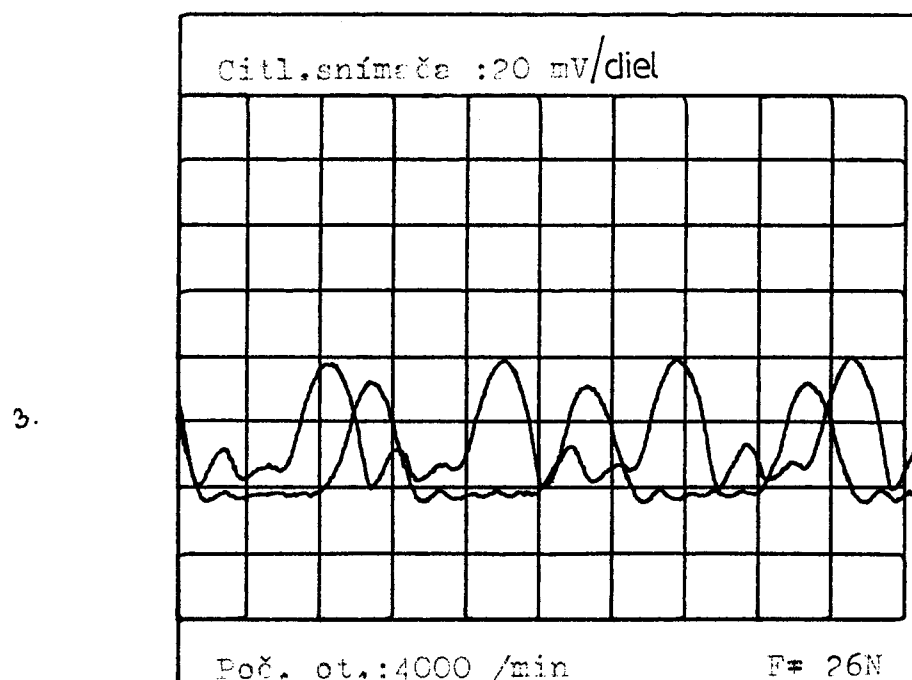


cittivost' 10 mV/dielik

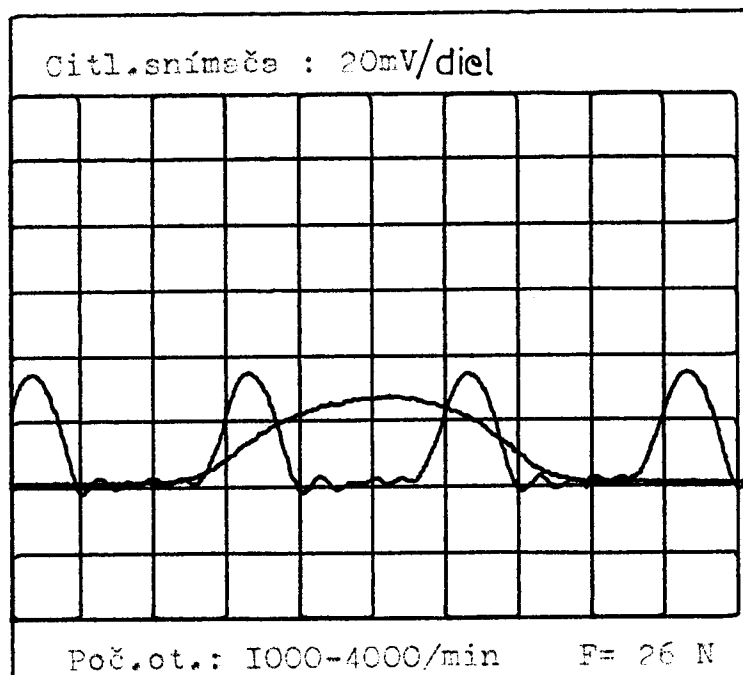
čas.zákl. 10 mV/

PRÍLOHA č. 2

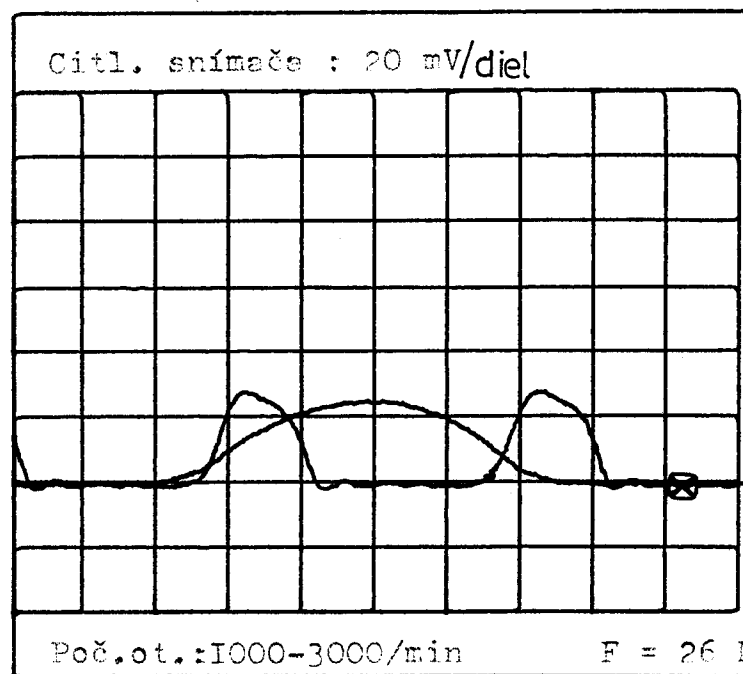


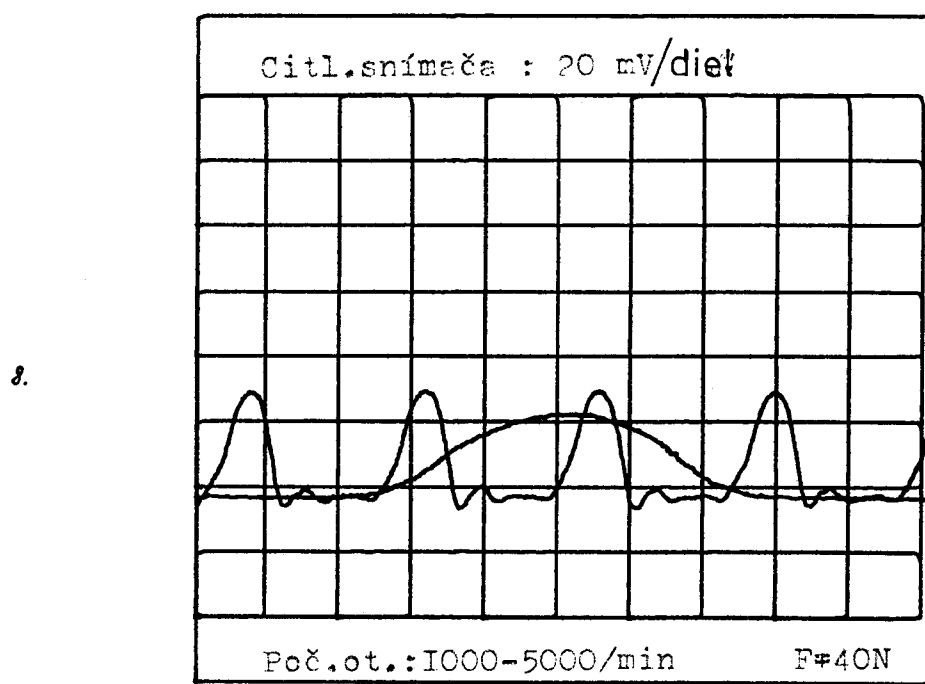
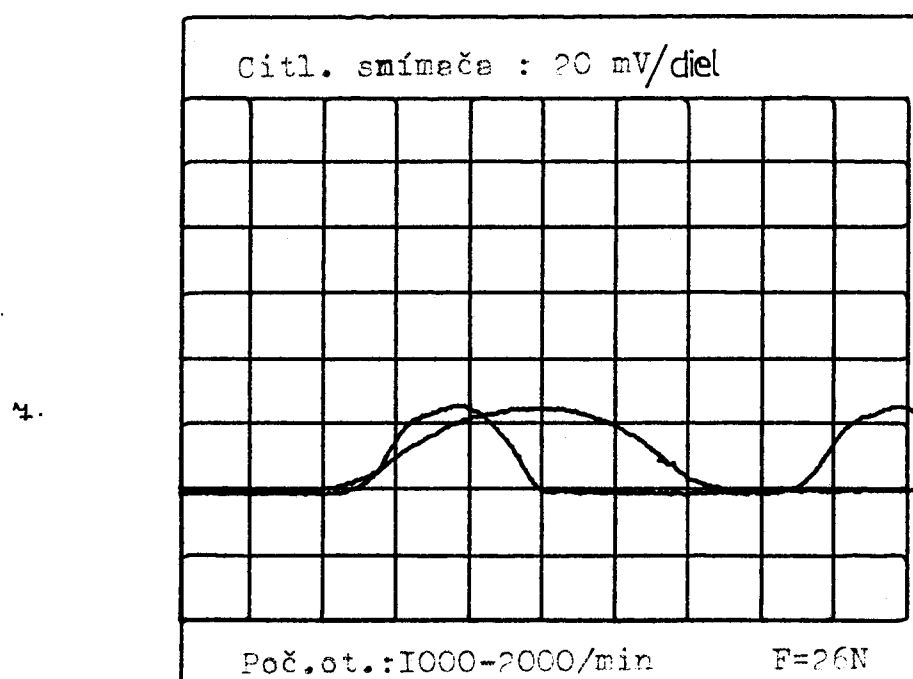


5.

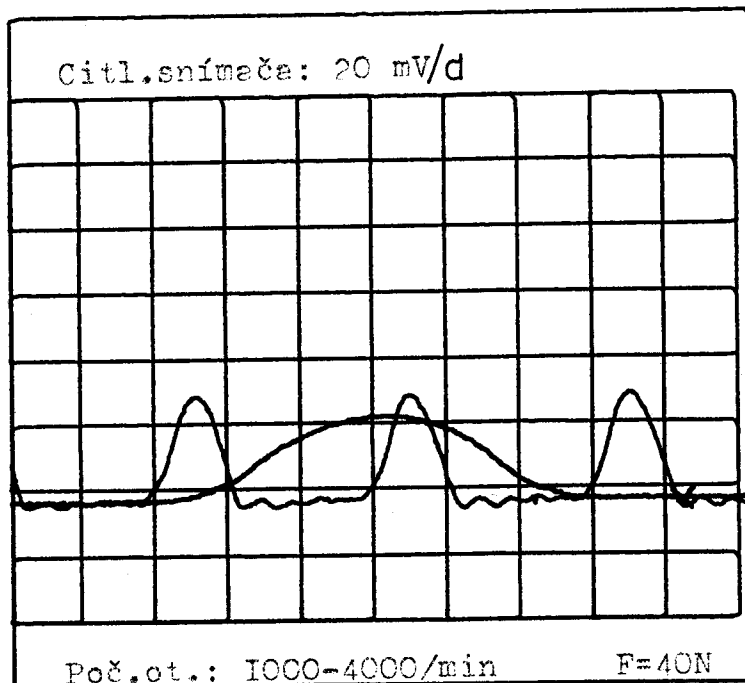


6.

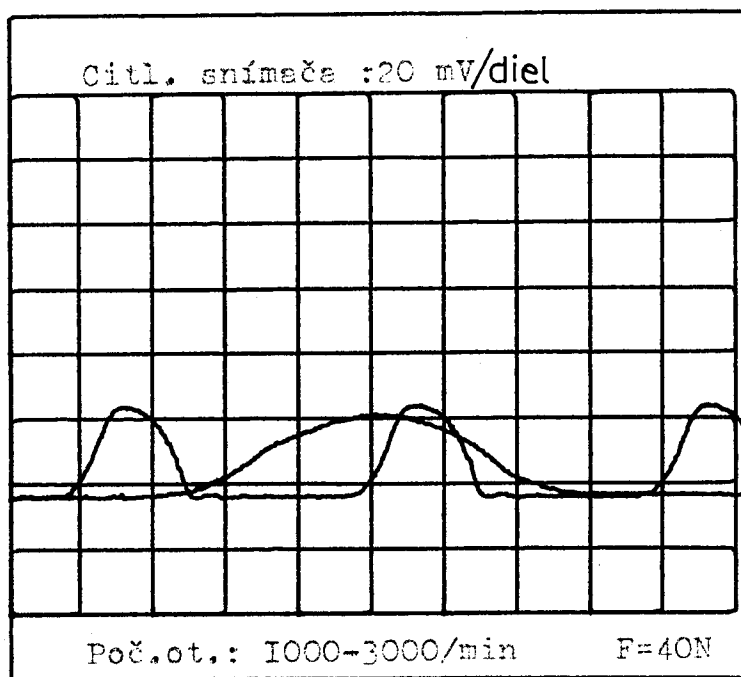




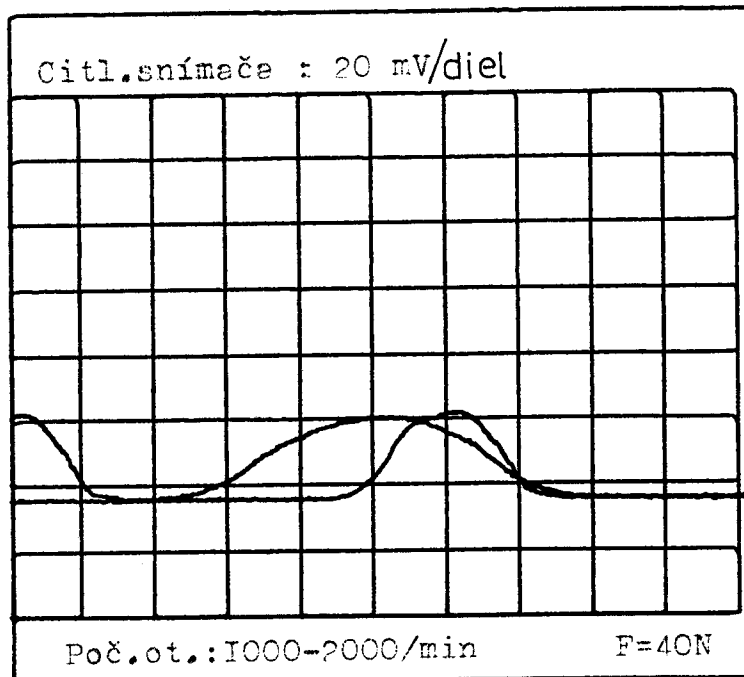
9.



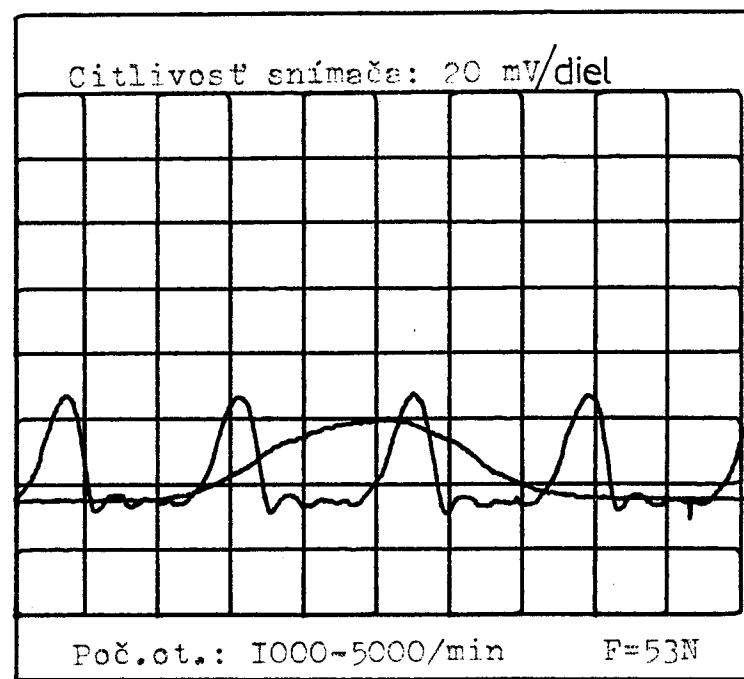
10.



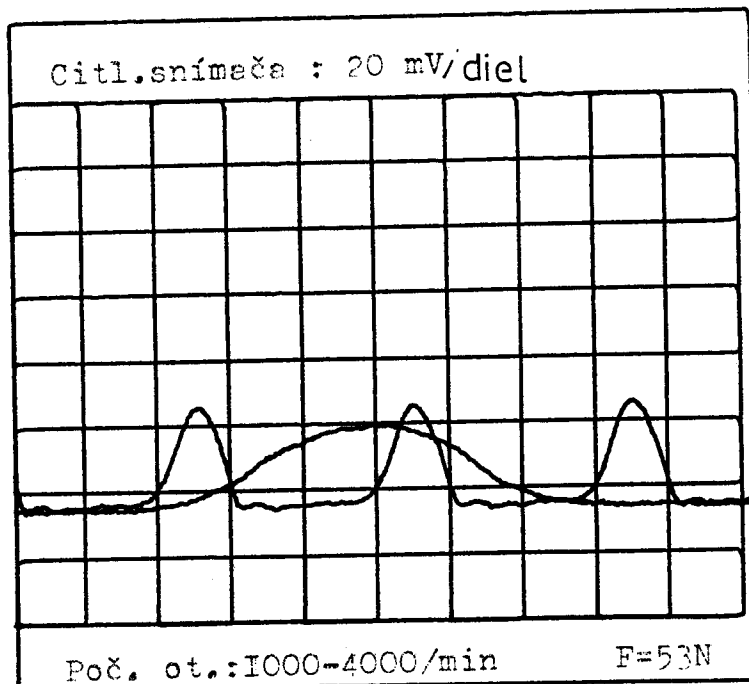
11.



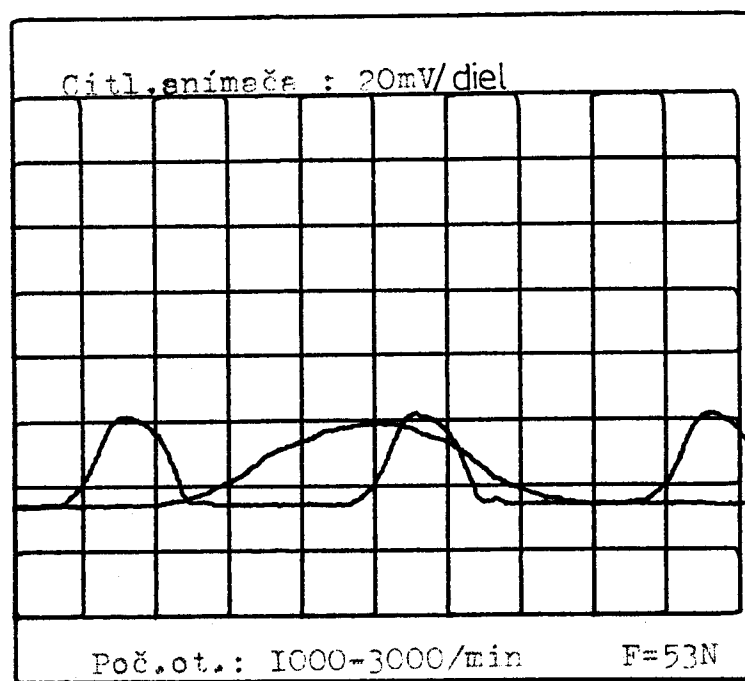
12.



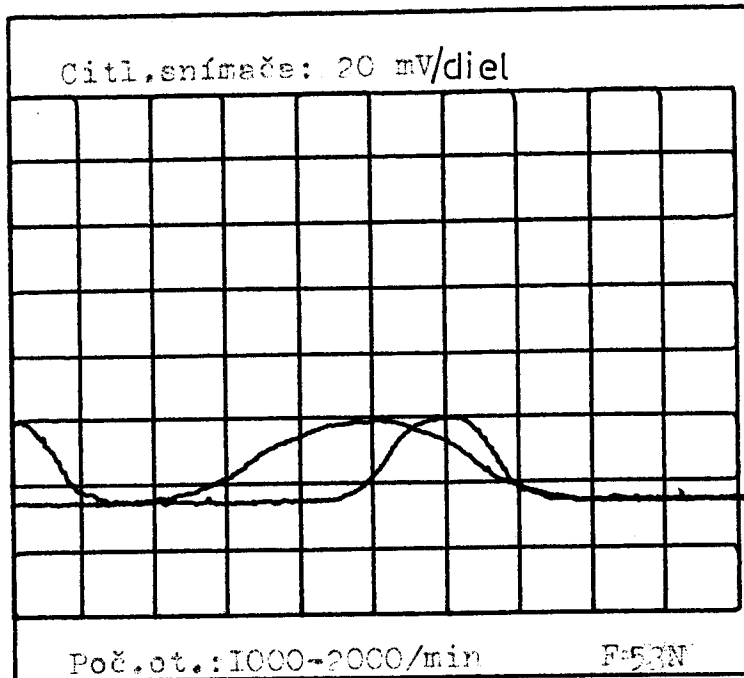
13.



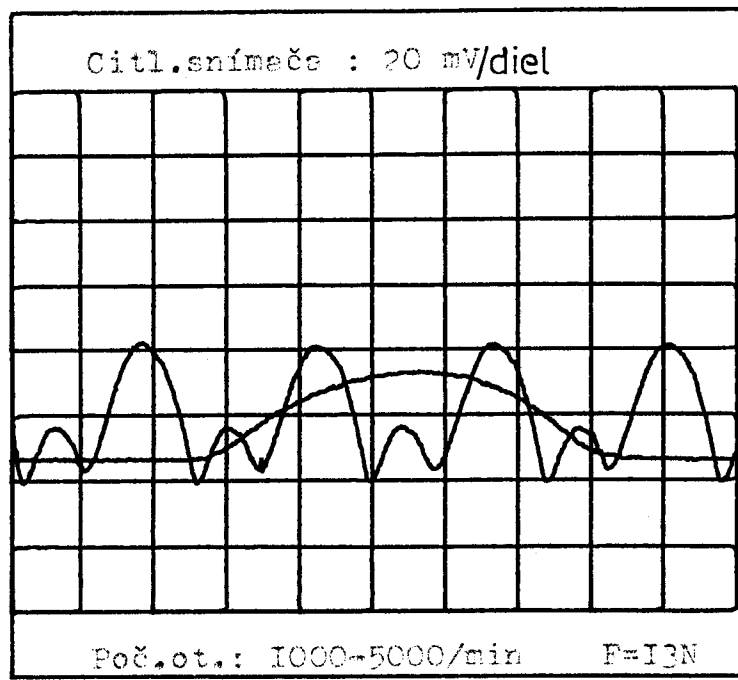
14.



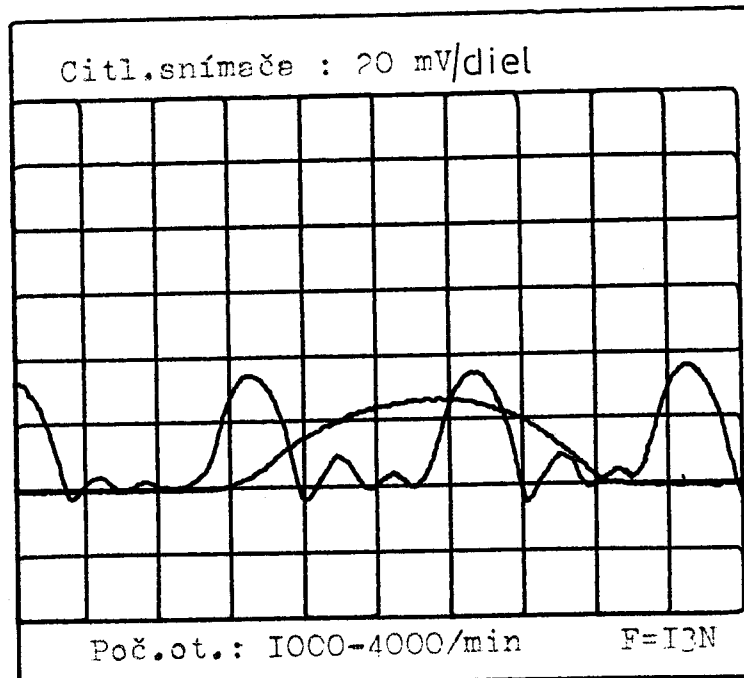
15.



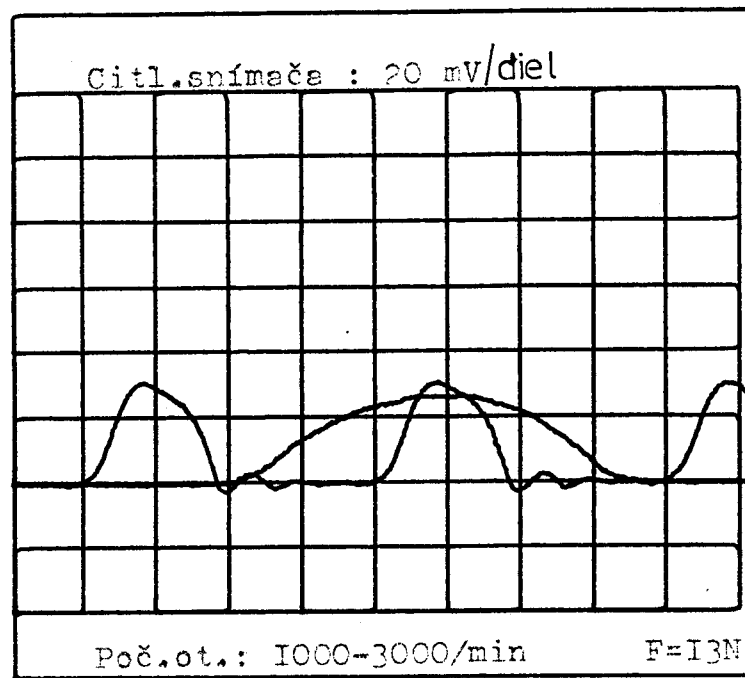
16.



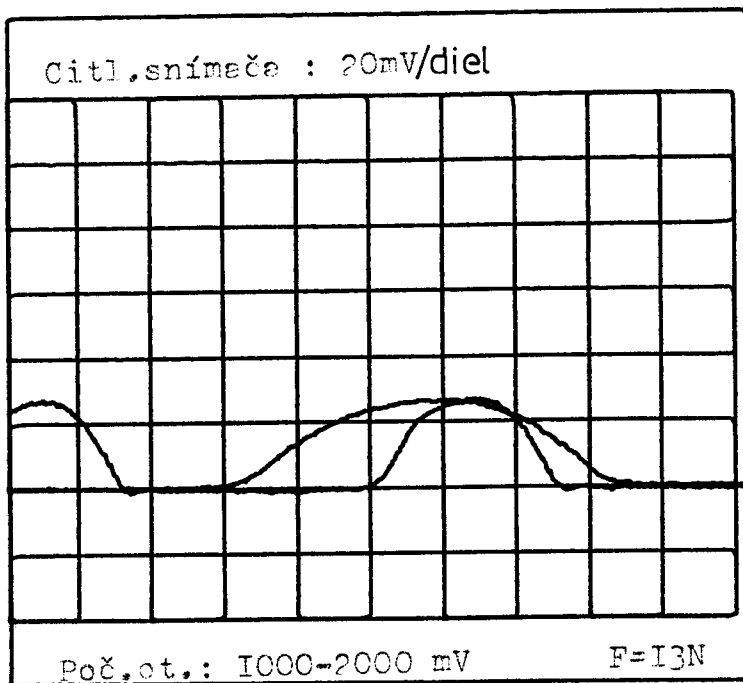
17.

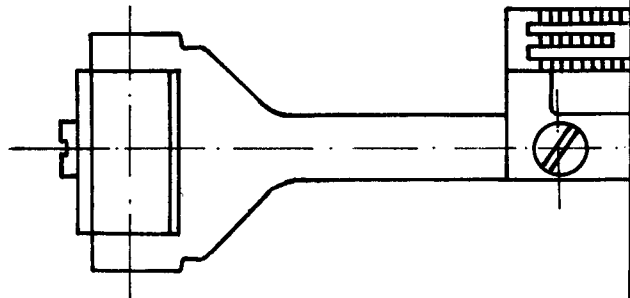
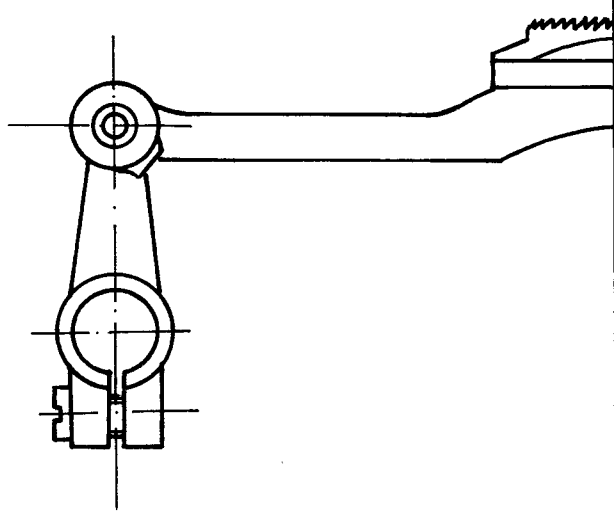


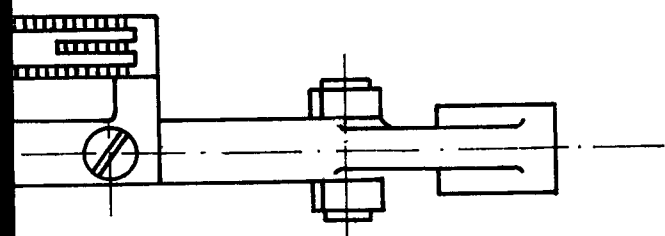
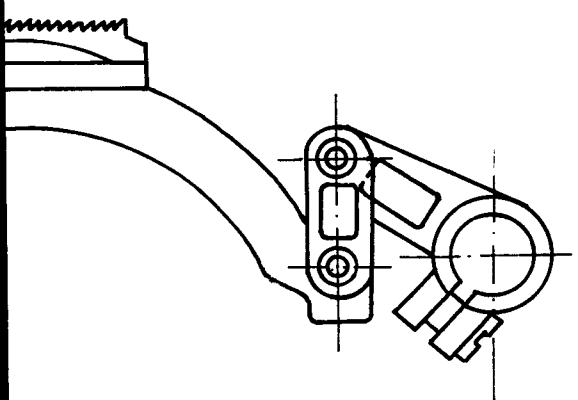
18.



19.

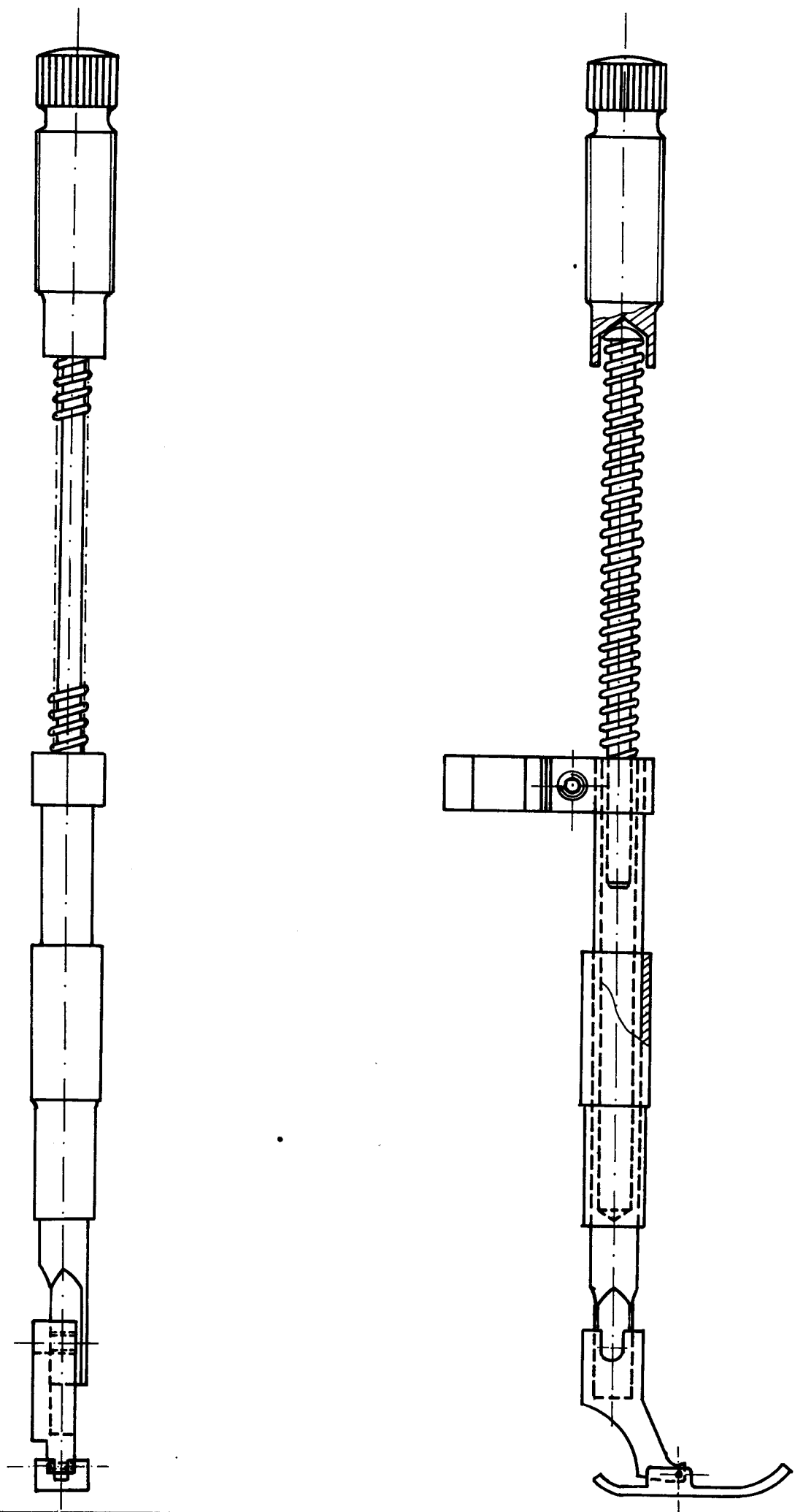






PRÍLOHA č.3

PODÁVACÍ MECHÁNIZMUS
MINERVA 72112-101



PRÍLOHA č. 4

PRÍTLAČNÝ MECHANIZMUS
MINERVA 72112-101